



UNIVERSIDAD DE CHILE
FACULTAD DE CIENCIAS FÍSICAS Y MATEMÁTICAS
DEPARTAMENTO DE INGENIERÍA ELÉCTRICA

ARQUITECTURA DE DOMINIO ESPECIFICO PARA REDES NEURONALES
RECURRENTES UTILIZANDO LA ISA DE RISC-V

MEMORIA PARA OPTAR AL TÍTULO DE INGENIERO CIVIL ELÉCTRICO

TOMÁS ARTURO LETELIER ZAMORA

PROFESOR GUÍA:
FRANCISCO RIVERA SERRANO

MIEMBROS DE LA COMISIÓN:
ANDRÉS CABAL RUTTE
MARCOS DIAZ QUEZADA

SANTIAGO DE CHILE
2022

Resumen

Las redes Neuronales Artificiales son ampliamente utilizadas en la actualidad debido a su capacidad de resolver problemas a partir de los datos disponibles de este. Estas, sin embargo, conllevan una necesidad de una gran capacidad computacional debido al gran número de cálculos matemáticos requeridos para el funcionamiento de estas redes.

A partir de esto, se busca explorar la reciente *ISA open-source: RISC-V*, realizando una aplicación de dominio específico orientado a redes neuronales sobre este tipo de procesador. Para esto, en este trabajo de título se realiza la implementación de una red neuronal utilizando esta *ISA*, específicamente, una red neuronal recurrente *LSTM*. El objetivo consiste, entonces, en realizar mediciones de tiempo, respecto al entrenamiento y ejecución de la implementación de esta red, y comparar estos tiempos a mediciones obtenidas utilizando los procesadores más comunes: *CPU* y *GPU*.

Entre los resultados obtenidos se logra realizar una implementación funcional de una red *LSTM* en *RISC-V*, donde los tiempos obtenidos son comparables a aquellos obtenidos por una *CPU*, sin embargo el procesador *GPU* sigue siendo considerablemente más eficiente, al menos respecto a la implementación realizada, la cual puede ser mejorada aún más utilizando instrucciones atómicas de *RISC-V* o, incluso, a través de la implementación de instrucciones personalizadas.

Tabla de Contenido

1. Introducción	1
1.1. Motivación	1
1.2. Objetivos del trabajo de título	2
1.2.1. Objetivo general	2
1.2.2. Objetivos específicos	2
1.3. Estructura del informe	3
2. Marco teórico	4
2.1. Redes Neuronales	4
2.1.1. Redes Neuronales Artificiales	4
2.1.2. Redes Neuronales Recurrentes	5
2.1.3. Redes <i>Long-Short Term Memory</i>	6
2.2. <i>Assembler</i> y <i>RISC-V</i>	7
2.2.1. <i>Assembler</i>	7
2.2.2. Programación en <i>Assembler</i>	7
2.2.3. ISA	8
2.2.4. RISC-V	9
2.3. Herramientas	9
2.3.1. Google Collaboratory	9
2.3.2. <i>Freedom Studio</i>	10
2.3.3. <i>Gem5</i>	11

3. Estado del arte	12
3.1. Algoritmo de actualización de gradientes: Adam	12
3.2. <i>RISC-V</i> para <i>LSTM</i>	12
3.3. Aproximación de funciones trigonométricas <i>tanh</i> y <i>sigmoide</i>	13
3.4. Predicción de valores de la bolsa	14
4. Metodología y Desarrollo	16
4.1. La red neuronal	17
4.2. Implementación en <i>Python</i>	17
4.3. Herramientas para <i>RISC-V</i>	19
4.3.1. “Hardware” seleccionado	19
4.4. <i>RISC-V</i> : Trabajo realizado	19
4.4.1. Loop Unrolling	19
4.5. Implementación de Funciones trigonométricas en <i>RISC-V</i>	20
4.6. Implementación de la ejecución de la red neuronal en <i>RISC-V</i>	21
4.6.1. Datos	21
4.6.2. LSTM	22
4.6.3. Fully Connected	25
4.6.4. <i>Output</i>	27
4.7. Implementación del entrenamiento de la red neuronal en <i>RISC-V</i>	27
4.7.1. Ecuaciones Diferenciales	28
4.7.2. Modificaciones al código base	31
4.7.3. Cálculo de gradientes: <i>Fully Connected</i>	32
4.7.4. Cálculo de gradientes: <i>LSTM</i>	34
4.7.5. Actualización de parámetros	37
4.7.6. Entrenamiento y obtencion de resultados	39
4.8. Comparaciones de funcionamiento	39
4.9. Mediciones de tiempo	39

4.9.1. <i>Python</i> : Mediciones en <i>CPU</i> y <i>GPU</i>	40
4.9.2. RISC-V	40
5. Resultados y Análisis	42
5.1. Resultados de <i>Python</i>	42
5.1.1. Funcionamiento	42
5.1.2. Tiempos Medidos	43
5.2. Resultados <i>RISC-V</i>	44
5.2.1. Funcionamiento	44
5.2.2. Tiempos Medidos	47
6. Conclusiones	48
6.1. Trabajo Futuro	48
Bibliografía	50
ANEXOS	51

Índice de Ilustraciones

2.1. Ejemplo de la estructura típica de una red neuronal artificial <i>Feed-Forward</i>	5
2.2. Ejemplo de la estructura de una red neuronal recurrente simple.	6
2.3. Representación visual de una capa oculta “tiempo” t de una red <i>LSTM</i> . Obtenida originalmente de [1].	6
2.4. Extensiones estándares de <i>RISC-V</i>	10
3.1. Aproximación de \tanh' a partir de la ecuación del triángulo isósceles.	13
3.2. Aproximación de la función \tanh obtenida.	13
3.3. Aproximación de sigmoide' a partir de la ecuación del triángulo isósceles. . .	14
3.4. Aproximación de la función sigmoide obtenida.	14
3.5. Red <i>Bi-LSTM</i> . Obtenido de [2].	15
4.1. Diagrama de la red diseñada.	17
4.2. Predicciones de la red implementada en <i>Python</i> VS. datos reales.	18
4.3. Diagrama de flujo simplificado del funcionamiento de la implementación de la red <i>LSTM</i> en <i>RISC-V</i>	24
5.1. Predicciones de la red implementada en <i>Python</i> vs. datos reales.	42
5.2. Predicciones de la red implementada en <i>Python</i> vs. datos reales, para los datos del conjunto validación.	43
5.3. Predicciones de la red implementada en <i>RISC-V</i> con pesos pre-entrenados, en comparación con los datos reales y la implementación en <i>Python</i>	45
5.4. Predicciones de la red implementada en <i>RISC-V</i> con pesos pre-entrenados, en comparación con los datos reales y la implementación en <i>Python</i> , para los datos del conjunto de validación.	45

5.5. Predicciones de la red implementada en <i>RISC-V</i> con pesos pre-entrenados, en comparación con los datos reales y la implementación en <i>Python</i>	46
5.6. Predicciones de la red implementada en <i>RISC-V</i> con pesos pre-entrenados, en comparación con los datos reales y la implementación en <i>Python</i> , para los datos del conjunto de validación.	46

Capítulo 1

Introducción

1.1. Motivación

Actualmente, nos encontramos en una era donde la informática y la automatización están cada vez más presentes en nuestro alrededor y en nuestra vida, desde el actual desarrollo de automóviles con piloto automático hasta la gran automatización de procesos en distintas empresas, incluso, empezando a llegar a los hogares de las personas con el creciente interés por los *smart home* [3]. Muchas de estas nuevas tecnologías utilizan, usualmente, alguna forma de inteligencia computacional, ya sea desde programas relativamente simples hasta las más recientemente usadas redes neuronales.

Las Redes Neuronales Artificiales son ampliamente utilizadas en la actualidad, debido a su capacidad de resolver problemas no lineales, así como encontrar soluciones a través de entrenamiento, en donde estas redes son capaces de ser moldeadas para obtener el funcionamiento deseado. Sin embargo, para lograr un entrenamiento efectivo, se requiere no solo una gran cantidad de datos, sino que también una enorme capacidad computacional, debido al gran número de operaciones matemáticas que se realizan para ajustarse apropiadamente al caso a entrenar. Esto se vuelve aún más crítico al trabajar con redes neuronales de alta complejidad o “profundidad”, las cuales son capaces de resolver problemas de mayor dificultad pero toman tiempos exponencialmente mayores de entrenamiento. Es por eso que, en el área de redes neuronales artificiales, encontrar las formas más eficientes de trabajar con estas es una problemática recurrente.

Existen variados tipos y arquitecturas de redes neuronales, sin embargo, para esta memoria se trabaja, específicamente, sobre Redes Neuronales Recurrentes (*RNN*). Este tipo de red es particularmente útil debido a su capacidad de memoria de corto plazo y secuencialidad en el tiempo, siendo así ampliamente utilizada para problemas de información secuencial, como, por ejemplo, reconocimiento de lenguaje natural [4][5][6]. Particularmente, el trabajo estará orientado a redes *Long-Short Term Memory* (*LSTM*) [1], las cuales son una versión mejorada de *RNN* capaz de mantener memoria a largo plazo de mejor manera, siendo estas las más comúnmente usadas en la actualidad.

Una de las soluciones más comunes para optimizar las velocidades de entrenamiento y

ejecución de redes neuronales es el uso de *GPU* como procesador principal [7] debido a su capacidad de paralelismo, siendo capaz de realizar un gran número de cálculos matemáticos de forma simultánea. Sin embargo, estos procesadores están diseñados con el objetivo de ser utilizados, principalmente, para el cálculo de gráficos computacionales por lo que, aunque generan una notable disminución de tiempos, quedan ciertas necesidades de las redes neuronales que no son optimizadas por estos procesadores.

Por esto surgen las Arquitecturas de Dominio Específico (*DSA*), las cuales consisten en arquitecturas de hardware o software diseñadas para un dominio o una tarea en específico, con lo que son capaces de realizar aquella tarea para la cual están diseñados a mayor eficiencia en comparación a hardware más general, a cambio de perder la capacidad de poder realizar otras tareas.

En esto aparece *RISC-V*. Este es un tipo de procesador relativamente reciente con una *ISA open-source*, la cual posee herramientas que permiten tanto aprovechar de manera más completa el procesador mismo, como crear extensiones personalizadas para optimizar aún más el funcionamiento de alguna aplicación.

1.2. Objetivos del trabajo de título

1.2.1. Objetivo general

El tema de esta memoria consiste en utilizar un procesador *RISC-V* para realizar una aplicación de dominio específico, en donde se implementará directamente el funcionamiento de entrenamiento y ejecución de una red *LSTM* sobre un procesador. El objetivo de esto es explorar este tipo de procesadores y la *ISA* respectiva para aplicaciones de inteligencia artificial, y comparar su funcionamiento respecto a una *CPU* y una *GPU*, siendo estos los tipos de procesador más comúnmente utilizados para este tipo de aplicaciones.

1.2.2. Objetivos específicos

Para lograr lo planteado anteriormente, se buscan realizar los objetivos específicos listados a continuación, los cuales son completados de forma cronológica:

1. Diseñar una red *LSTM* en *Python* para ser utilizada como punto de comparación
2. Implementar el funcionamiento de la ejecución de la red *LSTM* anterior utilizando la *ISA RISC-V*
3. Implementar en *RISC-V*, a partir de lo anterior, el entrenamiento de la red *LSTM*
4. Obtener comparaciones de funcionamiento y tiempos entre la implementación en *Python* sobre una *CPU* y una *GPU* y las implementaciones realizadas en *RISC-V*

1.3. Estructura del informe

Este informe se encuentra dividido en 4 secciones. Primero, se presenta el marco teórico, en donde se entra a hablar sobre los conceptos y conocimientos necesarios como para entender el trabajo realizado, así como de las herramientas utilizadas para este trabajo. Posteriormente, se presenta el Estado del arte, donde brevemente se mencionan *papers* importantes para la realización de este trabajo. Luego, la gran parte del informe es dedicada a la sección de metodología y desarrollo, donde se describe el trabajo realizado, el procedimiento para realizar este y los códigos desarrollados para este trabajo. Posteriormente, se entra en la sección de resultados, donde se realiza un análisis sobre las mediciones tanto de funcionamiento como de tiempos obtenidos para las distintas implementaciones. Finalmente, se pasa a las conclusiones, donde se comenta sobre los resultados obtenidos, así como se mencionan posibles cambios o mejoras para trabajos futuros.

Se presenta, además de todo lo anterior, un Anexo el cual contiene una versión abreviada de los códigos implementados, seguido de un listado con las instrucciones disponibles en la *ISA RISC-V*.

Capítulo 2

Marco teórico

2.1. Redes Neuronales

2.1.1. Redes Neuronales Artificiales

Una red neuronal artificial se compone de unidades simples de procesamiento, o nodos, y las conexiones entre estos. Todas las conexiones entre nodos poseen un “peso”, el cual determina qué tanto afecta un nodo al otro. Además de esto, se define un conjunto de nodos como nodos de entrada (*input*) y otro como de salida (*output*).

Al asignarle un valor, o activación, a cada nodo de entrada, este valor es propagado a través de las conexiones entre los nodos de la red donde se realiza un mapeo funcional del conjunto de valores asignados como entrada, a otro conjunto asignado a los nodos de salida. Este mapeo es guardado tanto en los pesos de las conexiones como en las funciones de activación de cada nodo, los cuales son ajustados mediante algún método de entrenamiento, generalmente, entregando valores de entrada y comparando los valores de salida obtenidos de la red con los valores de salida esperados [8].

Existen variados tipos de redes neuronales, donde distintas arquitecturas definen la forma en que se ordenan los nodos y las conexiones entre estos. El caso más estándar, una red neuronal “*Feed-Forward*” (Figura 2.1), se estructura con una capa con nodos de entrada, un número determinado de capas ocultas intermedias sucesivas y, finalmente, una capa de salida, teniendo los nodos de cada capa “conectados” con los nodos de la capa anterior y la siguiente.

De esta forma, la información entregada a los nodos de entrada es propagada a través de los nodos de cada capa, hasta llegar a los nodos de salida, cuyos valores corresponden al mapeo respectivo.

Para poder entrenar una red neuronal se requiere un gran número de datos correspondientes al funcionamiento esperado de la red: datos correspondientes al tipo de información que recibirá esta red y los resultados esperados que debiese entregar a partir de estos. Estos

datos son entonces separados en un conjunto de entrenamiento, validación y prueba.

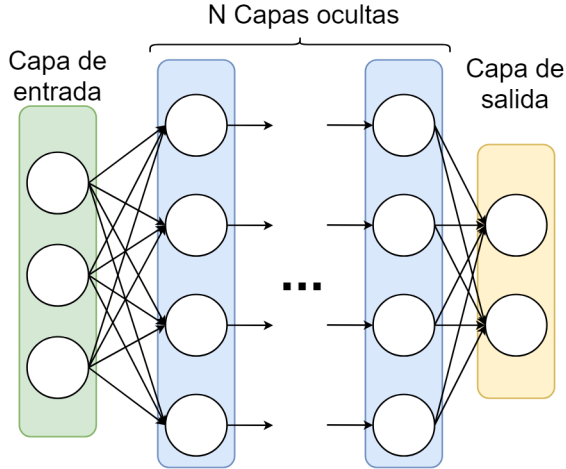


Figura 2.1: Ejemplo de la estructura típica de una red neuronal artificial *Feed-Forward*.

A partir del conjunto de entrenamiento, se alimenta la red con estos, uno por uno, obteniendo resultados de la red, los cuales son comparados con los resultados *esperados* a través de una función de error predefinida, donde a partir de la diferencia de estos dos se calcula, para cada parámetro de la red (pesos y *biases*), qué tanto influyen en el error del resultado, lo cual consiste en el *gradiente*. A partir de estos gradientes se ajustan los valores de los parámetros de la red, utilizando algún algoritmo predefinido. Este proceso es realizado con los datos de entrenamiento múltiples veces hasta que la red se considere suficientemente entrenada. Este punto se define en base al algoritmo de entrenamiento a utilizar, aunque este suele ser aquel donde se empieza a perder precisión de predicción respecto a los datos del conjunto de validación (los cuales al alimentarlos a la red no se modifican los pesos, solo se comparan los resultados entregados y esperados).

2.1.2. Redes Neuronales Recurrentes

Para esta memoria el foco fueron las Redes Neuronales Recurrentes o *RNN* (*Recurrent Neural Network*). La principal particularidad de este tipo de redes es que solo poseen una capa oculta, sin embargo, esta es retroalimentada a sí misma. Además de esto, la información con la que se trabaja en este tipo de redes consiste en agrupaciones de datos secuenciales (o secuencias de datos, cada uno con sus distintas características), a diferencia de conjuntos de datos independientes

De esta forma, las *RNN* poseen memoria respecto a la información que reciben, lo que les permite contextualizar los datos que se les entregan, pues para una secuencia de datos la salida de la red dependerá tanto de la información de cada dato como de los datos anteriores. Una forma de visualizar una *RNN* se muestra en la Figura 2.2, donde a partir de una secuencia de datos se puede imaginar la red como replicándose a sí misma por tantos datos se posean en la secuencia entregada, en donde, para todos los casos, los valores de U, V y W son los mismos.

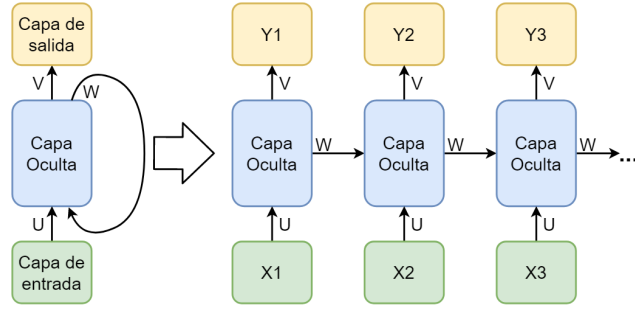


Figura 2.2: Ejemplo de la estructura de una red neuronal recurrente simple.

Como cualquier red neuronal, las *RNN* poseen un significante costo computacional relacionado a la complejidad de la red, debido al gran número de operaciones matemáticas que realiza, en especial, a la hora de entrenarla [6].

2.1.3. Redes *Long-Short Term Memory*

Existen distintas formas de implementar una *RNN*. Actualmente, la más utilizada corresponde a redes *Long-Short Term Memory* (*LSTM*), representada en la Figura 2.3. Estas son una versión mejorada del concepto base de *RNN*, mostrado previamente, las cuales presentan un “canal” de memoria extra denominado C , cuyo propósito es atacar el problema del *desvanecimiento del gradiente*, donde la información pierde importancia o “impacto” a través del tiempo, lo cual ocurre si la secuencia de datos es relativamente larga.

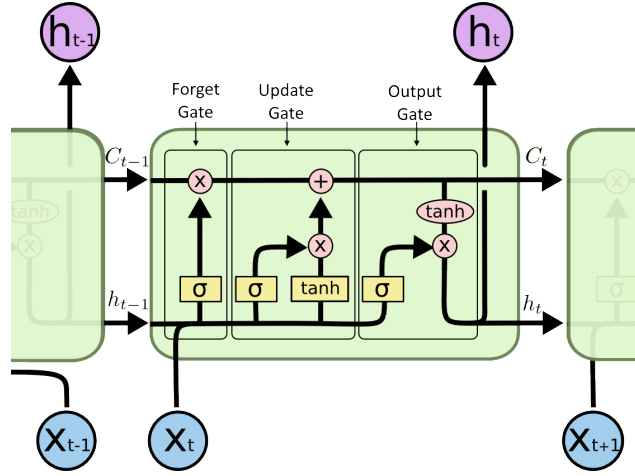


Figura 2.3: Representación visual de una capa oculta “tiempo” t de una red *LSTM*. Obtenida originalmente de [1].

Dada entonces una secuencia de datos, en una *LSTM* se realizan 3 pasos para cada dato de la secuencia, utilizando la información h_{t-1} del dato anterior: primero se decide qué información “olvidar” o “recordar” de la memoria del canal C , luego se *actualiza* la información de la memoria con los datos y , finalmente, se decide qué información se *utiliza en la salida*.

A partir de esto, se suelen nombrar las tres partes fundamentales de esta red como *Forget*

Gate, *Update Gate* y *Output Gate*. Luego, las ecuaciones que describen una *LSTM* son las mostradas a continuación, donde \otimes corresponde a multiplicación punto a punto y las constantes W y b corresponden a los distintos pesos y *bias* de la red:

$$\text{Forget: } f_t = \sigma(W_{xf} \cdot x_t + b_{xf} + W_{hf} \cdot h_{t-1} + b_{hf}) \quad (2.1)$$

$$\text{Update: } i_t = \sigma(W_{xi} \cdot x_t + b_{xi} + W_{hi} \cdot h_{t-1} + b_{hi}) \quad (2.2)$$

$$g_t = \tanh(W_{xc} \cdot x_t + b_{xc} + W_{hc} \cdot h_{t-1} + b_{hc}) \quad (2.3)$$

$$\text{Output: } o_t = \sigma(W_{xo} \cdot x_t + b_{xo} + W_{ho} \cdot h_{t-1} + b_{ho}) \quad (2.4)$$

$$C_t = f_t \otimes C_{t-1} + i_t \otimes g_t \quad (2.5)$$

$$h_t = o_t \otimes \tanh(C_t) \quad (2.6)$$

2.2. *Assembler* y *RISC-V*

2.2.1. *Assembler*

Assembler consiste en un lenguaje de programación de muy bajo nivel, cuyas instrucciones consisten directamente en las acciones que un procesador debiese realizar. Estas instrucciones dependen de la *ISA* del procesador sobre el cual se trabaja. Esto último sera explicado en breve.

Para el caso de programas realizados en lenguajes de mayor nivel, como *Python* o *Java*, estos deben ser traducidos por un intérprete a lenguaje de máquina, en donde el intérprete toma las decisiones de cual resultaría la traducción más óptima a lenguaje de máquina a partir del código presentado. A diferencia de esto, implementaciones realizadas en *Assembler* son traducidas prácticamente 1:1 al lenguaje de máquina correspondiente, lo cual permite tener mucho mayor control sobre el funcionamiento puro de un procesador, a cambio de necesitar explicitar exhaustivamente todas las acciones a realizar por parte del procesador en el código a ejecutar.

2.2.2. Programación en *Assembler*

Para la programación en lenguajes *Assembler* es útil tener en cuenta ciertos conceptos básicos.

Registros y Memoria

Un procesador, además de poseer memoria, posee lo que se llaman “registros”. En *Assembler* uno no puede realizar operaciones entre datos en memoria, uno debe cargar la información necesaria en registros para poder realizar las operaciones/instrucciones deseadas, para luego guardar el resultado nuevamente en memoria.

El acto de cargar y descargar información también requiere de instrucciones a programar, lo cual puede extender el tiempo de ejecución total en caso de realizar un gran número de accesos en memoria. Es por esto que es recomendable realizar la mayor cantidad de operaciones entre cada uno de estos accesos, cargando y guardando información solo cuando esto sea realmente necesario y mantener valores “intermedios” de una operación solo en registros.

Secciones .data y .text

Los lenguajes *Assembler* poseen en general distintas directivas, dependiendo de la *ISA*, sin embargo la gran mayoría tienen en común las directivas `.section`, `.text` y `.data`. La primera, `.section`, indica que lo escrito debajo de esta directiva pertenece a una sección, la cual es definida por las otras dos directivas.

Una sección definida por `.section .text` indica que lo que se encuentre en esta sección será considerado código *Assembler*. En pocas palabras, uno realiza la programación del código bajo esta sección del archivo.

Por el otro lado se encuentra la sección `.section .data`, la cual permite definir *Variables* y *Constantes*. En esta sección es posible definir punteros y el dato o secuencia de datos a la cual apunta, permitiendo así predefinir constantes en memoria, o alojar un espacio de memoria conocido como variables, pues es posible cargar nuevos valores en memoria sin alterar el puntero.

Un ejemplo implementado en *RISC-V* de ambas secciones se presenta en el fragmento de código *Listing 2.1*.

Listing 2.1: Ejemplo de código en RISC-V.

```

1   .section .data
2   //se define primero el nombre de un puntero, y luego a que datos apunta
3   numero:
4       .word 55; //la directiva .word define un valor entero de 32 bits
5
6   listaDeNumeros:
7       .word 111, 222, 333; //se define la secuencia de valores
8
9   .section .text
10  main:
11      la a0, numero // 'numero' nos entrega la dirección del valor 55
12      lw t0, 0(a0) //----- t0 = 55
13
14      la a1, listaDeNumeros // 'listaDeNumeros' nos entrega la dirección del
15          // primer valor de la secuencia
16      lw t1, 0(a1) // t1 = 111
17      lw t2, 4(a1) // agregando un desfase podemos acceder al siguiente número -> t2 =
18          222
19      lw t3, 8(a1) // t3 = 333

```

2.2.3. ISA

Aunque existe una convención, no todos los procesadores funcionan exactamente de la misma forma y, por lo tanto, tienden a tener distintos “lenguajes” que describan su funcionamiento. Dicho lenguaje de un procesador es denominado *ISA*.

Más precisamente, una *ISA* o *Instruction Set Architecture* corresponde al conjunto de instrucciones *Assembler* que posee y utiliza un procesador, el cual es utilizado para “traducir” al momento de compilar un lenguaje de mayor nivel (como *Python* o *Java*) a las acciones equivalentes apropiadas en lenguaje de máquina. Una *ISA* define así las distintas acciones que puede realizar el procesador correspondiente.

2.2.4. RISC-V

RISC-V es un procesador relativamente reciente con una *ISA open-source*, la cual se tiene 3 extensiones básicas: *RV32I*, *RV32E* y *RV64I*. Estas extensiones poseen las instrucciones correspondientes para el manejo de números enteros, donde *RV32I* y *RV32E* utilizan (y por tanto requieren de) respectivamente, 32 y 16 registros de 32 bits, incluyendo el registro de constante cero *x0*, donde *RV32E* es usado particularmente en procesadores más pequeños.

Por el otro lado, la extensión *RV64I* posee las mismas instrucciones de manejo de números enteros, los cuales utilizan en este caso 32 registros de 64 bits, teniendo además la habilidad de trabajar valores como 32 bits. Existe, además, la extensión *RV128I*, la cual fue creada con tal de anticiparse a la futura existencia de procesadores con registros de 128 bits, de tal forma de no perder compatibilidad en el futuro [9].

Como se indicó, *RISC-V* se caracteriza por tener una *ISA* modular, donde esta se divide en distintas extensiones, las cuales pueden ser o no usadas dependiendo de las necesidades o características del procesador a utilizar. Las extensiones que dispone un procesador son definidas por la arquitectura física de este. Las extensiones estándares son las indicadas en la tabla de la Figura 2.4.

La *ISA* a utilizar es nombrada según su base, seguido de las letras correspondientes a las extensiones utilizadas. Por ejemplo, *RV32IMF* se referiría a una *ISA* la cual utiliza la base de 32 registros de 32 bits junto a las instrucciones de multiplicación, división y punto flotante.

Además de las extensiones previas, la *ISA* también permite crear extensiones extra, las cuales posean instrucciones personalizadas. Debido a la estructura modular de *RISC-V*, estas instrucciones personalizadas no arruinan la compatibilidad de software que no esté consciente o no utilice dichas instrucciones, siendo entonces solo consideradas por aquel software que si las utilicen [10].

2.3. Herramientas

2.3.1. Google Collaboratory

Google Colaboratory, o *Google Colab*, es una herramienta gratuita de Google para programación en *Python*. Esta funciona a través de cuadernos de *Jupyter*, con la ventaja de poder

Extensión	Descripción breve
I/E	Es la extensión base de RISC-V. Posee operaciones basicas de numeros enteros y trabaja sobre 32 y 16 registros respectivamente
M	Operaciones de multiplicación y división de enteros
C	Instrucciones "Compactas" utilizadas para operaciones de 16 bits y a menor costo de memoria
F	Instrucciones para el manejo de Punto Flotante de simple precisión
D	Instrucciones para el manejo de Punto Flotante de doble precisión
A	Instrucciones para operaciones en memoria atómica

Figura 2.4: Extensiones estándares de *RISC-V*.

utilizar recursos computacionales (*CPU* y *GPU*) provistos por Google, permitiendo tener un buen ambiente de programación, independiente del equipo utilizado. Además de esto, los cuadernos de *Google Colab* funcionan de forma similar a otros tipos de documentos de Google, como *Google Docs*, donde estos cuadernos pueden ser fácilmente compartidos entre personas y ser guardados en la nube de *Google Drive*. Colab contiene además una gran cantidad de librerías comúnmente usadas ya preinstaladas, como *Numpy*, *Pandas*, *SKLearn*, *matplotlib*, etc, lo cual permite comenzar a programar en cuadernos nuevos de forma más rápida.

Para este trabajo, todos los códigos de *Python* necesarios serán programados utilizando *Google Colab*, en donde se realizarán tanto las implementaciones de la red como la medición de tiempos en *CPU* y *GPU*.

2.3.2. *Freedom Studio*

Freedom Studio [11] es una herramienta de desarrollo basada en la *IDE Eclipse*. Creada por la empresa *Sifive*, *Freedom Studio* fue creada con el propósito de facilitar la programación sobre procesadores *RISC-V*, entregando a priori emuladores de procesadores de la misma empresa.

Esta herramienta incluye un compilador de *RISC-V*, así como un simulador y *debugger* *GNU* de *RISC-V*, donde *Freedom Studio* automatiza el proceso de compilación y *debugging*, facilitando el desarrollo de código. Además de esto, permite fácilmente acceder a los estados de los registros y memoria, lo que permite ver los cambios de estos a medida que se ejecutan las distintas instrucciones una a una, así como exportar los valores de memoria a un archivo de texto, lo cual fue utilizado para comprobar el funcionamiento de las implementaciones.

2.3.3. *Gem5*

Un problema de *Freedom Studio* es que en el simulador *GNU*, su simulador por defecto, los códigos son ejecutados a la mayor velocidad posible por el computador o dispositivo donde se está trabajando, no obteniéndose entonces un rendimiento real (a menos que se posea el procesador correspondiente en forma física). Para remediar este problema es que se utiliza el simulador *Gem5*.

Gem5 es un simulador de plataforma modular orientado al estudio de arquitectura computacional [12]. Este tiene la particularidad de ser un simulador a base de ciclos, capaz de simular de forma más fidedigna un procesador, pues toma en consideración las características y limitaciones físicas de este al momento de realizar simulaciones. Esto nos permite obtener mediciones de tiempo más cercanas a la realidad al ejecutar los distintos códigos desarrollados.

Además de poder especificar los distintos parámetros necesarios para simular, como tamaños de memoria, velocidad de reloj, etc, *Gem5* tiene a disposición distintos tipos de *CPU* a seleccionar [13] [14]. Entre estas, nos interesan los siguientes tres modelos:

- **TimingSimpleCPU**: Un submodelo de SimpleCPU, el cual trabaja sin pipeline y simula tiempos accesos en memoria. Esta *CPU* tiene la particularidad de ser considerablemente más rápida al realizar simulaciones.
- **MinorCPU**: Un tipo de *CPU* más cercano a la realidad. Esta *CPU* trabaja con un pipeline *in-order* (ejecuta instrucciones en el orden especificado en el programa) y posee la capacidad de realizar múltiples instrucciones en un ciclo de reloj.
- **DerivO3CPU**: Un tipo de *CPU* similar al anterior, con la diferencia de trabajar sobre un pipeline *out-of-order* (ejecuta las instrucciones a medida que los recursos necesarios estén disponibles).

Capítulo 3

Estado del arte

3.1. Algoritmo de actualización de gradientes: Adam

Adam [15] (Adaptive moment estimation) es un algoritmo de optimización de parámetros. Este algoritmo combina las ventajas de dos algoritmos anteriores *AdaGrad* y *RMSEProp*, en donde el algoritmo utiliza el promedio de los gradientes y el cuadrado de estos, así como *learning rates* por parámetro, en donde estos últimos son modificados en cada época de entrenamiento de tal forma de ir “desacelerando” la modificación de los parámetros.

Dado un parámetro θ en particular y su gradiente $\frac{dL}{d\theta}$, el algoritmo Adam esta dado por las ecuaciones 3.1 a 3.5, donde lr corresponde al hiperparámetro *learning rate*. β_1 y β_2 son hiperparámetros que valen usualmente 0,9 y 0,999, respectivamente, y t corresponde a la época de entrenamiento.

$$P_\theta = P_\theta \cdot \beta_1 + (1 - \beta_1) \cdot \frac{dL}{d\theta} \quad (3.1)$$

$$S_\theta = S_\theta \cdot \beta_2 + (1 - \beta_2) \cdot \left(\frac{dL}{d\theta} \right)^2 \quad (3.2)$$

$$\hat{P}_\theta = \frac{P_\theta}{1 - \beta_1^t} \quad (3.3)$$

$$\hat{S}_\theta = \frac{S_\theta}{1 - \beta_2^t} \quad (3.4)$$

$$\theta = \theta - lr \cdot \frac{\hat{P}_\theta}{\sqrt{\hat{S}_\theta} + \varepsilon} \quad (3.5)$$

3.2. *RISC-V* para *LSTM*

Existen pocos casos de uso de *RISC-V* orientados específicamente a redes *LSTM*. Sin embargo, en un caso [16] se aprovechan las distintas extensiones de la *ISA*, así como la capacidad

de crear instrucciones personalizadas, para generar una *DSA* optimizada para aplicaciones de *RNN*, utilizando particularmente *LSTM* como arquitectura de *RNN*. Se realizan, además de esto, comparaciones con otros tipos de redes neuronales, como redes convolucionales y redes *fully connected*.

Particularmente, se fijan en las operaciones de tangente hiperbólica y sigmoide, siendo estas las funciones de activación principales en redes neuronales, con lo que implementan instrucciones personalizadas de *RISC-V* capaces de realizar un cálculo de estas de forma más eficiente. Además de esto, desarrollan instrucciones personalizadas enfocadas en “fusionar” aquellas instrucciones más utilizadas, con tal de reducir aún más el número de instrucciones necesarias.

Cabe mencionar que, en este *paper* mencionado, se utiliza la habilidad de crear instrucciones personalizadas en *RISC-V*, lo cual no será realizado en este trabajo de memoria pues se realizará una implementación de *LSTM* utilizando solamente las extensiones ya disponibles de la *ISA* (Figura 2.4). Además de esto, en este *paper* solo se realizan comparaciones de eficiencia sobre un procesador *RISC-V* “limpio” versus un procesador con las instrucciones agregadas. Para este trabajo se busca realizar comparaciones entre *RISC-V* y otros procesadores (*CPU* y *GPU*).

3.3. Aproximación de funciones trigonométricas *tanh* y *sigmoide*

Las funciones trigonométricas de tangente hiperbólica y sigmoide son funciones esenciales para casi cualquier tipo de red neuronal. Aunque el enfoque de este trabajo no abarca la realización de instrucciones personalizadas para estas funciones, como fue realizado en el *paper* mencionado previamente, se fija más en la implementación de buenas aproximaciones de estas funciones las cuales posean un rendimiento relativamente eficiente.

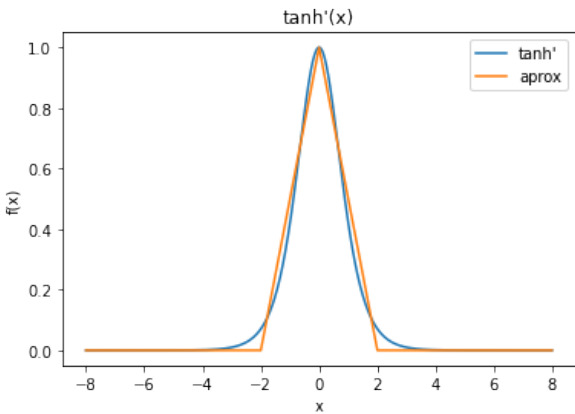


Figura 3.1: Aproximación de \tanh' a partir de la ecuación del triángulo isósceles.

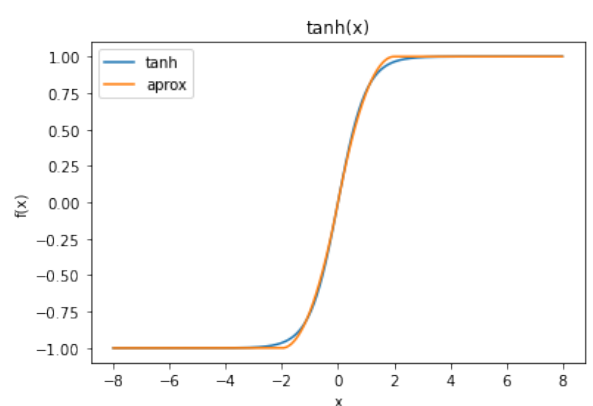


Figura 3.2: Aproximación de la función \tanh obtenida.

Existen varias simplificaciones y aproximaciones de estas funciones, sin embargo, para este trabajo se utiliza el procedimiento descrito en el *paper* [17], el cual propone un método

para obtener una aproximación de segundo orden de la función tangente hiperbólica (*tanh*). Esto lo logra tomando la derivada de *tanh* y ajustando la ecuación del triángulo isósceles sobre esta (Figura 3.1), donde luego la integral resulta en una función de segundo orden la cual se ajusta a la función real con una alta (y un tanto inesperada) precisión (Figura 3.2).

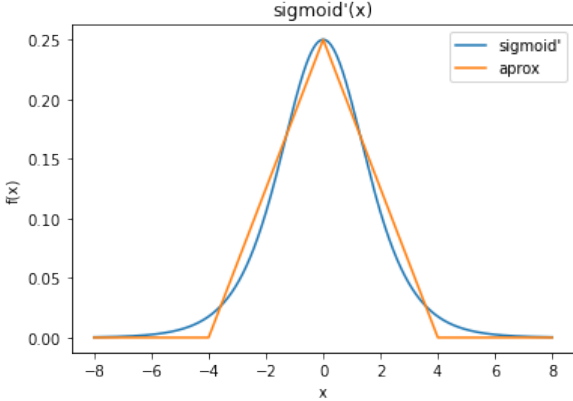


Figura 3.3: Aproximación de sigmoide' a partir de la ecuación del triángulo isósceles.

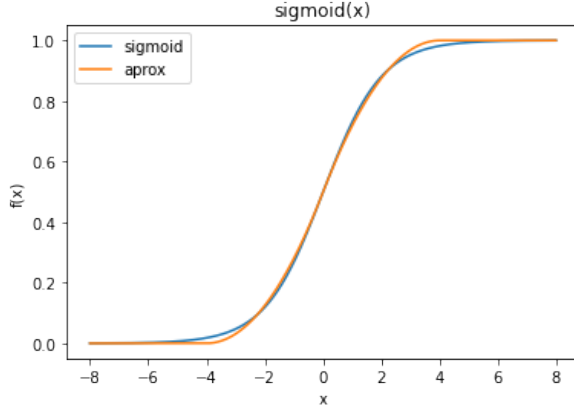


Figura 3.4: Aproximación de la función sigmoide obtenida.

Aunque no se menciona directamente en el *paper* anterior una simplificación de la función sigmoide, se menciona que el método utilizado es aplicable a este tipo de función, por lo que se realiza el mismo proceso manualmente (Figuras 3.3 y 3.4), obteniéndose así entonces las siguientes ecuaciones *tanh* y sigmoide utilizadas:

$$\tanh(x) = \begin{cases} x - 0,25 \times \text{sign}(x) \times x^2 & , |x| < 2; \\ \text{sign}(x) & , \text{de lo contrario} \end{cases} \quad (3.6)$$

$$\text{sigmoid}(x) = \begin{cases} 0 & , x \leq -4 \\ 0,5 + 0,25 \times x - 0,03125 \times \text{sign}(x) \times x^2 & , |x| < 4; \\ 1 & , x \geq 4 \end{cases} \quad (3.7)$$

3.4. Predicción de valores de la bolsa

Como inspiración tanto para la red neuronal a diseñar como el *Dataset* a usar, se utiliza un caso de uso previo de redes *LSTM* [2]. En este *paper* se utiliza tanto una red *LSTM* y como una variación denominada *Bi-LSTM* (Figura 3.5), la cual consiste en dos redes *LSTM* en direcciones opuestas, para realizar predicciones sobre el valor y tendencia de la bolsa de valores. En este trabajo se utilizaron los valores históricos de las acciones de Google entre 2004 - 2019, donde de las 4170 muestras, 88 % se utilizó para el entrenamiento, mientras que el restante 22 % fue usado para pruebas. A partir de esto se obtienen predicciones con error *RMSE* 0.0032 y 0.0004 con la red *LSTM* y *Bi-LSTM* respectivamente.

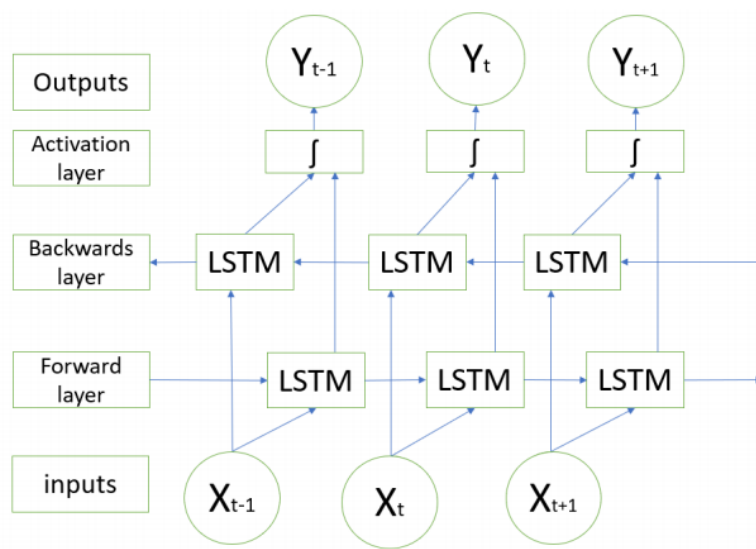


Figura 3.5: Red *Bi-LSTM*. Obtenido de [2].

Capítulo 4

Metodología y Desarrollo

En este capítulo se presenta el trabajo realizado en esta memoria. Este trabajo se divide, de forma cronológica, en los siguientes pasos:

1. Se implementa una red neuronal *LSTM* en *Python* y se prueba su funcionamiento para comprobar que el diseño de esta red sea aceptable.
2. Se pasa a trabajar en *RISC-V*, donde se decide qué placa de *RISC-V* utilizar para el trabajo.
3. Se realiza la implementación en *RISC-V* de las funciones trigonométricas necesarias para el funcionamiento de la red.
4. Con lo anterior listo, se realiza la implementación del funcionamiento (ejecución con parámetros pre-entrenados en *Python*) de la red *LSTM* en *RISC-V*.
5. Se realizan mediciones de funcionamiento en comparación a la implementación en *Python*, para comprobar que la implementación en *RISC-V* fue correcta.
6. Se obtienen las ecuaciones diferenciales necesarias para poder realizar el ajuste de pesos en el *backpropagation* del entrenamiento de la red.
7. A partir de lo anterior, se implementa el entrenamiento de la red en *RISC-V*, utilizando el código anterior como base.
8. Nuevamente se realizan mediciones de funcionamiento en comparación a la implementación en *Python*, para comprobar que la implementación en *RISC-V* fue correcta.
9. Se realizan mediciones de tiempo de la red de *Python* sobre una *CPU* y una *GPU*.
10. Se realizan simulaciones sobre las implementaciones de *RISC-V* para obtener mediciones de tiempo.

Las siguientes secciones de este capítulo corresponden, entonces, a la metodología y desarrollo de lo anterior, presentado en el orden en que fueron realizados, comenzando por el diseño de la red neuronal a utilizar.

4.1. La red neuronal

Para poder realizar comparaciones entre implementaciones de una red neuronal, primero se debe tener una red neuronal para comparar. Para esto se diseña una red neuronal en *Python* basándose en el *paper* de predicción de la bolsa de valores [2] donde se utilizan redes *LSTM* y *Bi-LSTM*. La red es diseñada en *Python* utilizando la herramienta Google Collaboratory, con el propósito principal de probar el funcionamiento de la red diseñada con tal de obtener una red *LSTM* suficientemente buena para realizar la implementación posterior y comparaciones de tiempo y funcionamiento. Se busca crear una red *LSTM* que sea funcional pero no necesariamente compleja, la cual sea capaz de predecir los valores de cierre de cada día a partir de la información de los 10 días anteriores.

4.2. Implementación en *Python*

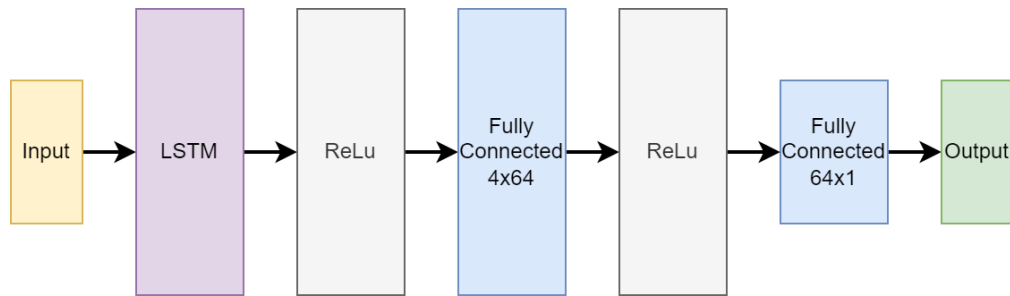


Figura 4.1: Diagrama de la red diseñada.

Como fue mencionado previamente, la implementación en *Python* fue realizada en *Google Collaboratory* habilitando el uso de una *GPU*, donde se realizaron las pruebas de funcionamiento, así como las mediciones de tiempo correspondientes (más detalles del Hardware utilizado, así como las mediciones, es descrito en la sección de mediciones de tiempo). Se hace uso de la librería de *machine learning PyTorch* para la implementación de la red neuronal, la cual permite, fácilmente, definir que procesador utilizar (*CPU* o *GPU*) al entrenar y ejecutar estas redes. El *notebook* de *Google Colab* utilizado se encuentra en [18].

La arquitectura de la red final diseñada consiste en una red *LSTM* con 4 *features* en sus estado interno C y sus salidas intermedias h . Para esta red, sin embargo, solo se utiliza la última salida $h_{t=10}$, a la cual le sigue una “capa” función *ReLU*, una capa densa *Fully Conected* (FC) de 64 neuronas, una segunda capa *ReLU* seguido de una capa de salida *FC* de una neurona (Figura 4.1).

Los datos a utilizar, similarmente a los utilizados en el *paper* mencionado anteriormente [2], corresponden al historial de la bolsa de valores de Google (GOOG) desde 19/08/2004 hasta 04/10/2019, donde se encuentra información de valores de apertura, máximo, mínimo, cierre, cierre ajustado y volumen de transacciones de cada día entre las fechas indicadas [19]. Los datos son separados en dos *datasets* nuevos, donde el primero (datos de entrada) consiste en la información de todos los días excepto el último, excluyendo además el volumen de transacciones, mientras que el segundo (“labels”) posee solamente los valores de cierre de

cada día, empezando desde el décimo día. Se realiza un preprocesamiento de los datos con tal de estandarizar estos, aplicando “MinMax Scaling” a los datos del primer *dataset* y *Standard Scaling* al segundo. Se agrupan, posteriormente, los datos del conjunto de entrada, de tal forma de tener para cada valor de cierre a predecir, tener en los datos de entrada un grupo consistente de la información de los 10 días anteriores. Finalmente, los datos son separados en un conjunto de entrenamiento y prueba, tomando el 88 % de los datos para el entrenamiento y el resto para prueba.

Respecto al entrenamiento de la red, normalmente lo correcto sería entrenar utilizando un conjunto de validación, deteniendo el entrenamiento cuando el error de la red sobre dicho conjunto comience a subir. Esto se realiza para evitar el sobreajuste de la red con los datos de entrenamiento. Sin embargo, se opta por definir una cantidad de épocas fijas, con el objetivo de tener mediciones de tiempo de entrenamiento consistentes. La red es entonces entrenada por 220 épocas, con un radio de entrenamiento (*learning rate*) de 0.005 utilizando un criterio de error de *Mean-Squared Error (MSE)* y utilizando el algoritmo de optimización “Adam”. Para todos los entrenamientos, los pesos son inicializados aleatoriamente, utilizando una “semilla” o *seed* fija, la cual garantiza que los pesos iniciales (y por tanto finales) siempre serán los mismos.

Una vez entrenada la red se vuelven a pasar todos los datos por la red y las predicciones pueden ser observadas en la Figura 4.2, donde los datos de entrenamiento corresponden a aquellos a la izquierda de la línea roja divisoria, teniendo los datos de prueba a la derecha de esta.

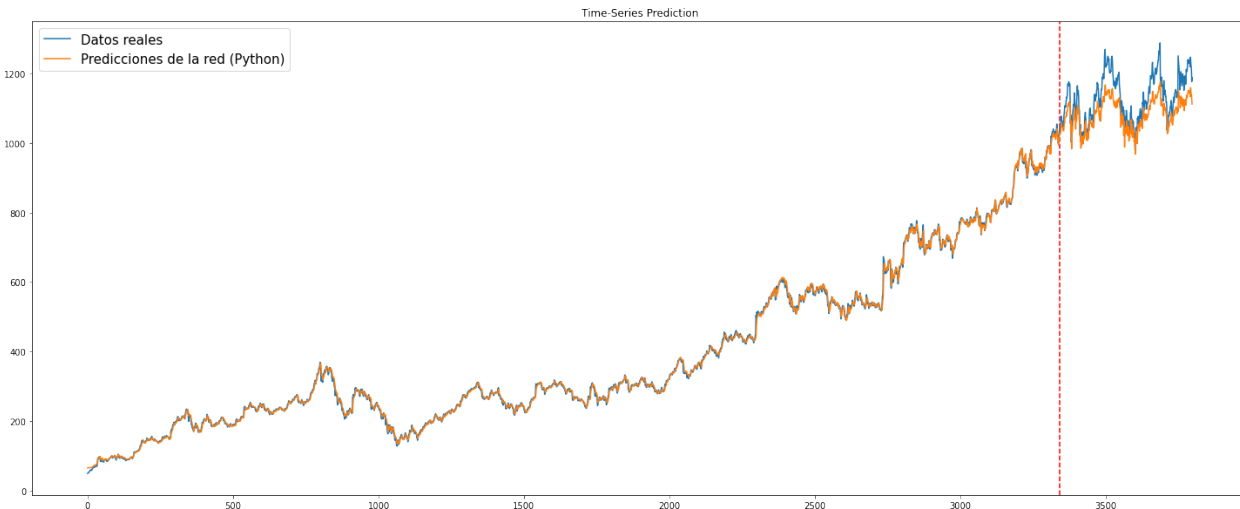


Figura 4.2: Predicciones de la red implementada en *Python* VS. datos reales.

Como se puede observar, las predicciones se ajustan a los valores reales, aunque no perfectamente. Sin embargo, dado que el objetivo de esta memoria no consiste en diseño de una red precisa, sino que en emular el funcionamiento de una red y realizar comparaciones de eficiencia respecto a tiempos, se considera que la implementación realizada es, aunque relativamente inexacta respecto a su precisión, suficientemente apropiada para este trabajo.

4.3. Herramientas para *RISC-V*

Para el trabajo sobre *RISC-V* se utilizaron principalmente las dos herramientas previamente mencionadas: *Freedom Studio* y *Gem5*. *Freedom Studio* es utilizado para todo lo que involucra desarrollo del código en *RISC-V Assembler*, debido a la facilidad que este software entrega para lo que es simulación, compilación y herramientas de *debug* de código, así como visualización de memoria y registros. Por el otro lado, *Gem5* es utilizado para simulación “real” de los códigos desarrollados, principalmente para obtener mediciones de tiempo de ejecución de estos.

4.3.1. “Hardware” seleccionado

Las mediciones son realizadas solamente a través de simulaciones. Para obtener resultados más auténticos se utiliza como referencia la placa de SiFive “HiFive Unleashed”[20] la cual, aunque fue descontinuada, es de gran interés debido al *SoC (System on a Chip)* que esta posee: el *Core* de SiFive **U-54**. Este *SoC* nos interesa debido a que se encuentra entre los pocos *Cores* incluidos para la simulación en *Freedom Studio*. Además de esto, este procesador posee todas las extensiones base de *RISC-V*, entre las cuales se encuentra la extensión que contiene instrucciones de punto flotante, las cuales son fundamentales para implementar una red neuronal de cualquier tipo. Más detalles de la placa utilizada son mencionados en la sección de mediciones de tiempo.

4.4. *RISC-V*: Trabajo realizado

Para este trabajo se realiza primero la implementación de las funciones trigonométricas tangente hiperbólica y sigmoide, definidas previamente en el estado del arte. Posterior a esto, se realizan dos implementaciones en *RISC-V* de la red neuronal definida previamente: una exclusivamente para la ejecución de la red y otra para el entrenamiento de esta.

Una de las principales consideraciones que se tienen en mente al momento de diseñar el código en *RISC-V* consiste en reducir el número de instrucciones necesarias lo más posible con tal de obtener un código más rápido. Es por esto que se busca, por ejemplo, reducir el número de accesos a memoria lo más posible, o aplicar *Loop Unrolling* donde sea conveniente.

4.4.1. Loop Unrolling

En lenguajes de mayor nivel, la forma correcta de implementar código, en donde este se repite con variaciones menores, consistiría en programar un *loop/bucle* que recorra dicho código, con el propósito de evitar duplicación innecesaria de este. Sin embargo, en especial para lenguajes de bajo nivel, realizar estas variaciones menores y realizar *loops* de código puede llegar a ser costoso respecto a número de instrucciones necesarias.

Para las implementaciones del código se utiliza entonces una técnica conocida como *Loop Unrolling* o “Desenrollado de bucle(s)” [21]. Esta técnica consiste en escribir manualmente cada una de las repeticiones de código de un *loop*, a diferencia de escribirlo una vez y ejecutar este múltiples veces. Esto permite ahorrarse aquellas instrucciones encargadas de controlar el *loop*, haciendo que el código resultante sea más rápido, a cambio de tener un código más difícil de leer, en especial cuando se tienen bucles con un gran número de instrucciones o repeticiones.

Esta técnica es utilizable sobre bucles de repeticiones no variables, donde se sabe exactamente cuáles y cuantas instrucciones serían ejecutadas dentro del bucle. A continuación se muestra un ejemplo sencillo de esta técnica:

```

1 int main(void)
2 {
3     //El siguiente código muestra en consola los números del 0 al 4
4     for (int i=0; i<5; i++)
5         printf("%d\n",i);
6
7     //El siguiente código realiza la misma tarea, omitiendo
8     //aquellas instrucciones usadas para funcionamiento del bucle for()
9     printf("0\n");
10    printf("1\n");
11    printf("2\n");
12    printf("3\n");
13    printf("4\n");
14 }
```

4.5. Implementación de Funciones trigonométricas en *RISC-V*

Para facilitar la implementación y el uso de estas funciones, estas son implementadas como “métodos” usuales de programación, los cuales son llamados utilizando la instrucción `jal a0, tanh_fa6` o `jal a0, sig_fa6`, en donde se aplica la función sobre el valor guardado en el registro `fa6` y se guarda el resultado en `fa7`. La implementación de ambas funciones es similar, donde en ambos casos se realiza un primer *check* para ver si el número en `fa6` se encuentra en el rango correcto, en donde, en caso de estarlo, se realiza el cálculo de la función y, de lo contrario, se fija como resultado 1 o 0 según corresponda. Estas funciones se encuentran en las dos implementaciones de la red.

En el fragmento de código *Listing 4.1* se presenta la implementación de *tanh*. Ambas implementaciones (*tanh* y *sigmoide*), junto con los código completos del trabajo, se encuentran en el anexo.

Listing 4.1: Implementación de la función tangente hiperbólica

```

1 tanh_fa6:
2 //apply tanh(x) where x = fa6
3 //if -2 < x < 2 -> tanh = x - 0.25*x *sign(x)
4 //else tanh=sign(x)
5 //tanh result stored in fa7
6 //must be called with jal a0, tanh_fa6
7
8
```

```

9   //---- load address of floats to be used
10  la t1, tanh_floats
11
12  //---- load 2 in ft10 and check if abs(x)<2
13  flw ft10, 0(t1) //ft10 = 2
14  fabs.s ft11, fa6 //ft11 = abs(x)
15  flt.s t2, ft11, ft10 //t2 == 1 if |x|<2
16  beqz t2, tanh_is_not_in_curve // t2 ==0 -> skip to return sign(x)
17
18  //---- else: do x - 0.25*x *sign(x)
19  //x
20  fmul.s fa7, fa6, fa6
21  //ans*sign(x)
22  fsgnj.s fa7, fa7, fa6 //sign inject fa7(ans) with fa6(x) sign
23  //-(ans*0.25)+x
24  flw ft10, 4(t1); // ft10 = 0.25
25  fnmsub.s fa7, fa7, ft10, fa6
26
27  //---- finish
28  jr a0
29
30 //---- x < -2 or 2 < x
31 tanh_is_not_in_curve: //return sign
32   fsgnj.s fa7, fs11, fa6
33
34 jr a0
35 //---- end of tanh

```

4.6. Implementación de la ejecución de la red neuronal en *RISC-V*

La primera implementación consiste, exclusivamente, en el funcionamiento de la “ejecución” de la red. Esto es, la obtención de predicciones de la red neuronal a partir de la información de entrada. Esta implementación utiliza los parámetros (pesos y *biases*) pre-entrenados de la red neuronal implementada en *Python* y debe ser capaz de, a partir de la misma información de entrada, realizar una predicción similar.

El trabajo realizado para esta primera implementación se puede resumir en las siguientes tareas:

1. Definición de estructura y carga de datos.
2. Implementación del funcionamiento de la red *LSTM*, utilizando las ecuaciones 2.1 a 2.6.
3. A partir del resultado de $t = 10$ de lo anterior, implementar en funcionamiento las funciones *ReLU* y *Fully connected* correspondientes.
4. Ejecución y extracción de predicciones de la red para mediciones de funcionamiento.

4.6.1. Datos

Primero, para poder cargar los datos de entrada, así como los pesos y *biases* de la red, estos son explicitados directamente en la sección *.data*, debido a que no se poseen métodos

para leer archivos externos (como, por ejemplo, un .csv con los datos). Además de esto, se predefinen en esta sección espacios de memoria a utilizar como “variables”: los canales C y H de la red *LSTM* a través del tiempo, los valores finales de las redes *Fully Connected* (FC) y los valores de salida.

4.6.2. LSTM

Una vez hecho esto, se implementa el funcionamiento de la red *LSTM*. Para esto se implementó primero la multiplicación de matrices de las ecuaciones 2.1 a 2.4. Considerando que los resultados de estas ecuaciones son vectores de dimensión 4, y que las ecuaciones 2.5 y 2.6 consisten solamente en sumas, multiplicaciones punto-a-punto y la función punto-a-punto tanh, podemos ver que para un valor de los vectores C_t y h_t solo afecta en el cálculo de este los valores de i_t , f_t , g_t , o_t y C_{t-1} en la misma posición. Esto es:

$$C_t[i] = f(f_t[i], C_{t-1}[i], i_t[i], g_t[i]) \quad , i \in [0, 3] \quad (4.1)$$

$$h_t[i] = f(o_t[i], C_t[i]) \quad , i \in [0, 3] \quad (4.2)$$

Esto implica que es posible calcular valores de C_t y h_t sin necesidad de calcular completamente i_t , f_t , g_t , o_t , solamente calculando los primeros números de cada vector, luego los segundos... etc. Hacer esto nos permite guardar los valores de i_t , f_t , g_t , o_t en registros y calcular directamente uno a uno los valores de C_t y h_t , ahorrando así varias instrucciones de acceso a memoria.

Es así como se desarrolla entonces el código encargado de realizar los cálculos del valor los vectores i_t , f_t , g_t , o_t para su “posición” i , los cuales son calculados utilizando el fragmento de código *Listing 4.2*. Este código corresponde solo al cálculo del primer valor de i_t , en donde se cargan los valores de los pesos y *biases*, y se multiplica respecto a los valores de entradas y h_{t-1} . Para el caso de $t = 0$, se tiene que $h_{t-1} = 0$ por lo que se omiten las instrucciones de multiplicación de h_{t-1} con el peso correspondiente.

Listing 4.2: Fragmento del código responsable del cálculo de vectores i, f, g y o para un instante t.

```

1 //matrix multiplication for i, f, g & o
2 //ht vector stored as = [fs0 ... fs3]
3 //x vector stored in x = [fs4 ... fs8]
4 //Weights and biases must be the following (with proper offsets)
5 // s1, weights_floats_input
6 // s2, weights_floats_hidden
7 // s3, biases_floats_input
8 // s4, biases_floats_hidden
9 //if t=0 flag a7 is 0, else a7=1
10 //skips Wh*h multiplications as h=0 when t=0
11
12 //---- fa1 -> i
13 //Wxi * x
14 flw ft0, 0(s1)
15 fmuls fa6, ft0, fs4
16
17 flw ft0, 4(s1)
18 fnadd.s fa6, ft0, fs5 ,fa6
19
20 flw ft0, 8(s1)
21 fmadd.s fa6, ft0, fs6 ,fa6

```

```

22
23     flw ft0, 12(s1)
24     fmadd.s fa6, ft0, fs7 ,fa6
25
26     flw ft0, 16(s1)
27     fmadd.s fa6, ft0, fs8 ,fa6
28
29     //ans + bx
30     flw ft0, 0(s3)
31     fadd.s fa6, ft0, fa6
32
33     //t=0? (a7=0?) if so, skip Wh*h (h is 0)
34     beqz a7, mat_mul_skip_h_i
35
36     //ans + (Wh * h)
37     flw ft0, 0(s2)
38     fmadd.s fa6, ft0, fs0, fa6
39
40     flw ft0, 4(s2)
41     fmadd.s fa6, ft0, fs1, fa6
42
43     flw ft0, 8(s2)
44     fmadd.s fa6, ft0, fs2, fa6
45
46     flw ft0, 12(s2)
47     fmadd.s fa6, ft0, fs3, fa6
48
49     mat_mul_skip_h_i:
50     //ans + bh
51     flw ft0, 0(s4)
52     fadd.s fa6, ft0, fa6
53
54     jal a0, sig_fa6 //apply sigmoid
55     fmv.s fa1, fa7

```

Este fragmento corresponde, además, a la primera instancia de *Loop Unrolling* realizada en el código en donde se implementa el mismo código para los vectores f_t , g_t , o_t , con la diferencia de que para $t = 0$ se omite el cálculo de f_t , pues este solo es utilizado en la ecuación 2.5, donde $C_{t-1} = 0$ para $t = 0$. El realizar *Loop Unrolling* permite ahorrar las instrucciones que ajusten las direcciones $s1$, $s2$, $s3$ y $s4$ cada vez que se quiera calcular los valores de los vectores anteriores.

Habiendo calculado entonces los primeros valores de cada uno de los vectores i_t , f_t , g_t , o_t , se calcula los primeros valores de C_t y h_t (ecuaciones 4.1 y 4.2 para $i = 0$), omitiendo la multiplicación de $C_{t-1} * f$ en caso de que $t = 0$. Esto se realiza en el fragmento de código Listing 4.3.

Listing 4.3: Fragmento del código responsable del cálculo C_t y h_t para un instante t.

```

1  //fa1 -> i
2  //fa2 -> f
3  //fa3 -> g
4  //fa4 -> o
5  //calculate ct = f * ct-1 + i * g
6  // ct = fa2 * 0(s6) + fa1 * fa3
7
8  //i * g
9  fmuls fa6, fa1, fa3
10
11 // if a7=0 -> ct-1 = 0 -> ct = fa1 * fa3
12 beqz a7, skip_ct1_mul
13
14 //else: ct-1 * f + ans
15 flw ft1, 0(s6)
16 fmadd.s fa6, ft1, fa2, fa6
17

```

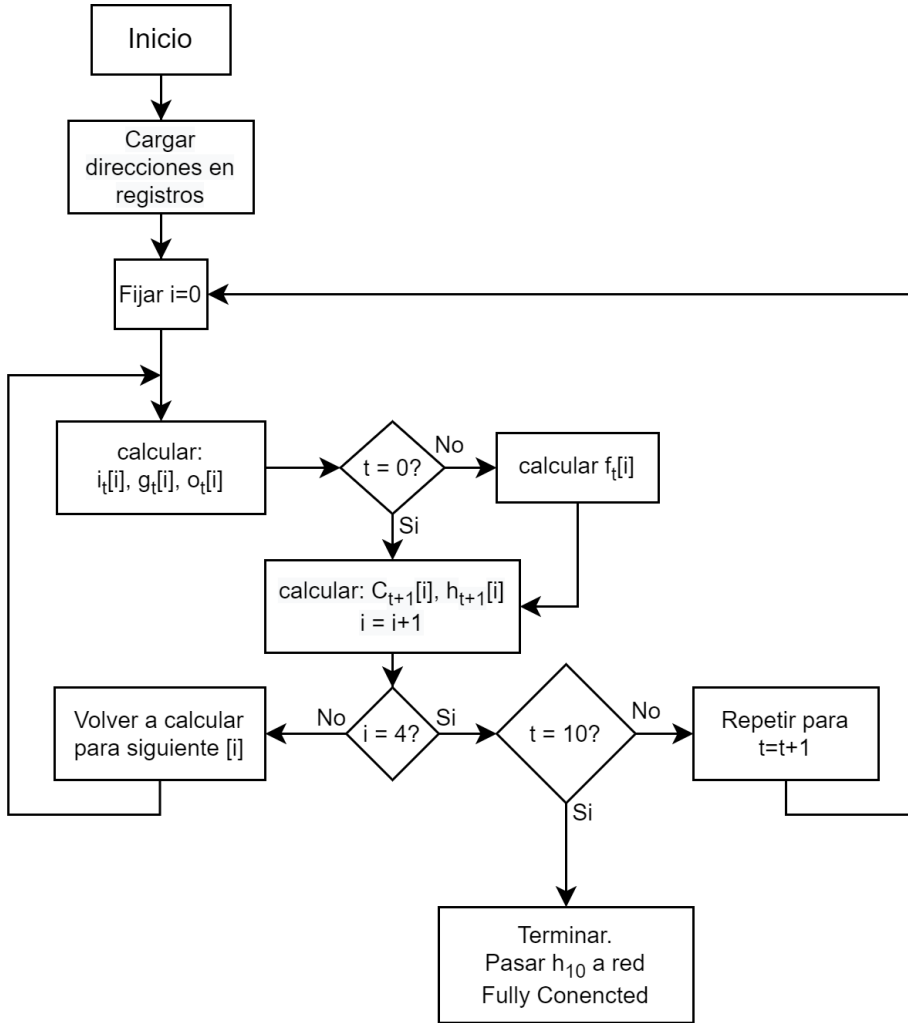


Figura 4.3: Diagrama de flujo simplificado del funcionamiento de la implementación de la red *LSTM* en *RISC-V*.

```

18 skip_ct1_mul:
19   //store ct
20   fsw fa6, 0($6)
21
22   //ht+t = o * tanh(ct)
23   jal a0, tanh_fa6
24   //fa7 = tanh(ct) * o
25   fmul.s fa7, fa7, fa4
26   //store ht+1
27   fsw fa7, 0($5)
  
```

Finalmente, se guardan los valores calculados de $C_t[i]$ y $h_t[i]$, se ajustan los *offsets* de los punteros para trabajar sobre $i = i + 1$ y se repite el cálculo de 2.1 a 2.6, hasta que se calculen los cuatro valores de C_t y h_t . Teniendo los vectores completos, se pasa a realizar otro reajuste de punteros, esta vez con el propósito de calcular el paso de tiempo siguiente ($t + 1$), con lo que se ajusta con tal de utilizar el siguiente conjunto de entradas (de un total de 10), y se reinicia el proceso nuevamente con $i = 0$. Esto entonces se repite hasta haber calculado h_t para $t = 10$, donde se termina el *loop* y se alimentan las capas *FC* de la red. El funcionamiento de lo anterior queda resumido en el diagrama de la Figura 4.3.

4.6.3. Fully Connected

$$FC_{64} = W_{64} \cdot ReLu(h_{t=10}) + b_{64} \quad (4.3)$$

$$\hat{y} = W_{out} \cdot ReLu[FC_{64}] + b_{out} \quad (4.4)$$

Teniendo los 4 valores del vector $h_{t=10}$, se pasa al cálculo correspondiente a las dos capas FC de la red, así como las funciones $ReLu$ correspondientes. Específicamente, el orden a implementar consiste en: $ReLu$, FC de 64 neuronas, $ReLu$ y FC de 1 neurona (donde el resultado de esta última consistiría en el *output* de la red). Esto queda representado en las ecuaciones 4.3 y 4.4. La implementación realizada de lo anterior se puede resumir en el pseudocódigo *Listing 4.4*.

Listing 4.4: Pseudocódigo de la implementación de las capas Fully Connected de la red.

```

1   FC64 = vector de largo 64, que representa la capa de 64 neuronas
2   W64 = matriz de pesos de dimensión 64x4, donde cada fila corresponde a los pesos de una
3   neurona de la capa de 64 neuronas
4   B64 = vector que contiene los biases de las neuronas de la capa de 64 neuronas
5
6   FCout = valor de la capa de salida de una neurona
7   Wout = vector de pesos de la capa de salida, de largo 64
8   Bout = bias de la capa de salida
9
10  Ht10 = vector de largo 4
11
12  ReLu(x) -> Equivale a 0 si x es menor o igual a 0, de lo contrario vale x
13
14 //Comienza el código:
15  FCout = Bout
16  Para i de (0 a 63):
17      FC64[i] = B64[i]
18      Para k de (0 a 3):
19          FC64[i] = FC64[i] + W64[i][k] * ReLu(Ht10[k])
20      FCout = FCout + Wout[i] * ReLu(FC64[i])

```

Al momento de implementar el pseudocódigo *Listing 4.4*, la forma en que se implementa la función $ReLu$ en el código consiste en revisar si el valor es menor o igual a cero (lo cual es posible con una sola instrucción) y, en caso de serlo, se omite completamente la multiplicación correspondiente, lo cual es funcionalmente idéntico a fijar el valor a cero y multiplicar pero, además, permite ahorrar las instrucciones multiplicación y carga desde memoria del valor del peso correspondiente.

Entonces, primero se realiza un *check* respecto a los valores de $h_{t=10}$, correspondiente a la primera $ReLu$, donde se fija una “bandera” (*flag*) para cada uno de estos valores, que indica si son o no mayor a cero, el cual se utiliza para omitir las multiplicaciones correspondientes. Además, para omitir cargas y guardados en memoria innecesarios, se calcula el valor de la capa de salida, inmediatamente, a medida que se van calculando los valores de las neuronas de la capa de 64. Esto es, se calcula el valor resultante de una neurona de la capa FC de 64 y se pondera inmediatamente con el peso correspondiente a la capa de salida, realizando antes de esta última ponderación el mismo *check* hecho para la implementación de la función $ReLu$ sobre $h_{t=10}$. Con esto, se obtiene el fragmento de código *Listing 4.5*, donde al final se muestran las instrucciones correspondientes al cálculo para una de las 64 neuronas, el cual

es repetido manualmente (*Loop Unrolling*) 64 veces con el propósito de ahorrar instrucciones.

Listing 4.5: Fragmento de código responsable del cálculo de las función *ReLU* y la capas *FC*.

```

1 //----- apply ReLu flag -----
2 //relu flag is used to skip the multiplication,
3 //instead of setting the number to zero (same result)
4 //flag is 1 if number is <= 0 -> should skip multiplication
5 fmv.s.x ft3, x0 //set zero
6
7 //flags:
8 //fs0 -> t0
9 //fs2 -> t1
10 //fs2 -> t2
11 //fs3 -> t3
12 fle.s t0, fs0, ft3
13 fle.s t1, fs1, ft3
14 fle.s t2, fs2, ft3
15 fle.s t3, fs3, ft3
16
17 //addresses for fc_1 weights, biases and results
18 la a1, fc_1_weight
19 la a2, fc_1_bias
20 la a3, fc_1_values
21
22 //addresses for fc weights and bias
23 la a4, fc_weight_and_bias
24
25 //fa0 -> final output
26 //start with loading fc bias
27 flw fa0, 256(a4)
28
29 //Following code loop is unraveled to save 4*64 instructions
30 //it feeds ht into each fc_1 neuron, which then feeds into fc
31
32 //-----
33 //----- "LOOP" START -----
34 //-----
35
36 //0
37 flw ft0, 0(a2)
38
39 bnez t0, skip_0_0
40     flw ft1, 0(a1)
41     fmadd.s ft0, ft1, fs0, ft0
42 skip_0_0:
43
44 bnez t1, skip_1_0
45     flw ft1, 4(a1)
46     fmadd.s ft0, ft1, fs1, ft0
47 skip_1_0:
48
49 bnez t2, skip_2_0
50     flw ft1, 8(a1)
51     fmadd.s ft0, ft1, fs2, ft0
52 skip_2_0:
53
54 bnez t3, skip_3_0
55     flw ft1, 12(a1)
56     fmadd.s ft0, ft1, fs3, ft0
57 skip_3_0:
58
59 //relu, then feed to fc
60 fle.s t4, ft0, ft3//relu flag
61 bnez t4, skip_fc_0//if ft0<=0 then skip fmadd.s
62     flw ft1, 0(a4)
63     fmadd.s fa0, ft0, ft1, fa0
64 skip_fc_0:
```

4.6.4. Output

Para terminar, el resultado de la capa de salida es guardado en memoria, se reinician los desfases de punteros necesarios para realizar el mismo proceso con el siguiente conjunto de 10 días y se reinicia el código (fragmento de código *Listing 4.6*). Esto ocurre hasta que la red sea alimentada con los 3797 conjuntos de entradas y genere el mismo número de salidas, todas almacenadas en memoria en direcciones conocidas. Estas son posteriormente exportadas a un archivo de texto, con el propósito de comprobar el funcionamiento de la implementación, así como realizar comparaciones con la implementación en *Python*.

Listing 4.6: Fragmento de código responsable de guardar en memoria el resultado final y reiniciar con los desfases necesarios.

```
1 //-----
2 //-----      "LOOP" END      -----
3 //-----
4
5     fsw fa0, 0(a5)
6
7
8     //---- FORWARD PASS END ----
9     //restart, with input and output offset
10    //input(s0): go back 8 rows = -160
11    addi s0, s0, -160
12
13    //output(a5) offset -> 1 float = +4
14    addi a5, a5, 4
15
16    //"add" -1 to the FeedForward counter (s11)
17    //loop feed forward 3797 times
18    //repeat until counter reaches 0
19    addi s11, s11, -1
20
21    //if s11 != 0 -> repeat
22    bneq s11, forward_pass_full_restart
23
24
25 call exit
```

4.7. Implementación del entrenamiento de la red neuronal en *RISC-V*

Una vez que se termina la implementación del código encargado de la ejecución de la red y se comprueba su apropiado funcionamiento (lo cual es realizado en la sección de resultados), se pasa a realizar la implementación del entrenamiento de la red. Este utiliza como base la implementación previa, en donde se le agrega sobre esta el funcionamiento necesario para poder realizar el cálculo de gradientes de cada parámetro a través de *backpropagation*, así como el posterior ajuste de estos parámetros.

El trabajo realizado para esta segunda implementación puede ser resumido por las siguientes tareas:

1. Obtención de las ecuaciones diferenciales para *backpropagation*.

2. Modificación del código base para guardar en memoria datos extra necesarios.
3. Cálculo de gradientes (*backpropagation*) para las capas F.C.
4. Cálculo de gradientes para la red *LSTM*
5. Actualización de parámetros de la red utilizando el algoritmo Adam.
6. Entrenamiento de la red y carga de parámetros entrenados sobre la primera implementación para probar funcionamiento.

4.7.1. Ecuaciones Diferenciales

Antes de poder empezar a trabajar en el código correspondiente a la implementación del entrenamiento, es necesario obtener las ecuaciones de gradientes para poder realizar *backpropagation*. Normalmente, al trabajar con programas o librerías de lenguajes de alto nivel como en *Python*, uno no necesita explicitar estas ecuaciones, pues gran parte de estas son creadas al definir la estructura de la red, necesitando solamente explicitar la función de error a utilizar. En nuestro caso no solo debemos programar estas ecuaciones, sino que además obtenerlas a partir de la estructura de la red utilizada.

$$(MSE) \quad L(\hat{y}, y) = \frac{1}{N} \sum_{i=1}^N (y - \hat{y})^2 \quad (4.5)$$

Dada la ecuación de error 4.5, el gradiente de cada parámetro θ estaría dado por la derivada parcial de la ecuación 4.6. Las ecuaciones de gradiente de cada parámetro se obtienen utilizando la regla de la cadena para derivadas parciales, utilizando tanto la ecuación de error 4.5 como las ecuaciones que definen la estructura de nuestra red neuronal, siendo estas las ecuaciones de 2.1 a 2.6, 4.3 y 4.4.

$$\text{grad}(\theta) = \frac{dL}{d\theta} \quad (4.6)$$

Respecto a las derivadas parciales que involucran funciones trigonométricas, se utilizan las derivadas de las funciones no aproximadas, utilizando entonces como derivadas las ecuaciones 4.7 y 4.8.

$$\frac{d}{dx} \tanh(x) = 1 - \tanh^2(x) \quad (4.7)$$

$$\frac{d}{dx} \sigma(x) = \sigma(x)(1 - \sigma(x)) \quad (4.8)$$

Además de esto, es necesario separar las ecuaciones 2.1, 2.2 2.3 y 2.4 en dos partes, con tal de poder obtener las derivadas parciales necesarias para calcular los gradientes de los parámetros de estas ecuaciones. De esta forma, para el cálculo de los gradientes, se utilizan las ecuaciones 4.9 a 4.16

$$f_t = \sigma(a_{f_t}) \quad (4.9)$$

$$i_t = \sigma(a_{i_t}) \quad (4.10)$$

$$g_t = \tanh(a_{g_t}) \quad (4.11)$$

$$o_t = \sigma(a_{o_t}) \quad (4.12)$$

$$a_{f_t} = W_{xf} \cdot x_t + b_{xf} + W_{hf} \cdot h_{t-1} + b_{hf} \quad (4.13)$$

$$a_{i_t} = W_{xi} \cdot x_t + b_{xi} + W_{hi} \cdot h_{t-1} + b_{hi} \quad (4.14)$$

$$a_{g_t} = W_{xc} \cdot x_t + b_{xc} + W_{hc} \cdot h_{t-1} + b_{hc} \quad (4.15)$$

$$a_{o_t} = W_{xo} \cdot x_t + b_{xo} + W_{ho} \cdot h_{t-1} + b_{ho} \quad (4.16)$$

Finalmente, definimos la notación de la función escalón, la cual resulta ser la derivada de la función *ReLU*, como la presentada en la ecuación 4.17

$$\frac{dL}{dx} \text{ReLU}(x) = u(x) = \begin{cases} 1 & , x > 0 \\ 0 & , x \leq 0 \end{cases} \quad (4.17)$$

A partir de esto, recordando que como salida de la red *LSTM* solo se utiliza la última salida (eso es, $h_{t=10}$), se obtienen manualmente las derivadas parciales necesarias para calcular los gradientes de la red, las cuales consisten en las ecuaciones 4.18 a 4.30, donde las ecuaciones de 4.18 a 4.23 corresponden a las ecuaciones de las capas *Fully Connected*, mientras que las ecuaciones de 4.24 a 4.31 corresponden a las de la red *LSTM*.

$$\frac{dL}{dFC_{out}} = 2(\hat{y} - y) \quad (4.18)$$

$$\frac{dL}{db_{out}} = \frac{dL}{dFC_{out}} \quad (4.19)$$

$$\frac{dL}{dW_{out}} = \frac{dL}{dFC_{out}} \cdot (ReLU(FC_{64}))^T \quad (4.20)$$

$$\frac{dL}{dFC_{64}} = (W_{out}^T \cdot \frac{dL}{dFC_{out}}) \otimes u(FC_{64}) \quad (4.21)$$

$$\frac{dL}{db_{64}} = \frac{dL}{dFC_{64}} \quad (4.22)$$

$$\frac{dL}{dW_{64}} = \frac{dL}{dFC_{64}} \cdot (ReLU(h_{t=10}))^T \quad (4.23)$$

$$\frac{dL}{dh_{t=10}} = (W_{64}^T \cdot \frac{dL}{dFC_{64}}) \otimes u(h_{t=10}) \quad (4.24)$$

$$\begin{aligned} \frac{dL}{dC_t} &= \frac{dL}{dh_t} \otimes o_t (1 - \tanh^2(C_t)) \\ &= \frac{dL}{dh_t} \otimes o_t - h_t \otimes \tanh^2(C_t) \end{aligned} \quad (4.25)$$

$$\begin{aligned} \frac{dL}{da_{f_t}} &= \frac{dL}{dC_t} \otimes f_t \otimes (1 - f_t) \\ &= \frac{dL}{dC_t} \otimes f_t - f_t^2 \end{aligned} \quad (4.26)$$

$$\begin{aligned} \frac{dL}{da_{i_t}} &= \frac{dL}{dC_t} \otimes g_t \otimes i_t \otimes (1 - i_t) \\ &= \frac{dL}{dC_t} \otimes g_t \otimes (i_t - i_t^2) \end{aligned} \quad (4.27)$$

$$\frac{dL}{da_{g_t}} = \frac{dL}{dC_t} \otimes i_t \otimes (1 - g_t^2) \quad (4.28)$$

$$\begin{aligned} \frac{dL}{da_{o_t}} &= \frac{dL}{dh_t} \otimes \tanh(C_t) \otimes o_t \otimes (1 - o_t) \\ &= \frac{dL}{dh_t} \otimes h_t \otimes (1 - o_t) \end{aligned} \quad (4.29) \quad (4.30)$$

$$\frac{dL}{dh_{t-1}} = W_{f_t}^T \cdot \frac{dL}{da_{f_t}} + W_{i_t}^T \cdot \frac{dL}{da_{i_t}} + W_{g_t}^T \cdot \frac{dL}{da_{g_t}} + W_{o_t}^T \cdot \frac{dL}{da_{o_t}} \quad (4.31)$$

Finalmente, para cada uno de los parámetros de la red *LSTM* (pesos y *biases* de las ecuaciones de f_t , i_t , g_t y o_t) se tiene que las ecuaciones de gradiente son las mismas, mientras se utilice la derivada parcial correspondiente (por ejemplo para W_{xf} y b_f , utilizar el gradiente dL/da_{f_t} , Para W_{xi} y b_i usar dL/da_{i_t} , etc.). Luego, para evitar redundancia, sea $\theta = \{f, i, g, o\}$, se tiene que las ecuaciones de gradiente de los parámetros de la red *LSTM* son las ecuaciones 4.32 a 4.34.

$$\frac{dL}{db_{x\theta}} = \frac{dL}{db_{h\theta}} = \frac{1}{10} \sum_{t=1}^{10} \frac{dL}{da_{\theta_t}} \quad (4.32)$$

$$\frac{dL}{dW_{x\theta}} = \frac{1}{10} \sum_{t=1}^{10} \frac{dL}{da_{\theta_t}} \cdot x_t^T \quad (4.33)$$

$$\frac{dL}{dW_{h\theta}} = \frac{1}{10} \sum_{t=1}^{10} \frac{dL}{da_{\theta_t}} \cdot h_{t-1}^T \quad (4.34)$$

Todos los gradientes anteriores son calculados para cada conjunto de *inputs* a la red, con lo que antes de ajustar los parámetros, se deben calcular todos los gradientes para todo el *dataset* completo de 3342 datos de entrenamiento, donde luego se promedian los gradientes calculados (cada parámetro promedia sus propios 3342 gradientes). La forma de implementar este promedio consiste en, simplemente, ir sumando los gradientes de cada parámetro para, finalmente, dividir los gradientes acumulados de cada uno de estos por 3342 al realizar la actualización de gradientes. Para el caso de gradientes de la red *LSTM*, se divide además por 10 debido a que en cada predicción hay 10 gradientes para cada parámetro de la red, debido a los 10 instantes de tiempo.

4.7.2. Modificaciones al código base

Como se menciona previamente, la implementación del entrenamiento de la red utiliza como código base la implementación anterior, pues para calcular los gradientes a través de *backpropagation* es necesario saber que valores se obtienen en cada parte de la red. Dichos valores, al no ser necesarios previamente, no son guardados en memoria, con lo que es necesario modificar el código de la ejecución de la red de tal forma que se guarde información extra.

Se modifica entonces el código para que, para cada una de las predicciones realizadas, sean guardadas en memoria los siguientes valores:

- vectores h_t para t de 1 a 9 (previamente solo se guardaba $t = 10$).
- vectores C_t para t de 1 a 10.
- vectores resultantes de $\tanh(C_t)$ para t de 1 a 10, con tal de evitar realizar el mismo cálculo múltiples veces.
- vectores f_t , i_t , g_t y o_t para t de 1 a 10.
- resultados de la capa Fully Connected de 64 neuronas (vector FC_{64})
- resultados de $ReLU(h_{t=10})$ y $ReLU(FC_{64})$
- resultados de $u(h_{t=10})$ y $u(FC_{64})$

Para el caso de los últimos (resultados de *ReLU*), cabe recordar la forma en que se “implementa” la función *ReLU*. Esta no es implementada directamente, sino que en su lugar se realiza un *check* de si el número correspondiente es mayor a cero o no (equivalente a función escalón $u(x)$), donde el resultado de esto es utilizado para omitir los cálculos de aquellos valores negativos (pues esto requiere de menos instrucciones que realizar *ReLU* y multiplicar posteriormente por cero cada vez). Luego, no necesitamos realmente guardar los valores de $ReLU(h_{t=10})$ y $ReLU(FC_{64})$, sino que basta con guardar en memoria $h_{t=10}$, FC_{64} , $u(h_{t=10})$ y $u(FC_{64})$, los cuales deben ser guardados de todas formas pues son necesarios por si solos.

Finalmente, el último cambio al código base consiste en los datos guardados para cada parámetro, en donde para cada “conjunto de datos” (o para cada puntero) se agregan espacios para guardar los gradientes de cada parámetro, así como los valores de P y S (algoritmo Adam) de cada uno.

4.7.3. Cálculo de gradientes: *Fully Connected*

Como indica el nombre, el cálculo de gradientes a través de *backpropagation* ocurre “hacia atrás” por la red, por lo que primero es necesario implementar el cálculo de gradiente de las últimas partes de la red.

Se implementa primero a través del código *Listing 4.7* las ecuaciones 4.18 y 4.19, las cuales corresponden al mismo valor, y se inicializan los registros correspondientes a dL/dh_{10} para empezar a sumar gradientes sobre este.

Listing 4.7: Fragmento de código inicial de backpropagation.

```

1 //expected result -> ft0
2 //predicted value -> fa0
3 flw ft0, 0(s10)
4
5 //offset s10 for next one
6 addi s10, s10, 4
7 //dL/dFCout = 2*(predicted - expected)
8 //saved in fs10
9 fsub.s fs10, fa0, ft0
10 fadd.s fs10, fs10, fs10
11
12 //dL/dbout = dL/dFCout
13 flw ft0, 1028(a4)
14 fadd.s ft0, ft0, fs10
15 fsw ft0, 1028(a4)
16
17 //dL/dh10 = [fs4, ..., fs7]
18 //set to x0 to start
19 fnv.s.x fs4, x0
20 fnv.s.x fs5, x0
21 fnv.s.x fs6, x0
22 fnv.s.x fs7, x0

```

Después de esto, se pasa a implementar el cálculo de las ecuaciones 4.23 a 4.24. Para esto, se realiza un procedimiento similar al pseudocódigo *Listing 4.4*. Al momento de calcular los gradientes para ir sumándolos al “acumulado”, se realiza un *check* previo que indica si los cálculos a realizar entregarían cero o no (debido a que se sabe de antemano las multiplicaciones involucradas). En caso de que se sepa que ciertos gradientes den cero, estos son omitidos completamente (lo cual ahorra instrucciones que simplemente sumarían +cero al acumulado).

Además de esto, con el propósito de utilizar la menor cantidad de accesos en memoria, la implementación del cálculo de 4.23 a 4.24 queda descrito por el pseudocódigo *Listing 4.8*.

Listing 4.8: Pseudocódigo de la implementación del cálculo de gradientes para las capas *FC* y ht=10.

```

1   for every i flag in vector fc_1_reluflags (64 in total), check flag
2   if flag is 1, skip everything & move to the next [i]
3   if flag is 0, use fc_1_values in position [i]
4       dL/dWout [i] += fc_1_values [i] * fs10
5       dL/dfc1 [i] = fc_weight_and_bias[i] * fs10
6       dL/db1[i] += dL/dfc1 [i]
7       for every [k] in [t0, ..., t3] (h10 relu flags), check flag. if 1-> skip k
8           dL/dW1 [i][k] += dL/dfc1 [i] * h10[k]
9           dL/dh10 [k] += dL/dfc1 [i] * fc_1_weight[i][k] -> save to [fs4, ..., fs7]
10
11
12 Para vectores, cada [i] es un desfase extra de 4
13 Para matrices, cada columna [k] es un desfase de +4 y cada fila [i] es (+rowLength*4)
14 (+4*4)=+16 en este caso)
```

Para la implementación se vuelve a aplicar *Loop Unrolling*, con lo que el código *Listing 4.9* obtenido es repetido 64 veces para obtener todos los gradientes necesarios.

Listing 4.9: Fragmento de código responsable del cálculo de gradientes para las capas *FC* y ht=10.

```

1 //i=0
2 //fc1 relu flag
3 lw t4, 0(s9)
4 //if 1-> skip all
5 bnez t4, skip_backprop_i0
6 //else use fc_1_values in position [i] -> ft0 = fc_1[i]
7 flw ft0, 0(a3)
8
9 //dL/dWout [i] += fc_1_values [i] * fs10
10 //gradient offset is 260 from fc_weight_and_bias
11 flw ft1, 260(a4)
12 fmadd.s ft1, ft0, fs10, ft1
13 fsw ft1, 260(a4)
14
15 // get dL/dfc1 [i] = fc_weight_and_bias[i] * fs10 -> ft1 = dL/dfc1[i]
16 flw ft1, 0(a4)
17 fmul.s ft1, ft1, fs10
18 // dL/db1[i] += dL/dfc1 [i]
19 flw ft2, 256(a2)
20 fadd.s ft2, ft2, ft1
21 fsw ft2, 256(a2)
22
23 //h10 = [fs0, ..., fs3]
24 //h10 relu flags = [t0, ..., t3]
25 // for every [k] in [t0, ..., t3] (h10 relu flags), check flag. if 1-> skip k
26
27 //k=0
28 bnez t0, skip_backprop_k00
29 //dL/dW1 [i][k] += dL/dfc1 [i] * h10[k]
30 //W1 = fc_1_weights; gradients have a base offset of 1024
31 flw ft2, 1024(a1)//=dL/dW1[i][k]
32 fmadd.s ft2, ft1, fs0, ft2
33 fsw ft2, 1024(a1)
34
35 //dL/dh10 [k] += dL/dfc1[i] * fc_1_weight[i][k] -> dL/dh10[0] = fs4
36 flw ft2, 0(a1)//=fc_1_weight[i][k]
37 fmadd.s fs4, ft1, ft2, fs4
38
39 skip_backprop_k00:
40
41 //k=1
42 bnez t1, skip_backprop_k01
```

```

43         //dL/dW1 [i][k] += dL/dfc1 [i] * h10[k]
44         flw ft2, 1028(a1)//=dL/dW1[i][k]
45         fmadd.s ft2, ft1, fs1, ft2
46         fsw ft2, 1028(a1)
47
48         //dL/dh10 [k] += dL/dfc1[i] * fc_1_weight[i][k] -> dL/dh10[1] = fs5
49         flw ft2, 4(a1)//=fc_1_weight[i][k]
50         fmadd.s fs5, ft1, ft2, fs5
51
52     skip_backprop_k01:
53
54     //k=2
55     bnez t2, skip_backprop_k02
56         flw ft2, 1032(a1)//=dL/dW1[i][k]
57         fmadd.s ft2, ft1, fs2, ft2
58         fsw ft2, 1032(a1)
59
60         //dL/dh10 [k] += dL/dfc1[i] * fc_1_weight[i][k] -> dL/dh10[1] = fs5
61         flw ft2, 8(a1)//=fc_1_weight[i][k]
62         fmadd.s fs6, ft1, ft2, fs6
63     skip_backprop_k02:
64
65     //k=3
66     bnez t3, skip_backprop_k03
67         flw ft2, 1036(a1)//=dL/dW1[i][k]
68         fmadd.s ft2, ft1, fs3, ft2
69         fsw ft2, 1036(a1)
70
71         //dL/dh10 [k] += dL/dfc1[i] * fc_1_weight[i][k] -> dL/dh10[1] = fs5
72         flw ft2, 12(a1)//=fc_1_weight[i][k]
73         fmadd.s fs7, ft1, ft2, fs7
74     skip_backprop_k03:
75 skip_backprop_i0:

```

4.7.4. Cálculo de gradientes: *LSTM*

Una vez implementado lo anterior, particularmente el cálculo de la ecuación 4.24, se pasa a implementar los cálculos de gradiente para la red *LSTM*. Esto es, implementar el cálculo de las ecuaciones 4.25 a 4.31 y posteriormente los gradientes 4.32 a 4.34. Para esta parte la implementación realizada es considerablemente más sencilla, debido a tener suficientes registros como para calcular y guardar los valores de las ecuaciones 4.26 a 4.30, así como calcular 4.25, 4.31 y de 4.32 a 4.34, todo esto sin realizar accesos en memoria.

Luego, empezando desde $t = 10$, se calcula inicialmente $\frac{dL}{dC_t}$ (ecuación 4.25) y $\frac{dL}{da_{o_t}}$ (4.30), los cuales dependen de h_t , o_t , $\tanh(C_t)$ y $\frac{dL}{dh_t}$. Posteriormente, se calcula $\frac{dL}{da_{i_t}}$ (4.27) y $\frac{dL}{da_{g_t}}$ (4.28), los cuales dependen del resultado de 4.25, así como de g_t y i_t . Finalmente, se calcula $\frac{dL}{da_{f_t}}$ (4.26) utilizando los valores de $\frac{dL}{dC_t}$, C_{t-1} y f_t . Todo esto es realizado, en el orden mencionado, a través del fragmento de código *Listing 4.10*.

Listing 4.10: Fragmento de código encargado de la primera parte del cálculo de gradientes.

```

1 //Backprop at LSTM
2 //for Vt={i,f,g,o}: Vt = f(a_vt) ;f() respective trig. function
3 //---- first get dL/dCt and dL/daot
4
5 flw ft4, 0(s7)//tanh(C10) -> ft4 - ft7
6 flw ft5, 4(s7)
7 flw ft6, 8(s7)
8 flw ft7, 12(s7)

```

```

10
11
12 flw ft8, 480(s8)//ot -> ft8 - ft11
13 flw ft9, 484(s8)
14 flw ft10, 488(s8)
15 flw ft11, 492(s8)
16
17
18 //dL/dCt = dL/dht * (ot - ht*tanh(Ct)) -> [ft0, ..., ft3]
19 fnmsub.s ft0, fs0, ft4, ft8 //-(ht*tanh(Ct)) + ot
20 fmul.s ft0, ft0, fs4 //ans * dL/dht
21
22 fnmsub.s ft1, fs1, ft5, ft9
23 fmul.s ft1, ft1, fs5
24
25 fnmsub.s ft2, fs2, ft6, ft10
26 fmul.s ft2, ft2, fs6
27
28 fnmsub.s ft3, fs3, ft7, ft11
29 fmul.s ft3, ft3, fs7
30
31 //dL/daot = dL/dht * (ht - ht*ot) -> [fa0, ..., fa3]
32 fnmsub.s fa0, ft8, fs0, fs0 //-(ot*ht) + ht
33 fmul.s fa0, fa0, fs4 //ans * dL/dht
34
35 fnmsub.s fa1, ft9, fs1, fs1
36 fmul.s fa1, fa1, fs5
37
38 fnmsub.s fa2, ft10, fs2, fs2
39 fmul.s fa2, fa2, fs6
40
41 fnmsub.s fa3, ft11, fs3, fs3
42 fmul.s fa3, fa3, fs7
43
44 //---- now get dL/dait and dL/dagt
45
46 flw ft4, 0(s8)//it
47 flw ft5, 4(s8)
48 flw ft6, 8(s8)
49 flw ft7, 12(s8)
50
51 flw ft8, 320(s8)//gt
52 flw ft9, 324(s8)
53 flw ft10, 328(s8)
54 flw ft11, 332(s8)
55
56 //dL/dait = dL/dCt * gt * (it - it*it) -> [fa4, ..., fa7]
57 fnmsub.s fa4, ft4, ft4, ft4//-(it * it) + it
58 fmul.s fa4, fa4, ft8//ans * gt
59 fmul.s fa4, fa4, ft0//ans * dL/dCt
60
61 fnmsub.s fa5, ft5, ft5, ft5
62 fmul.s fa5, fa5, ft9
63 fmul.s fa5, fa5, ft1
64
65 fnmsub.s fa6, ft6, ft6, ft6
66 fmul.s fa6, fa6, ft10
67 fmul.s fa6, fa6, ft2
68
69 fnmsub.s fa7, ft7, ft7, ft7
70 fmul.s fa7, fa7, ft11
71 fmul.s fa7, fa7, ft3
72
73 //dL/dagt = dL/dCt * it * (1.0 - gt*gt) -> [ft4, ..., fs7]
74 fnmsub.s fs0, ft8, ft8, fs11//-(gt*gt)+1.0
75 fmul.s ft4, fs0, ft4//ans * it
76 fmul.s ft4, ft4, ft0//ans * dL/dCt
77
78 fnmsub.s fs1, ft9, ft9, fs11
79 fmul.s ft5, fs1, ft5
80 fmul.s ft5, ft5, ft1

```

```

81      fnmsub.s fs2, ft10, ft10, fs11
82      fmul.s ft6, fs2, ft6
83      fmul.s ft6, ft6, ft2
84
85      fnmsub.s fs3, ft11, ft11, fs11
86      fmul.s ft7, fs3, ft7
87      fmul.s ft7, ft7, ft3
88
89      //---- get dL/daft
90      //subtract 1 to time counter now. If its 0, Ct-1 = C0 = 0 -> skip Ct-1 related
91      instructions
92      addi a7, a7, -1
93
94      flw ft8, 160(s8) //ft
95      flw ft9, 164(s8)
96      flw ft10, 168(s8)
97      flw ft11, 172(s8)
98
99      //dL/daft = dL/dCt * Ct-1 * (ft - ft*ft) -> [ft0, ..., ft3]
100     fnmsub.s fs0, ft8, ft8, ft8 //-(ft*ft) + ft
101     fmul.s ft0, fs0, ft0//ans*dL/dCt
102     beqz a7, skip_daft_0//if a7!=0 -> ans=ans*Ct-1
103     flw ft8, -16(s6)
104     fmul.s ft0, ft0, ft8
105 skip_daft_0:
106
107    fnmsub.s fs1, ft9, ft9, ft9
108    fmul.s ft1, fs1, ft1
109    beqz a7, skip_daft_1
110    flw ft9, -12(s6)
111    fmul.s ft1, ft1, ft9
112 skip_daft_1:
113
114    fnmsub.s fs2, ft10, ft10, ft10
115    fmul.s ft2, fs2, ft2
116    beqz a7, skip_daft_2
117    flw ft10, -8(s6)
118    fmul.s ft2, ft2, ft10
119 skip_daft_2:
120
121    fnmsub.s fs3, ft11, ft11, ft11
122    fmul.s ft3, fs3, ft3
123    beqz a7, skip_daft_3
124    flw ft11, -4(s6)
125    fmul.s ft3, ft3, ft11
126 skip_daft_3:
127
128    //dL/daot -> [fa0, ..., fa3]
129    //dL/dait -> [fa4, ..., fa7]
130    //dL/dagt -> [ft4, ..., ft7]
131    //dL/daft -> [ft0, ..., ft3]

```

Finalmente, se pasa a calcular los gradientes de los parámetros a partir de la implementación de las ecuaciones 4.32, 4.33 y 4.34. Para el cálculo de los gradientes de los *bias* (4.32), simplemente se carga el valor actual acumulado del gradiente, se le suma a este valor la derivada correspondiente y se vuelve a guardar en memoria. Para los pesos, primero son calculados los gradientes de los pesos que multiplican a h_{t-1} (4.34), en donde se cargan los valores de h_{t-1} para realizar el cálculo del gradiente, el cual es agregado al gradiente acumulado en cada caso, para posteriormente guardar este valor. Finalmente, se realiza el mismo proceso para los pesos que multiplican a x_{t-1} (4.33), con la diferencia que por supuesto se cargan esta vez los valores de x_{t-1} para los cálculos de gradiente. Debido a que lo anterior consiste en una serie de repeticiones de cargar desde memoria, realizar una sola instrucción de suma o suma+multiplicación y guardar en memoria, no se muestra un fragmento de código,

sin embargo la implementación de esto puede ser encontrada en el código *Listing 6.2*, entre las líneas 1423 a 2128. De la misma forma, la implementación del cálculo de $\frac{dL}{dh_{t-1}}$ (ecuación 4.31) consiste en una implementación directa de multiplicación de matrices, la cual puede ser observada en el código *Listing 6.2* entre las líneas 2131 y 2285

Todo lo anterior es repetido nuevamente para $t - 1$, hasta calcular los gradientes en $t = 1$, donde se termina el cálculo de gradientes y se pasa a la actualización de parámetros a partir de estos, utilizando el algoritmo “Adam”.

4.7.5. Actualización de parámetros

Debido a la enorme cantidad de parámetros a actualizar y, por tanto, la enorme cantidad de veces que se debe utilizar el algoritmo Adam, este es implementado de forma similar a las funciones trigonométricas, en donde es implementado como un método el cual puede ser llamado para realizar el algoritmo sobre los valores cargados en los registros correspondientes. El código *Listing 4.11* corresponde a la implementación del algoritmo, en donde se aplican las ecuaciones 3.1 a 3.5.

Listing 4.11: Implementación del algoritmo Adam.

```

1  adam_crit:
2  //apply adam, where fa0=PARAM (0) , fa1=GRADIENT (dL/d0) , fa2=P , fa3=S
3  //betas_and_others values must be preloaded
4  //fs0=learning rate , fs1=beta1 , fs2=beta2 , fs3=1-beta1^t , fs4=1-beta2^t , fs5=
5  //gradient_divisor
6  //fs6=epsilon
7  //returns adjusted param in fa0, new P in fa2 and new S in fa3
8  //must be called with jal a0, adam_crit
9
10 //---- divides gradient fa1 by fs5
11 fdiv.s fa1, fa1, fs5
12
13 //---- P = P * beta1 + (1-beta1)* dL/d0
14 //      = P * beta1 + (dL/d0 - beta1*dL/d0)
15 //-(beta1*dL/d0) + dL/d0
16 fnmsub.s ft1, fs1, fa1, fa1
17 //P = P * beta1 + ans
18 fmadd.s fa2, fa2, fs1, ft1
19
20 //---- S = S * beta2 + (1-beta2)* dL/d0*dL/d0
21 //      = S * beta2 + ((dL/d0*dL/d0)-beta2 * (dL/d0*dL/d0))
22 //dL/d0*dL/d0
23 fmuls.s fa1, fa1, fa1
24 //-(ans * beta2) + ans
25 fnmsub.s ft1, fa1, fs2, fa1
26 //S = S * beta2 + ans
27 fmadd.s fa3, fa3, fs2, ft1
28
29 //---- PP = P/(1- beta1^(t))
30 fdiv.s ft2, fa2, fs3
31
32 //---- SS = S/(1- beta2^(t))
33 fdiv.s ft3, fa3, fs4
34
35 //---- O = O - lr*PP/(sqrt(SS)+epsilon)
36 //sqrt(SS)
37 fsqrt.s ft3, ft3
38 //ans + epsilon
39 fadd.s ft3, ft3, fs6
40 //PP / ans

```

```

41 |     fdiv.s ft2, ft2, ft3
42 | //0 =- (lr*ans) + 0
43 |     fnmsub.s fa0, fs0, ft2, fa0
44 |
45 | //---- finish
46 |     jr a0

```

Luego, para cada uno de los parámetros de la red se carga en el registro `fa0` el valor del parámetro, en `fa1` su gradiente acumulado y en `fa2` y `fa3` el valor de P y S, respectivamente, del parámetro. Además de eso se carga previamente en `fs0` el *learning rate* (0,005), en `fs1` y `fs2` los valores de $\beta_1 = 0,9$ y $\beta_2 = 0,999$, respectivamente, en `fs3` y `fs4` los valores acumulados de $1 - \beta_1^t$ y $1 - \beta_2^t$ (con t = época de entrenamiento actual), en `fs5` el valor a dividir los gradientes para calcular el promedio de los gradientes acumulados (3342 para los parámetros de las capas *FC*, 33420 para los de la red *LSTM*) y, finalmente, en `fs4` un épsilon correspondiente al valor de punto flotante más pequeño posible, para evitar divisiones por cero. Esto es entonces realizado por el fragmento de código *Listing 4.12*, en donde las últimas 9 líneas de código son repetidas para cada uno de los parámetros de la red.

Listing 4.12: Fragmento de código responsable de la actualización de parámetros utilizando el algoritmo Adam.

```

1 //-
2 //----- ADAM -----
3 //-
4 // 0 = parameter
5 //P = P * beta1 + (1-beta1)* dL/d0
6 //S = S * beta2 + (1-beta2)* dL/d0*dL/d0
7 //PP = P/(1- beta1^(t))
8 //SS = S/(1- beta2^(t))
9 //0 = 0 - lr*PP/sqrt(SS)
10
11 //load betas and learning rate
12 la t0, betas_and_others
13 //learning rate
14 flw fs0, 16(t0)
15 //betas
16 flw fs1, 0(t0)//beta1
17 flw fs2, 4(t0)//beta2
18
19 flw fs3, 8(t0)//beta1^(t)
20 fnuls fs3, fs3, fs1
21 fsw fs3, 8(t0)//store for t+1
22 fsub.s fs3, fs11, fs3 //1-beta1^t
23
24 flw fs4, 12(t0)//beta2^(t)
25 fnuls fs4, fs4, fs2
26 fsw fs4, 12(t0)//store for t+1
27 fsub.s fs4, fs11, fs4 //1-beta2^t
28
29 //other floats used for division
30 flw fs5, 20(t0)//3342.0
31 //flw fs6, 20(t0)//10.0
32
33 //load an epsilon to avoid division by zero
34 flw fs6, 28(t0)
35
36 //ft0 = zero, to set gradients after adam
37 fmvs.x ft0, x0
38
39
40 //-----fc
41 //a4 -> fc_weight_and_bias
42 //bias
43 flw fa0, 256(a4)
44

```

```

45   flw fa1, 1028(a4)
46   flw fa2, 1032(a4)
47   flw fa3, 1036(a4)
48   jal a0, adam_crit
49   fsw fa0, 256(a4)
50   fsw ft0, 1028(a4)//set gradient to x0
51   fsw fa2, 1032(a4)
52   fsw fa3, 1036(a4)
53
54 //REPEAT FOR ALL PARAMETERS

```

4.7.6. Entrenamiento y obtencion de resultados

Una vez actualizado todos los parámetros para una época, se vuelve a repetir el proceso completo por 220 épocas, ajustando desfases de punteros cada vez. Terminadas estas 220 épocas, se extraen los valores de los parámetros entrenados de memoria y se vuelve a trabajar sobre el primer código de la implementación de la ejecución de la red. Sobre este, se modifican los valores de los pesos y *biases* para esta vez ejecutar la red con los parámetros entrenados en *RISC-V* y así obtener predicciones y comprobar la capacidad de entrenamiento de la implementación realizada.

4.8. Comparaciones de funcionamiento

A medida que se finalizan las distintas implementaciones, se realizan pruebas de funcionamiento, en donde se obtienen las predicciones de cada una de las redes y se comparan entre ellas para comprobar el buen funcionamiento de cada implementación. Específicamente, primero se realiza un análisis del funcionamiento de la red en *Python*, para luego comparar el funcionamiento de ambas implementaciones de *RISC-V* en función a esta.

Respecto a *RISC-V*, en ambos casos los resultados a comparar son obtenidos del código correspondiente a solo la ejecución de la red, en donde para probar el funcionamiento de este se utilizan parámetros (esto es, los pesos y *biases* correspondientes) pre-entrenados por la red en *Python*. Luego, una vez asegurado un comportamiento apropiado de la ejecución de la red en *RISC-V* y, posteriormente, habiendo implementado en un segundo código el entrenamiento de esta, se comprueba el funcionamiento de este último realizando el entrenamiento la red en *RISC-V* y cargando los parámetros obtenidos sobre la primera implementación, con tal de obtener predicciones con estos nuevos parámetros.

4.9. Mediciones de tiempo

Una vez comprobado el funcionamiento de los códigos implementados, se pasa a realizar unas últimas mediciones de tiempo, con el propósito de comparar la eficiencia de estas implementaciones.

4.9.1. *Python*: Mediciones en *CPU* y *GPU*

Metodología

Para las mediciones de tiempos en *CPU* y *GPU*, se utiliza la implementación realizada en *Python*, midiendo directamente desde *Google Colab* el tiempo de ejecución y entrenamiento de la red implementada. Para esto, se entrena la red desde cero 10 veces y, posteriormente, se ejecuta la red utilizando el conjunto completo de datos 10 veces, comparando el tiempo de inicio versus el tiempo final para realizar el cálculo de tiempo. A partir de esto se obtiene un tiempo mínimo, máximo y promedio para ambos casos.

Parámetros de *CPU* y *GPU*

Aunque *Google Colab* no siempre entrega los mismos recursos entre distintas “sesiones de uso”, estos recursos se mantienen constantes en una misma sesión, y es entonces posible saber exactamente cual hardware está siendo utilizado. Esto se logra a través de los comandos `!cat /proc/cpuinfo` para la *CPU* y `!nvidia-smi -q` para la *GPU*

La *CPU* utilizada es un procesador Intel(R) Xeon. Esta trabaja a una frecuencia de 2.3GHz, posee un cache de 46MB y un solo núcleo, el cual corre un máximo de 2 *Threads*.

La *GPU* Utilizada es un procesador NVIDIA Tesla K80. Esta trabaja a una frecuencia de aproximadamente 2.5GHz, 24GB de memoria GDDR5 VRAM y 4992 núcleos[22].

4.9.2. RISC-V

Metodología

Como se mencionó previamente, para las mediciones de tiempo de las implementaciones en *RISC-V* se utiliza el simulador *Gem5*. Los parámetros utilizados para la medición se ajustan a la placa de SiFive *HiFive Unleashed*, la cual posee un *SoC* U-54, sobre el cual se diseñaron los programas. Esta placa posee una memoria de 8MB, un cache L1 con 16KB de memoria de instrucciones y 16KB para datos y un cache L2 de 128KB.

Parámetros de Medición

La simulación en *Gem5* fue realizada utilizando las configuraciones del modo SE por defecto utilizando una sola *CPU*, explicitando las características previas y fijando la frecuencia de relojes del sistema y *CPU* en 2.5GHz, con el propósito de tener una frecuencia comparable a las mediciones de *CPU* y *GPU*. Se realizan simulaciones utilizando los tres distintos tipos de *CPU* mencionados en el marco teórico: *TimingSimpleCPU*, *MinorCPU* y *DerivO3CPU*. Aunque el modelo de *MinorCPU* es más cercano a nuestro punto de referencia respecto

al hardware especificado anteriormente, se realizan mediciones sobre estos 3 modelos para obtener resultados más completos

A partir de esto el programa entrega, entre otros datos, el tiempo de simulación, el cual consiste en el tiempo que demoró el programa en ejecutarse bajo los parámetros especificados. Este tiempo sea el utilizado para las comparaciones.

Capítulo 5

Resultados y Análisis

A continuación se presentan los resultados obtenidos del trabajo, comenzando primero con la implementación en *Python*, la cual es utilizada como punto de referencia, para luego entrar en los resultados obtenidos por las implementaciones de la red en *RISC-V* y comparar estos con los resultados previos en *Python*.

5.1. Resultados de *Python*

5.1.1. Funcionamiento

Como fue mencionado previamente, se realiza una implementación de la red a utilizar en *Python* no solo para obtener los tiempos, sino que para verificar que la estructura de la red utilizada sea suficientemente buena. Esto implica que la estructura de la red sea capaz de, a través de su entrenamiento, poder realizar predicciones que se ajusten a los datos reales con un cierto grado mínimo de certeza.

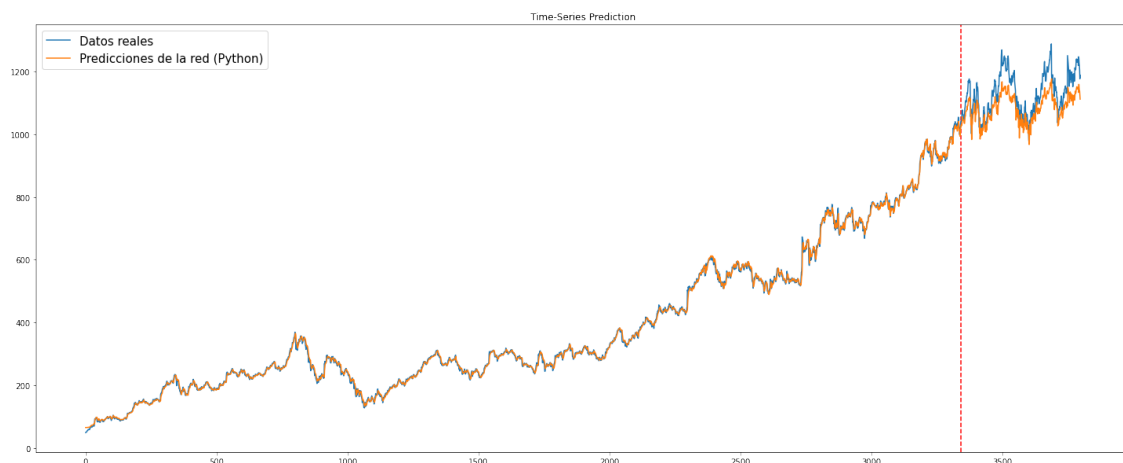


Figura 5.1: Predicciones de la red implementada en *Python* vs. datos reales.



Figura 5.2: Predicciones de la red implementada en *Python* vs. datos reales, para los datos del conjunto validación.

Como se mencionaba previamente en la metodología, se puede observar en los resultados obtenidos en las Figuras 5.1 y 5.2, las predicciones realizadas por la red logran ajustarse con un cierto grado a la forma de los datos reales. Se obtiene además un error *RMSE* de 0.04348 en el conjunto de validación.

Aunque las predicciones tienden a tener una forma similar a los datos reales, el error identificable en la Figura 5.2 no es menor, además de existir un desfase temporal en donde las predicciones , finalmente, indican resultados ya ocurridos, con lo que esta red no se podría considerar una buena implementación para su uso en la realidad.

Sin embargo, el objetivo de esta memoria no consiste en obtener el mejor modelo predictivo para los datos utilizados (predicción de la bolsa de valores), sino que realizar comparaciones de funcionamiento al realizar la misma implementación en *RISC-V*. Es por esto que, aunque el modelo no se ajusta perfectamente a la realidad, ya sea por un entrenamiento no ideal (se entrena por 220 épocas fijas para obtener medidas consistentes a costa de sobre-ajustarse a los datos de entrenamiento) o, simplemente, por la dificultad de realizar predicciones sobre este tipo de información (es extremadamente difícil definir un patrón de la bolsa de valores sin considerar factores externos al historial valórico de esta), se considera que el comportamiento obtenido de la red es suficientemente satisfactorio como para poder distinguir un ajuste sobre los datos de entrenamiento (con lo que es posible afirmar si la misma implementación en *RISC-V* posee un funcionamiento correcto) y poder realizar medidas de tiempo sobre esta red.

5.1.2. Tiempos Medidos

Los tiempos obtenidos a partir de las mediciones en *Python* pueden observarse en la tabla 5.1. Como es de esperarse, la utilización de una *GPU* acelera considerablemente el funcionamiento de la red neuronal, tanto en entrenamiento como ejecución.

	CPU		GPU	
Tiempo	Entrenamiento	Ejecución	Entrenamiento	Ejecución
Promedio	5.54273152 [s]	0.02914178 [s]	1.82004334 [s]	0.00268528 [s]
Mínimo	5.44781661 [s]	0.02470827 [s]	1.80727624 [s]	0.00162029 [s]
Máximo	5.80476546 [s]	0.03463578 [s]	1.83167386 [s]	0.00499391 [s]

Tabla 5.1: Resultados de mediciones de tiempo para la implementación en *Python*.

	RISC-V	
CPU	Entrenamiento	Ejecución
SimpleCPU	19.08436743 [s]	0.04687732 [s]
MinorCPU	10.82745946 [s]	0.02224435 [s]
DerivO3CPU	-	0.00658411 [s]

Tabla 5.2: Resultados de mediciones de tiempo para la implementaciones en *RISC-V*.

5.2. Resultados *RISC-V*

5.2.1. Funcionamiento

Como se mencionó previamente, se realizan dos implementaciones de la red, donde la primera consiste solamente en la ejecución de la red con *pesos* y *biases* pre-entrenados en *Python*, mientras que la segunda corresponde al entrenamiento de la red.

Ejecución con parámetros pre-entrenados

Para comprobar el funcionamiento de la ejecución de la red, se compara las predicciones de esta respecto a los resultados en *Python* y los datos reales, utilizando los mismos parámetros de la implementación entrenada en *Python*. Con esto se obtienen las Figuras 5.3 y 5.4, donde la nueva línea verde corresponde a la predicciones realizadas en *RISC-V*.

Como se puede observar, las predicciones obtenidas por la red implementada en *RISC-V* son notablemente similares a la red de *Python* tanto en el conjunto de entrenamiento como validación, con la diferencia de tener un desfase aún mayor que la red en *Python* respecto a los datos reales, evidenciado aun más por el error *RMSE* de 0.06461 obtenido (en comparación al 0.04348 de *Python*). Este desfase se puede atribuir a las funciones trigonométricas debido a que, con lo que concierne a funcionamiento, estas funciones son lo único que intencionalmente difiere entre la implementación en *Python* y *RISC-V*. A pesar de este mayor error presente, se puede observar como de todas formas la implementación en *RISC-V* logra ajustar sus predicciones a la forma de los datos reales, con lo que se comprueba su funcionamiento esperado.



Figura 5.3: Predicciones de la red implementada en *RISC-V* con pesos pre-entrenados, en comparación con los datos reales y la implementación en *Python*.

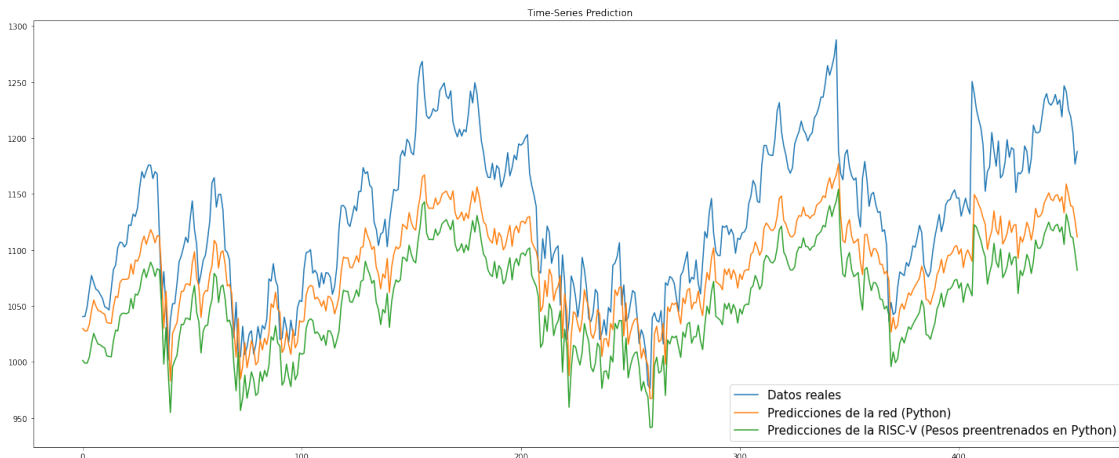


Figura 5.4: Predicciones de la red implementada en *RISC-V* con pesos pre-entrenados, en comparación con los datos reales y la implementación en *Python*, para los datos del conjunto de validación.

Parámetros entrenados en *RISC-V*

Como se menciona en la metodología, para los siguientes resultados se vuelve a ejecutar la red anterior, esta vez habiendo realizado el entrenamiento de sus parámetros en *RISC-V*. A partir de esto se obtienen los resultados de las tablas 5.5 y 5.6, con las nuevas predicciones representadas por la línea roja.

Los resultados obtenidos logran comprobar que es posible entrenar de forma apropiada una red neuronal en *RISC-V*. Es más, debido a que el entrenamiento es realizado tomando en consideración las formas aproximadas de las funciones trigonométricas, este es capaz de compensar por su inexactitud, logrando ajustar los parámetros de la red de forma incluso ligeramente mejor que el entrenamiento en *Python*, obteniéndose un error *RMSE* de validación de 0.03451, aunque esta última diferencia respecto a *Python* podría variar dependiendo de los valores iniciales de los parámetros de la red antes de entrenar. A partir de esto se puede



Figura 5.5: Predicciones de la red implementada en *RISC-V* con pesos pre-entrenados, en comparación con los datos reales y la implementación en *Python*.

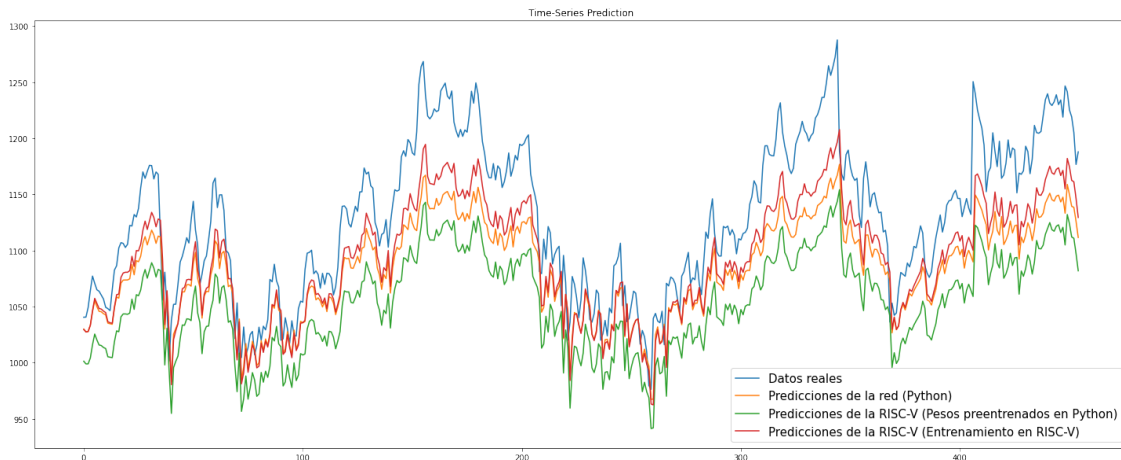


Figura 5.6: Predicciones de la red implementada en *RISC-V* con pesos pre-entrenados, en comparación con los datos reales y la implementación en *Python*, para los datos del conjunto de validación.

formar entonces la tabla de errores 5.3.

Implementación	Error RMSE
Python	0.04348
RISC-V (entrenado en Python)	0.06461
RISC-V (entrenado en RISC-V)	0.03451

Tabla 5.3: Errores *RMSE* obtenidos sobre el conjunto de validación para las distintas implementaciones.

5.2.2. Tiempos Medidos

Habiendo comprobado el funcionamiento de ambas implementaciones, se realizan las simulaciones en *Gem5* mencionadas previamente, obteniéndose los resultados de la tabla 5.2. Lamentablemente, por problemas en el simulador, no fue posible medir el tiempo para la implementación del entrenamiento para una *CPU* del tipo *Out-of-order*.

Como es de esperar, los tiempos obtenidos para *SimpleCPU*, la cual no trabaja con *pipeline*, son notablemente más lentos incluso que una *CPU* para la red en *Python*.

Por el otro lado, la simulación en *MinorCPU* (*pipeline in-order*) posee tiempos más comparables con una *CPU* en *Python*, donde para *RISC-V*, aunque en el entrenamiento sigue siendo más lento, se obtiene un tiempo ligeramente más rápido en la ejecución. Finalmente, para la simulación de *DerivO3CPU* (*pipeline out-of-order*) se logra obtener un tiempo considerablemente más rápido, debido a la capacidad de este tipo de procesador de utilizar recursos a medida que estos se encuentran disponibles, de cierta forma acercándose un poco a lo que podría ser una implementación con múltiples *threads/cores*. Aunque no se lograron obtener medidas para este último modelo respecto al entrenamiento, se estima que el tiempo hubiera sido comparable, e incluso más rápido a los tiempos obtenidos para una *CPU* en *Python*.

A pesar de lo anterior, se puede observar como el uso de una *GPU* sigue siendo considerablemente más rápido tanto en entrenamiento como ejecución de la red neuronal, llegando a ser hasta casi 10 veces más rápida, tanto en entrenamiento como ejecución, en comparación con *MinorCPU* y en promedio aproximadamente 3 veces más rápida para la ejecución de la red en comparación con *DerivO3CPU*.

Capítulo 6

Conclusiones

Para este trabajo se implementó de forma satisfactoria una red neuronal recurrente *LSTM* utilizando la *ISA* de *RISC-V*, en donde a través de la implementación de su entrenamiento y ejecución, permite funcionar de forma similar a una implementación realizada en el lenguaje de mayor nivel *Python*, pudiendo ser posible entrenar esta red a partir de un conjunto de datos de valores de la bolsa para posteriormente obtener predicciones de esta.

Respecto a la eficiencia de las implementaciones realizadas en función a la velocidad de estas, la implementación de la red en *RISC-V* logra obtener tiempos cercanos a la ejecución en una *CPU*. Sin embargo la utilización del procesador *GPU* sigue siendo considerablemente más eficiente. Este resultado se debe principalmente a que: las implementaciones realizadas en *RISC-V* son procesadas en un solo procesador, debido a que no se utilizan instrucciones atómicas ni *multi-threading* para las implementaciones, pues el manejo de esto quedaba fuera del alcance de este trabajo.

A partir de los resultados obtenidos se considera como una decisión factible la futura exploración de la *ISA* de *RISC-V* para el área de inteligencia artificial, al ser capaz de ser utilizada para el funcionamiento de redes neuronales.

6.1. Trabajo Futuro

Una opción de trabajo futuro consiste en la implementación de instrucciones atómicas que posee la *ISA*. La integración de estas instrucciones, así como el uso de hardware capaz de procesar múltiples *threads*, puede llegar a obtener resultados los cuales lograrían competir con aquellos obtenibles en una *GPU*.

Además de esto, como trabajo futuro está la opción de aprovechar la capacidad particular de *RISC-V* de crear instrucciones personalizadas, las cuales han demostrado [16] reducir considerablemente el número de instrucciones necesarias al momento de trabajar con redes neuronales, reduciendo así los tiempos de estos.

Bibliografía

- [1] Christopher Olah. Understanding lstm networks. URL: <http://colah.github.io/posts/2015-08-Understanding-LSTMs/>.
- [2] Md. Arif Istiak Sunny, Mirza Mohd Shahriar Maswood, and Abdullah G. Alharbi. Deep learning-based stock price prediction using lstm and bi-directional lstm model. In *2020 2nd Novel Intelligent and Leading Emerging Sciences Conference (NILES)*, pages 87–92, 2020. doi:10.1109/NILES50944.2020.9257950.
- [3] Arne Holst. Topic: Smart home, Apr 2021. URL: [https://www.statista.com/topics/2430/smart-homes/#:~:text=The%20number%20of%20smart%20homes%20is%20predicted%20to%20double%20by%2024](https://www.statista.com/topics/2430/smart-homes/#:~:text=The%20number%20of%20smart%20homes%20is%20predicted%20to%20double%20by%202024).
- [4] Alex Graves, Abdel-rahman Mohamed, and Geoffrey Hinton. Speech recognition with deep recurrent neural networks. In *2013 IEEE International Conference on Acoustics, Speech and Signal Processing*, pages 6645–6649, 2013. doi:10.1109/ICASSP.2013.6638947.
- [5] Haşim Sak, Andrew Senior, and Françoise Beaufays. Long short-term memory based recurrent neural network architectures for large vocabulary speech recognition, Feb 2014. URL: <https://arxiv.org/abs/1402.1128>.
- [6] Jeremy Appleyard, Tomas Kociský, and Phil Blunsom. Optimizing performance of recurrent neural networks on gpus, Apr 2016. URL: <https://arxiv.org/abs/1604.01946>.
- [7] Jason Dsouza. What is a gpu and do you need one in deep learning?, Apr 2020. URL: <https://towardsdatascience.com/what-is-a-gpu-and-do-you-need-one-in-deep-learning-718b9597aa0d>.
- [8] Nipa Chowdhury and Mohammod Abul kashem. A comparative analysis of feed-forward neural network recurrent neural network to detect intrusion. In *2008 International Conference on Electrical and Computer Engineering*, pages 488–492, 2008. doi:10.1109/ICECE.2008.4769258.
- [9] Shell Waterman. Design of the risc-v instruction set architecture, Sep 2016. URL: <https://escholarship.org/uc/item/7zj0b3m7>.
- [10] Codasip. Creating domain-specific processors using custom risc-v isa instructions, Sep 2020. URL: <https://codasip.com/2020/09/23/creating-domain-specific-processors-using-custom-risc-v-isa-instructions/>.
- [11] Freedom Studio by SiFive [Online]. URL: <https://www.sifive.com/software>.

- [12] Gem5 official website [Online]. URL: <https://www.gem5.org/>.
- [13] José Manuel Giralt Álvarez. Desarrollo de técnicas de procesamiento paralelo a nivel de lenguaje assembler para el procesador risc-v. URL: <https://repositorio.uchile.cl/handle/2250/181127>.
- [14] Gem5 wiki: Documentación. URL: <http://www.m5sim.org/Documentation>.
- [15] Sashank J. Reddi, Satyen Kale, and Sanjiv Kumar. On the convergence of adam and beyond. In *International Conference on Learning Representations*, 2018. URL: <https://openreview.net/forum?id=ryQu7f-RZ>.
- [16] Renzo Andri, Tomas Henriksson, and Luca Benini. Extending the risc-v isa for efficient rnn-based 5g radio resource management. In *2020 57th ACM/IEEE Design Automation Conference (DAC)*, pages 1–6, 2020. doi:10.1109/DAC18072.2020.9218496.
- [17] Che-Wei Lin and Jeen-Shing Wang. A digital circuit design of hyperbolic tangent sigmoid function for neural networks. In *2008 IEEE International Symposium on Circuits and Systems*, pages 856–859, 2008. doi:10.1109/ISCAS.2008.4541553.
- [18] Tomás Letelier. Notebook de google collaboratory utilizado para el trabajo [online]. URL: <https://colab.research.google.com/drive/1qcFZK38pLHJAFhZVfIffCCRBHzvMVMiQ?usp=sharing>.
- [19] “Yahoo! Finance”. Google stocks historical data [online]. URL: <https://finance.yahoo.com/quote/GOOG/history?p=GOOG>.
- [20] HiFive Unleashed by SiFive [Online]. URL: <https://www.sifive.com/boards/hifive-unleashed>.
- [21] Wikipedia. “loop unrolling” [online]. URL: https://en.wikipedia.org/wiki/Loop_unrolling.
- [22] NVIDIA. Procesador tesla k80 [online]. URL: <https://www.nvidia.com/es-la/data-center/tesla-k80/>.
- [23] RISC-V. Isa reference card [online]. URL: <https://www.cl.cam.ac.uk/teaching/1617/ECAD+Arch/files/docs/RISCVGreenCardv8-20151013.pdf>.
- [24] Tomás Letelier. Github con los códigos completos [online]. URL: https://github.com/Tomz295/Trabajo_Memoria_LSTM_Riscv.

ANEXO

Código de Ejecución de la red

Se presenta en el *Listing 6.1* a continuación el código correspondiente a la ejecución de la red. Ciertas partes han sido cortadas/abreviadas para una mejor lectura. El código completo se encuentra en [24].

Listing 6.1: Código abreviado de la ejecución de la red

```
1 .section .data
2 //Data to feed the neural net
3 //float format was too heavy to copy-paste, had to be copied as HEX
4 InputXData:
5 .word 0xbfa7dc8,0xbfa6a4eb,0xbfa77abb,0xbfa6547d,[...];
6
7
8
9 //floats of all weights for the input (Wx)
10 weights_floats_input:
11 .float -0.35827997, 0.05938131, 0.18730448, -0.013169811, -0.23521963;
12 .float -0.46681443, 0.08964378, 0.20164162, -0.31895328, -0.23556578;
13 .float 0.3040431, 0.17712256, -0.3461838, 0.36348435, 0.47444913;
14 .float -0.17302854, 0.18428648, 0.29201257, 0.09435762, -0.00930144;
15
16 .float 0.44754723, -0.08066094, 0.4581912, 0.52598375, -0.42307752;
17 .float 0.2155123, 0.26821846, 0.42700484, -0.054282337, 0.31792504;
18 .float -0.2386188, -0.15138388, -0.069781214, 0.0038194975, 0.11908612;
19 .float 0.25664034, 0.104205206, 0.1354457, 0.15202136, -0.16998766;
20
21 .float 0.13092172, 0.23487923, -0.39323586, 0.29078865, 0.29866523;
22 .float -0.44483444, 0.05683437, 0.16578467, 0.39044386, 0.24891873;
23 .float 0.12589498, -0.52437997, 0.1811092, 0.3858903, 0.41356215;
24 .float 0.39401585, -0.29017258, 0.26738435, -0.31785884, 0.19933777;
25
26 .float 0.036730576, -0.28680432, -0.3026414, 0.1497047, 0.5197461;
27 .float -0.230515, -0.4806044, -0.28860497, 0.17460811, -0.10117014;
28 .float -0.26617596, 0.14041893, 0.0045193485, 0.5754174, -0.022015592;
29 .float -0.13543461, 0.29685494, -0.22504038, 0.019144073, 0.06714319;
30
31 //floats of all weights for the hidden state (Wh)
32 weights_floats_hidden:
33 .float 0.41882938, 0.10439411, 0.0028533696, -0.19168808;
34 .float 0.15462692, 0.12448547, 0.044238944, -0.45048884;
35 .float -0.4734179, 0.09983343, -0.40681022, 0.3505679;
36 .float -0.0017518946, 0.12710464, 0.41552475, 0.123120986;
37
38 .float 0.17878428, 0.17363349, -0.40339258, 0.18231148;
39 .float -0.60326785, 0.50398374, -0.27074966, 0.2935585;
40 .float 0.028193017, 0.06583899, -0.13050707, -0.3397992;
41 .float -0.3340697, -0.14149238, 0.24763599, 0.19448255;
42
43 .float 0.23519517, -0.43452188, -0.09191109, 0.33462086;
44 .float -0.25800848, -0.37493372, 0.31577832, 0.2242885;
```

```

45 .float -0.26518077, -0.25358906, -0.5422076, 0.012269103;
46 .float 0.34050235, -0.3401385, 0.12278287, 0.303648;
47
48 .float 0.4314578, 0.36833993, 0.3307672, -0.20069674;
49 .float 0.0196411, 0.34530383, -0.2386732, 0.28658998;
50 .float 0.10797291, -0.5087089, -0.26668712, -0.052001294;
51 .float -0.45437226, 0.4973123, -0.14873752, -0.10845318;
52
53 //floats of all weights for the input (bx)
54 biases_floats_input:
55 .float 0.44384044, -0.14330973, 0.35945147, -0.47605035;
56
57 .float -0.12206475, -0.3062925, 0.27499866, 0.04957947;
58
59 .float 0.4390355, -0.50898594, -0.13655037, 0.1227533;
60
61 .float 0.2787063, 0.15745397, -0.09274792, 0.40270627;
62
63 //floats of all weights for the hidden state (bh)
64 biases_floats_hidden:
65 .float -0.180783, 0.35506147, -0.48006466, 0.39342412;
66
67 .float 0.4363031, -0.41448334, 0.37773272, 0.08724673;
68
69 .float 0.0033176043, -0.29198974, 0.16630256, 0.50002426;
70
71 .float 0.11912934, 0.4607911, 0.28142205, 0.21240686;
72
73 //first Fully Connected Layer weights and biases
74 //4 columns (numbers) per row
75 fc_1_weight:
76 .float -0.14141054, 0.16883655, -0.39145327, [...];
77 //1 column per row
78 fc_1_bias:
79 .float 0.4468142, 0.017939115, -0.49321836, [...];
80
81 //second Fully Connected Layer weights and bias
82 fc_weight_and_bias:
83 //64 weights
84 .float -0.08772384, -0.062091853, -0.090731055, [...];
85 //bias located at address+256 (4*64)
86 .float 0.030288255;
87
88
89
90
91 //FC_1 layer values. 64 floats
92 fc_1_values:
93 .float 0.0,0.0,0.0,0.0,0.0,0.0,0.0,0.0,[...],0.0;\\ total of 64 "0.0"s
94
95
96 floats_ht:
97 .float 0.0, 0.0, 0.0, 0.0;//t=1
98 .float 0.0, 0.0, 0.0, 0.0;//t=2
99 .float 0.0, 0.0, 0.0, 0.0;//t=3
100 .float 0.0, 0.0, 0.0, 0.0;//t=4
101 .float 0.0, 0.0, 0.0, 0.0;//t=5
102 .float 0.0, 0.0, 0.0, 0.0;//t=6
103 .float 0.0, 0.0, 0.0, 0.0;//t=7
104 .float 0.0, 0.0, 0.0, 0.0;//t=8
105 .float 0.0, 0.0, 0.0, 0.0;//t=9
106 .float 0.0, 0.0, 0.0, 0.0;//t=10
107
108 floats_ct:
109 .float 0.0, 0.0, 0.0, 0.0;
110
111 float_final_output:
112 .float 0.0,0.0,0.0,0.0,0.0,0.0,0.0,0.0,[...],0.0;\\ total of 3797 "0.0"s
113 //numer one, used in fs11
114 float_one:
115     .float 1.0;

```

```

116 //numbers used in tanh
117 tanh_floats:
118     .float 2.0, 0.25;
120
121 //numbers used in sigmoid
122 sig_floats:
123     .float 4.0, 0.5, 0.25, 0.03125;
124
125
126 .section .text
127
128 .global main
129
130 //register use:
131 /*
132 s0      -> Input data pointer
133 s1 - s4 -> Weights and biases pointers
134 s5 & s6 -> ht & ct pointers
135 s7 - s10-> FREE
136 s11     -> FeedForward loop counter
137
138 a0      -> jal/ret adress
139 a1 - a3 -> FC_1 address (only used when calculating FC)
140 a4      -> FREE
141 a5      -> Results/Outputs Pointer
142 a6      -> LSTM [i] offset counter
143 a7      -> LSTM time step counter
144
145
146
147
148 */
149 #run_code:
150 main:
151
152     //pointer to the output of the network (a5)
153     la a5, float_final_output
154
155     //load float 1.0 into register fs11 for future use
156     la t0, float_one;
157     flw fs11, 0(t0); //fs11 = 1.0
158
159     // a0 function return adress
160
161     //input data pointer
162     la s0, InputXData
163 /*
164     //Weights and biases
165     la s1, weights_floats_input
166     la s2, weights_floats_hidden
167     la s3, biases_floats_input
168     la s4, biases_floats_hidden
169 */
170 /*
171     //ht & ct
172     la s5, floats_ht
173     la s6, floats_ct
174 */
175
176     //Feed Forward counter
177     //loop forward_pass_full_restart 3797 times
178     //exits on s11==0
179     li s11, 3797
180
181
182     forward_pass_full_restart:
183
184     //ht & ct
185     la s5, floats_ht
186     la s6, floats_ct

```

```

187
188 //reset ct with zeros
189 fmv.s.x ft0, x0
190
191 //ct
192 fsw ft0, 0(s6)
193 fsw ft0, 4(s6)
194 fsw ft0, 8(s6)
195 fsw ft0, 12(s6)
196
197
198 //timestep counter
199 //a7==0 indicates t=0 (ht = 0 & ct=0)
200 li a7, 0
201
202
203
204 forward_pass_loop:
205 //forward pass for a single time step
206 //ht is not needed the first pass
207
208
209 //reset offset/counter
210 //a6 counts [i] loops (from 4 to 0)
211 li a6, 4
212
213 //Reset weights and biases pointers
214 la s1, weights_floats_input
215 la s2, weights_floats_hidden
216 la s3, biases_floats_input
217 la s4, biases_floats_hidden
218
219
220 //Load x into float registers
221 //x = [fs4 ... fs8]
222 flw fs4, 0(s0)
223 flw fs5, 4(s0)
224 flw fs6, 8(s0)
225 flw fs7, 12(s0)
226 flw fs8, 16(s0)
227
228
229
230 forward_pass_matrix_mul:
231 //loops while a6 > 0
232
233 //---- fa1 -> i
234
235 //matrix multiplication for i, f, g & o
236 //ht vector stored as = [fs0 ... fs3]
237 //x vector stored in x = [fs4 ... fs8]
238 //Weights and biases must be the following (with proper offsets)
239 // s1, weights_floats_input
240 // s2, weights_floats_hidden
241 // s3, biases_floats_input
242 // s4, biases_floats_hidden
243 //if t=0 flag a7 is 0, else a7=1
244 // (skips Wh*h multiplications as h=0 when t=0)
245 //result is saved at fa6 to be used in tanh or sig functions
246
247 //Wxi * x
248 flw ft0, 0(s1)
249 fmuls fa6, ft0, fs4
250
251 flw ft0, 4(s1)
252 fmadd.s fa6, ft0, fs5 ,fa6
253
254 flw ft0, 8(s1)
255 fmadd.s fa6, ft0, fs6 ,fa6
256
257 flw ft0, 12(s1)

```

```

258     fmadd.s fa6, ft0, fs7 ,fa6
259
260     flw ft0, 16(s1)
261     fmadd.s fa6, ft0, fs8 ,fa6
262
263 //ans + bx
264     flw ft0, 0(s3)
265     fadd.s fa6, ft0, fa6
266
267 //t=0? (a7=0?) if so, skip Wh*h (h is 0)
268     beqz a7, mat_mul_skip_h_i
269
270 //ans + (Wh * h)
271     flw ft0, 0(s2)
272     fmadd.s fa6, ft0, fs0, fa6
273
274     flw ft0, 4(s2)
275     fmadd.s fa6, ft0, fs1, fa6
276
277     flw ft0, 8(s2)
278     fmadd.s fa6, ft0, fs2, fa6
279
280     flw ft0, 12(s2)
281     fmadd.s fa6, ft0, fs3, fa6
282
283     mat_mul_skip_h_i:
284 //ans + bh
285     flw ft0, 0(s4)
286     fadd.s fa6, ft0, fa6
287
288     jal a0, sig_fa6 //apply sigmoid
289     fmv.s fa1, fa7
290
291 //a7=0? if so, skip f
292     beqz a7, skip_f
293
294
295
296 //---- fa2 -> f
297 //Wxi * x
298     flw ft0, 80(s1)
299     fmul.s fa6, ft0, fs4
300
301     flw ft0, 84(s1)
302     fmadd.s fa6, ft0, fs5 ,fa6
303
304     flw ft0, 88(s1)
305     fmadd.s fa6, ft0, fs6 ,fa6
306
307     flw ft0, 92(s1)
308     fmadd.s fa6, ft0, fs7 ,fa6
309
310     flw ft0, 96(s1)
311     fmadd.s fa6, ft0, fs8 ,fa6
312
313 //ans + bx
314     flw ft0, 16(s3)
315     fadd.s fa6, ft0, fa6
316
317 //t=0? (a7=0?) if so, skip Wh*h (h is 0)
318     beqz a7, mat_mul_skip_h_f
319
320 //ans + (Wh * h)
321     flw ft0, 64(s2)
322     fmadd.s fa6, ft0, fs0, fa6
323
324     flw ft0, 68(s2)
325     fmadd.s fa6, ft0, fs1, fa6
326
327     flw ft0, 72(s2)
328     fmadd.s fa6, ft0, fs2, fa6

```

```

329
330     flw ft0, 76(s2)
331     fmadd.s fa6, ft0, fs3, fa6
332
333     mat_mul_skip_h_f:
334     //ans + bh
335     flw ft0, 16(s4)
336     fadd.s fa6, ft0, fa6
337
338
339     jal a0, sig_fa6 //apply sigmoid
340     fmv.s fa2, fa7
341
342
343     skip_f:
344     //---- fa3 -> g
345     //Wxi * x
346     flw ft0, 160(s1)
347     fmuls fa6, ft0, fs4
348
349     flw ft0, 164(s1)
350     fmadd.s fa6, ft0, fs5 ,fa6
351
352     flw ft0, 168(s1)
353     fmadd.s fa6, ft0, fs6 ,fa6
354
355     flw ft0, 172(s1)
356     fmadd.s fa6, ft0, fs7 ,fa6
357
358     flw ft0, 176(s1)
359     fmadd.s fa6, ft0, fs8 ,fa6
360
361     //ans + bx
362     flw ft0, 32(s3)
363     fadd.s fa6, ft0, fa6
364
365     //t=0? (a7=0?) if so, skip Wh*h (h is 0)
366     beqz a7, mat_mul_skip_h_g
367
368     //ans + (Wh * h)
369     flw ft0, 128(s2)
370     fmadd.s fa6, ft0, fs0, fa6
371
372     flw ft0, 132(s2)
373     fmadd.s fa6, ft0, fs1, fa6
374
375     flw ft0, 136(s2)
376     fmadd.s fa6, ft0, fs2, fa6
377
378     flw ft0, 140(s2)
379     fmadd.s fa6, ft0, fs3, fa6
380
381     mat_mul_skip_h_g:
382     //ans + bh
383     flw ft0, 32(s4)
384     fadd.s fa6, ft0, fa6
385
386     jal a0, tanh_fa6 //apply tanh
387     fmv.s fa3, fa7
388
389
390
391     //---- fa4 -> o
392     //Wxi * x
393     flw ft0, 240(s1)
394     fmuls fa6, ft0, fs4
395
396     flw ft0, 244(s1)
397     fmadd.s fa6, ft0, fs5 ,fa6
398
399     flw ft0, 248(s1)

```

```

400    fmadd.s fa6, ft0, fs6 ,fa6
401
402    flw ft0, 252(s1)
403    fmadd.s fa6, ft0, fs7 ,fa6
404
405    flw ft0, 256(s1)
406    fmadd.s fa6, ft0, fs8 ,fa6
407
408    //ans + bx
409    flw ft0, 48(s3)
410    fadd.s fa6, ft0, fa6
411
412    //t=0? (a7=0?) if so, skip Wh*h (h is 0)
413    beqz a7, mat_mul_skip_h_o
414
415    //ans + (Wh * h)
416    flw ft0, 192(s2)
417    fmadd.s fa6, ft0, fs0, fa6
418
419    flw ft0, 196(s2)
420    fmadd.s fa6, ft0, fs1, fa6
421
422    flw ft0, 200(s2)
423    fmadd.s fa6, ft0, fs2, fa6
424
425    flw ft0, 204(s2)
426    fmadd.s fa6, ft0, fs3, fa6
427
428    mat_mul_skip_h_o:
429    //ans + bh
430    flw ft0, 48(s4)
431    fadd.s fa6, ft0, fa6
432
433
434    jal a0, sig_fa6 //apply sigmoid
435    fmv.s fa4, fa7
436
437    //fa1 -> i
438    //fa2 -> f
439    //fa3 -> g
440    //fa4 -> o
441    //calculate ct = f * ct-1 + i * g
442    // ct = fa2 * 0(s6) + fa1 * fa3
443
444    //i * g
445    fmul.s fa6, fa1, fa3
446
447    // if a7=0 -> ct-1 = 0 -> ct = fa1 * fa3
448    beqz a7, skip_ct1_mul
449
450    //else: ct-1 * f + ans
451    flw ft1, 0(s6)
452    fmadd.s fa6, ft1, fa2, fa6
453
454    skip_ct1_mul:
455    //store ct
456    fsw fa6, 0(s6)
457
458    //ht+t = o * tanh(ct)
459    jal a0, tanh_faq
460    //fa7 = tanh(ct) * o
461    fmul.s fa7, fa7, fa4
462    //store ht+1
463    fsw fa7, 0(s5)
464
465
466    //---- repeat for [i+1] ----
467    addi a6, a6, -1
468    beqz a6, end_index_loop
469
470    //reset and offset wieghts to the next row

```

```

471 addi s1, s1, 20
472 addi s2, s2, 16
473 //reset and offset biases to the next column
474 addi s3, s3, 4
475 addi s4, s4, 4
476
477 //offset ht+1 and ct to next number
478 addi s5, s5, 4
479 addi s6, s6, 4
480
481 j forward_pass_matrix_mul
482
483
484 end_index_loop:
485 //time step finished, move to next time step
486 //unless already done with 10 time steps -> check a7
487 addi a7, a7, 1
488 slti t0, a7, 10 //if a7 < 10 -> t0 = 1 -> not done yet
489 beqz t0, end_forward_pass_loop //t0 = 0 -> done with time steps, move on to FC
490
491 //else: start over with XData offset of 5 numbers (+20)
492 addi s0, s0, 20
493
494
495 //remove ht & ct offset
496 addi s5, s5, -12
497 addi s6, s6, -12
498
499 //Load/Reload ht into float registers
500 //ht = [fs0 ... fs3]
501 flw fs0, 0(s5)
502 flw fs1, 4(s5)
503 flw fs2, 8(s5)
504 flw fs3, 12(s5)
505
506
507 //and offset ht+1 to the next timestep "set"
508 addi s5, s5, 16 //(4 floats)
509
510
511 j forward_pass_loop //repeat one time step
512
513 end_forward_pass_loop:
514 //done with data on the LSTM
515 //do Fully Connected next
516
517 //remove ht offset and load floats
518 addi s5, s5, -12
519 //ht = [fs0 ... fs3]
520 flw fs0, 0(s5)
521 flw fs1, 4(s5)
522 flw fs2, 8(s5)
523 flw fs3, 12(s5)
524
525
526 //---- apply ReLu flag ----
527 //relu flag is used to skip the multiplication,
528 //instead of setting the number to zero (same result)
529 //flag is 1 if number is < 0 -> should skip multiplication
530 fmv.s.x ft3, x0 //set zero
531
532 //flags:
533 //fs0 -> t0
534 //fs2 -> t1
535 //fs2 -> t2
536 //fs3 -> t3
537 fle.s t0, fs0, ft3
538 fle.s t1, fs1, ft3
539 fle.s t2, fs2, ft3
540 fle.s t3, fs3, ft3
541

```

```

542 //addresses for fc_1 weights, biases and results
543 la a1, fc_1_weight
544 la a2, fc_1_bias
545 la a3, fc_1_values
546
547 //addresses for fc weights and bias
548 la a4, fc_weight_and_bias
549
550 //fa0 -> final output
551 flw fa0, 256(a4)
552
553 //Following code loop is unraveled to save 4*64 instructions
554 //it feeds ht into each fc_1 neuron, which then feeds into fc
555
556 -----
557 ----- "LOOP" START -----
558 -----
559
560 //0
561 flw ft0, 0(a2)
562
563 bnez t0, skip_0_0
564     flw ft1, 0(a1)
565     fmadd.s ft0, ft1, fs0, ft0
566 skip_0_0:
567
568 bnez t1, skip_1_0
569     flw ft1, 4(a1)
570     fmadd.s ft0, ft1, fs1, ft0
571 skip_1_0:
572
573 bnez t2, skip_2_0
574     flw ft1, 8(a1)
575     fmadd.s ft0, ft1, fs2, ft0
576 skip_2_0:
577
578 bnez t3, skip_3_0
579     flw ft1, 12(a1)
580     fmadd.s ft0, ft1, fs3, ft0
581 skip_3_0:
582
583 fsw ft0, 0(a3)
584
585 //relu, then feed to fc
586 fle.s t4, ft0, ft3//relu flag
587 bnez t4, skip_fc_0//if ft0<=0 then skip fmadd.s
588     flw ft1, 0(a4)
589     fmadd.s fa0, ft0, ft1, fa0
590 skip_fc_0:
591
592 //1
593 flw ft0, 4(a2)
594 bnez t0, skip_0_1
595     flw ft1, 16(a1)
596     fmadd.s ft0, ft1, fs0, ft0
597 skip_0_1:
598 bnez t1, skip_1_1
599     flw ft1, 20(a1)
600     fmadd.s ft0, ft1, fs1, ft0
601 skip_1_1:
602 bnez t2, skip_2_1
603     flw ft1, 24(a1)
604     fmadd.s ft0, ft1, fs2, ft0
605 skip_2_1:
606 bnez t3, skip_3_1
607     flw ft1, 28(a1)
608     fmadd.s ft0, ft1, fs3, ft0
609 skip_3_1:
610 fsw ft0, 4(a3)
611 fle.s t4, ft0, ft3
612 bnez t4, skip_fc_1

```

```

613     flw ft1, 4(a4)
614     fmadd.s fa0, ft0, ft1, fa0
615 skip_fc_1:
616
617
618 //-----
619 //THIS CODE REPEATS A TOTAL OF 64 TIMES
620 //REMOVED DUPLICATES 2 TO 61 FOR READABILITY
621 //-----
622
623 //62
624 flw ft0, 248(a2)
625 bnez t0, skip_0_62
626     flw ft1, 992(a1)
627     fmadd.s ft0, ft1, fs0, ft0
628 skip_0_62:
629 bnez t1, skip_1_62
630     flw ft1, 996(a1)
631     fmadd.s ft0, ft1, fs1, ft0
632 skip_1_62:
633 bnez t2, skip_2_62
634     flw ft1, 1000(a1)
635     fmadd.s ft0, ft1, fs2, ft0
636 skip_2_62:
637 bnez t3, skip_3_62
638     flw ft1, 1004(a1)
639     fmadd.s ft0, ft1, fs3, ft0
640 skip_3_62:
641 fsw ft0, 248(a3)
642 fles t4, ft0, ft3
643 bnez t4, skip_fc_62
644     flw ft1, 248(a4)
645     fmadd.s fa0, ft0, ft1, fa0
646 skip_fc_62:
647
648 //63
649 flw ft0, 252(a2)
650 bnez t0, skip_0_63
651     flw ft1, 1008(a1)
652     fmadd.s ft0, ft1, fs0, ft0
653 skip_0_63:
654 bnez t1, skip_1_63
655     flw ft1, 1012(a1)
656     fmadd.s ft0, ft1, fs1, ft0
657 skip_1_63:
658 bnez t2, skip_2_63
659     flw ft1, 1016(a1)
660     fmadd.s ft0, ft1, fs2, ft0
661 skip_2_63:
662 bnez t3, skip_3_63
663     flw ft1, 1020(a1)
664     fmadd.s ft0, ft1, fs3, ft0
665 skip_3_63:
666 fsw ft0, 252(a3)
667 fles t4, ft0, ft3
668 bnez t4, skip_fc_63
669     flw ft1, 252(a4)
670     fmadd.s fa0, ft0, ft1, fa0
671 skip_fc_63:
672
673
674
675 //-----
676 //----- "LOOP" END -----
677 //-----
678
679 fsw fa0, 0(a5)
680
681
682 //---- FORWARD PASS END ----
683 //restart, with input and output offset

```

```

684 //input(s0): go back 8 rows = -160
685 addi s0, s0, -160
686
687 //output(a5) offset -> 1 float = +4
688 addi a5, a5, 4
689
690 // "add" -1 to the FeedForward counter (s11)
691 //loop feed forward 3797 times
692 //repeat until counter reaches 0
693 addi s11, s11, -1
694
695 //if s11 != 0 -> repeat
696 bnez s11, forward_pass_full_restart
697
698
699 call exit
700
701
702
703
704 tanh_fa6:
705 //apply tanh(x) where x = fa6
706 //if -2 < x < 2 -> tanh = x - 0.25*x *sign(x)
707 //else tanh=sign(x)
708 //tanh result stored in fa7
709 //must be called with jal a0, tanh_fa6
710
711
712 //---- load address of floats to be used
713 la t1, tanh_floats
714
715 //---- load 2 in ft10 and check if abs(x)<2
716 flw ft10, 0(t1) //ft10 = 2
717 fabs.s ft11, fa6 //ft11 = abs(x)
718 flt.s t2, ft11, ft10 //t2 == 1 if |x|<2
719 beqz t2, tanh_is_not_in_curve // t2 ==0 -> skip to return sign(x)
720
721 //---- else: do x - 0.25*x *sign(x)
722 //x
723 fmul.s fa7, fa6, fa6
724 //ans*sign(x)
725 fsgnj.s fa7, fa7, fa6 //sign inject fa7(ans) with fa6(x) sign
726 //-(ans*0.25)+x
727 flw ft10, 4(t1); // ft10 = 0.25
728 fnmsub.s fa7, fa7, ft10, fa6
729
730 //---- finish
731 jr a0
732
733 //---- x < -2 or 2 < x
734 tanh_is_not_in_curve: //return sign
735 fsgnj.s fa7, fs11, fa6
736
737 jr a0
738 //---- end of tanh
739
740
741
742
743
744
745 sig_fa6:
746 //apply sigmoid(x) where x = fa6
747 //if x <= -4 -> sig = 0
748 // -4 < x < 4 -> sig = 0.5 + 0.25*x - 0.03125*x *sign(x)
749 // 4 <= x -> sig = 1
750 //sig result stored in fa7
751 //must be called with jal a0, sig_fa6
752
753
754 //---- load address of floats to be used

```

```

755 la t1, sig_floats
756
757 //---- load 4 and check if abs(x)<4
758 flw ft10, 0(t1) //ft10 = 4
759 fabs.s ft11, fa6 //ft11 = abs(x)
760 flt.s t2, ft11, ft10 //t2 == 1 if |x|<4
761 beqz t2, sig_is_not_in_curve // t2 ==0 -> skip to return 0 or 1
762
763 //---- sig = 0.5 + 0.25*x - 0.03125*x *sign(x)
764 //x
765 fnmul.s fa7, fa6, fa6
766 //ans*sign(x)
767 fsgnj.s fa7, fa7, fa6 //sign inject fa7(ans) with fa6(x) sign
768 //-(ans*0.03125)+0.5
769 flw ft10, 4(t1) // ft10 = 0.5
770 flw ft11, 12(t1) // ft11 = 0.03125
771 fnmsub.s fa7, fa7, ft11, ft10 //fa7 = -(fa7 * ft11) + ft10
772
773 //(0.25*x)+ans
774 flw ft10, 8(t1) // ft10 = 0.25
775 fmadd.s fa7, ft10, fa6, fa7 //fa7 = (fa7 * ft10) + fa7
776
777 //---- finish
778 jr a0
779
780 //---- x < -4 or 4 < x
781 sig_is_not_in_curve:
782 // 4 <= x?
783 flt.s t2, ft10, fa6 //t2==1 if 4<=x , else (x < -4) t2==0
784 fcvt.s.w fa7, t2 //fa7 = float(t2)
785
786 jr a0
787 //---- end of sigmoid

```

Código de Entrenamiento de la red

Se presenta en el *Listing 6.2* a continuación el código correspondiente al entrenamiento de la red. Ciertas partes han sido cortadas/abreviadas para una mejor lectura. El código completo se encuentra en [24].

Listing 6.2: Código abreviado del entrenamiento de la red

```

1 .section .data
2 //Data to feed the neural net
3 //float format was too heavy to copy-paste, had to be copied as HEX
4 InputXData:
5     .word 0xbfa7dc8,0xbfa6a4eb,0xbfa77abb,[...];
6 //Training data
7 OutputYData:
8     .word 0x0,0x3a25a235,0x3a7197af,0x3a72a5cc,[...];
9
10
11 //floats of all weights for the input (Wx)
12 weights_floats_input:
13     .float -0.4216829, -0.004383266, 0.123098135, -0.077561855, -0.29961163;
14     .float -0.47134632, 0.08512348, 0.1966759, -0.323861, -0.24047363;
15     .float 0.20856214, 0.08093691, -0.44261116, 0.26686895, 0.37783372;
16     .float -0.2566322, 0.10052627, 0.20792532, 0.01020056, -0.09345847;
17
18     .float 0.38641912, -0.14216578, 0.39630258, 0.46388924, -0.48517215;
19     .float 0.23581558, 0.2884431, 0.44685048, -0.034435213, 0.33777213;
20     .float -0.37306458, -0.28682595, -0.20564377, -0.13230413, -0.017037451;
21     .float 0.17520684, 0.022608936, 0.053577006, 0.07007998, -0.25192904;
22
23     .float 0.103973866, 0.20773745, -0.4210474, 0.26291317, 0.27078974;

```

```

24 .float -0.425669, 0.07602745, 0.18534493, 0.40995592, 0.26843077;
25 .float 0.2135818, -0.4413525, 0.26417184, 0.46630788, 0.49397957;
26 .float 0.2994073, -0.38495362, 0.17222542, -0.4131, 0.10409653;
27
28 .float -0.07575834, -0.39979917, -0.41603988, 0.03611195, 0.40615332;
29 .float -0.2240789, -0.4741977, -0.28268385, 0.1805619, -0.09521639;
30 .float -0.45738965, -0.051279545, -0.18734187, 0.3835225, -0.21391016;
31 .float -0.23530155, 0.19664788, -0.3255785, -0.08149612, -0.033497036;
32
33 //Gradient: offset 320
34 .float 0.0, 0.0, 0.0, 0.0, 0.0;//i
35 .float 0.0, 0.0, 0.0, 0.0, 0.0;
36 .float 0.0, 0.0, 0.0, 0.0, 0.0;
37 .float 0.0, 0.0, 0.0, 0.0, 0.0;
38
39 .float 0.0, 0.0, 0.0, 0.0, 0.0;//f
40 .float 0.0, 0.0, 0.0, 0.0, 0.0;
41 .float 0.0, 0.0, 0.0, 0.0, 0.0;
42 .float 0.0, 0.0, 0.0, 0.0, 0.0;
43
44 .float 0.0, 0.0, 0.0, 0.0, 0.0;//g
45 .float 0.0, 0.0, 0.0, 0.0, 0.0;
46 .float 0.0, 0.0, 0.0, 0.0, 0.0;
47 .float 0.0, 0.0, 0.0, 0.0, 0.0;
48
49 .float 0.0, 0.0, 0.0, 0.0, 0.0;//o
50 .float 0.0, 0.0, 0.0, 0.0, 0.0;
51 .float 0.0, 0.0, 0.0, 0.0, 0.0;
52 .float 0.0, 0.0, 0.0, 0.0, 0.0;
53
54 //P : off 640
55 .float 0.0, 0.0, 0.0, 0.0, 0.0;
56 .float 0.0, 0.0, 0.0, 0.0, 0.0;
57 .float 0.0, 0.0, 0.0, 0.0, 0.0;
58 .float 0.0, 0.0, 0.0, 0.0, 0.0;
59
60 .float 0.0, 0.0, 0.0, 0.0, 0.0;
61 .float 0.0, 0.0, 0.0, 0.0, 0.0;
62 .float 0.0, 0.0, 0.0, 0.0, 0.0;
63 .float 0.0, 0.0, 0.0, 0.0, 0.0;
64
65 .float 0.0, 0.0, 0.0, 0.0, 0.0;
66 .float 0.0, 0.0, 0.0, 0.0, 0.0;
67 .float 0.0, 0.0, 0.0, 0.0, 0.0;
68 .float 0.0, 0.0, 0.0, 0.0, 0.0;
69
70 .float 0.0, 0.0, 0.0, 0.0, 0.0;
71 .float 0.0, 0.0, 0.0, 0.0, 0.0;
72 .float 0.0, 0.0, 0.0, 0.0, 0.0;
73 .float 0.0, 0.0, 0.0, 0.0, 0.0;
74
75 //S : off 960
76 .float 0.0, 0.0, 0.0, 0.0, 0.0;
77 .float 0.0, 0.0, 0.0, 0.0, 0.0;
78 .float 0.0, 0.0, 0.0, 0.0, 0.0;
79 .float 0.0, 0.0, 0.0, 0.0, 0.0;
80
81 .float 0.0, 0.0, 0.0, 0.0, 0.0;
82 .float 0.0, 0.0, 0.0, 0.0, 0.0;
83 .float 0.0, 0.0, 0.0, 0.0, 0.0;
84 .float 0.0, 0.0, 0.0, 0.0, 0.0;
85
86 .float 0.0, 0.0, 0.0, 0.0, 0.0;
87 .float 0.0, 0.0, 0.0, 0.0, 0.0;
88 .float 0.0, 0.0, 0.0, 0.0, 0.0;
89 .float 0.0, 0.0, 0.0, 0.0, 0.0;
90
91 .float 0.0, 0.0, 0.0, 0.0, 0.0;
92 .float 0.0, 0.0, 0.0, 0.0, 0.0;
93 .float 0.0, 0.0, 0.0, 0.0, 0.0;
94 .float 0.0, 0.0, 0.0, 0.0, 0.0;

```

```

95
96
97 //floats of all weights for the hidden state (Wh)
98 weights_floats_hidden:
99 .float 0.4575506, 0.05386263, -0.035822153, -0.1387741;
100 .float 0.2426635, 0.09454799, 0.022639275, -0.40208167;
101 .float -0.47809297, 0.043361187, -0.429963, 0.34989363;
102 .float 0.040919125, 0.052719116, 0.34607226, 0.1788984;
103
104 .float 0.25464368, 0.1096496, -0.4446842, 0.25877202;
105 .float -0.4922228, 0.46996975, -0.27924186, 0.3575132;
106 .float 0.016857564, 0.015506566, -0.16837955, -0.34664214;
107 .float -0.29062146, -0.2048012, 0.18073153, 0.25138396;
108
109 .float 0.29553604, -0.46133327, -0.120453596, 0.36323273;
110 .float -0.29439515, -0.3556685, 0.31927258, 0.21197033;
111 .float -0.22039115, -0.25451106, -0.44844902, 0.05314392;
112 .float 0.289571, -0.40340388, 0.048012376, 0.310561;
113
114 //Gradient off: 256
115 .float 0.0, 0.0, 0.0, 0.0;
116 .float 0.0, 0.0, 0.0, 0.0;
117 .float 0.0, 0.0, 0.0, 0.0;
118 .float 0.0, 0.0, 0.0, 0.0;
119
120 .float 0.0, 0.0, 0.0, 0.0;
121 .float 0.0, 0.0, 0.0, 0.0;
122 .float 0.0, 0.0, 0.0, 0.0;
123 .float 0.0, 0.0, 0.0, 0.0;
124
125 .float 0.0, 0.0, 0.0, 0.0;
126 .float 0.0, 0.0, 0.0, 0.0;
127 .float 0.0, 0.0, 0.0, 0.0;
128 .float 0.0, 0.0, 0.0, 0.0;
129
130 .float 0.0, 0.0, 0.0, 0.0;
131 .float 0.0, 0.0, 0.0, 0.0;
132 .float 0.0, 0.0, 0.0, 0.0;
133 .float 0.0, 0.0, 0.0, 0.0;
134
135 .float 0.0, 0.0, 0.0, 0.0;
136 .float 0.0, 0.0, 0.0, 0.0;
137 .float 0.0, 0.0, 0.0, 0.0;
138 .float 0.0, 0.0, 0.0, 0.0;
139 //P off: 512
140 .float 0.0, 0.0, 0.0, 0.0;
141 .float 0.0, 0.0, 0.0, 0.0;
142 .float 0.0, 0.0, 0.0, 0.0;
143 .float 0.0, 0.0, 0.0, 0.0;
144
145 .float 0.0, 0.0, 0.0, 0.0;
146 .float 0.0, 0.0, 0.0, 0.0;
147 .float 0.0, 0.0, 0.0, 0.0;
148 .float 0.0, 0.0, 0.0, 0.0;
149
150 .float 0.0, 0.0, 0.0, 0.0;
151 .float 0.0, 0.0, 0.0, 0.0;
152 .float 0.0, 0.0, 0.0, 0.0;
153 .float 0.0, 0.0, 0.0, 0.0;
154
155 .float 0.0, 0.0, 0.0, 0.0;
156 .float 0.0, 0.0, 0.0, 0.0;
157 .float 0.0, 0.0, 0.0, 0.0;
158 .float 0.0, 0.0, 0.0, 0.0;
159
160 //S off: 768
161 .float 0.0, 0.0, 0.0, 0.0;
162 .float 0.0, 0.0, 0.0, 0.0;
163 .float 0.0, 0.0, 0.0, 0.0;
164 .float 0.0, 0.0, 0.0, 0.0;
165

```

```

166 .float 0.0, 0.0, 0.0, 0.0;
167 .float 0.0, 0.0, 0.0, 0.0;
168 .float 0.0, 0.0, 0.0, 0.0;
169 .float 0.0, 0.0, 0.0, 0.0;
170
171 .float 0.0, 0.0, 0.0, 0.0;
172 .float 0.0, 0.0, 0.0, 0.0;
173 .float 0.0, 0.0, 0.0, 0.0;
174 .float 0.0, 0.0, 0.0, 0.0;
175
176 .float 0.0, 0.0, 0.0, 0.0;
177 .float 0.0, 0.0, 0.0, 0.0;
178 .float 0.0, 0.0, 0.0, 0.0;
179 .float 0.0, 0.0, 0.0, 0.0;
180
181 //floats of all weights for the input (bx)
182 biases_floats_input:
183 .float 0.45528716, -0.12105113, 0.3534127, -0.4324776;
184
185 .float -0.06819719, -0.26856756, 0.26856917, 0.09046912;
186
187 .float 0.43491727, -0.4721396, -0.107459486, 0.10790658;
188
189 .float 0.23291057, 0.17885023, -0.19004881, 0.4123158;
190
191 //Gradient off: 64
192
193 .float 0.0, 0.0, 0.0, 0.0;
194 .float 0.0, 0.0, 0.0, 0.0;
195 .float 0.0, 0.0, 0.0, 0.0;
196 .float 0.0, 0.0, 0.0, 0.0;
197
198 //P off:128
199 .float 0.0, 0.0, 0.0, 0.0;
200 .float 0.0, 0.0, 0.0, 0.0;
201 .float 0.0, 0.0, 0.0, 0.0;
202 .float 0.0, 0.0, 0.0, 0.0;
203 //S off:192
204 .float 0.0, 0.0, 0.0, 0.0;
205 .float 0.0, 0.0, 0.0, 0.0;
206 .float 0.0, 0.0, 0.0, 0.0;
207 .float 0.0, 0.0, 0.0, 0.0;
208
209 //floats of all weights for the hidden state (bh)
210 biases_floats_hidden:
211 .float -0.16933638, 0.37731993, -0.48610342, 0.43699688;
212
213 .float 0.49017084, -0.3767584, 0.37130326, 0.12813634;
214
215 .float -0.0008007884, -0.25514352, 0.1953935, 0.48517787;
216
217 .float 0.07333362, 0.4821878, 0.18412137, 0.2220164;
218
219 //Gradient, P & S same as biases_floats_input
220
221 //first Fully Connected Layer weights and biases
222 //4 columns (numbers) per row (4x64 values)
223 fc_1_weight:
224 .float -0.094638824, 0.2098822, -0.3115564, [...], -0.15274096;
225 //Gradient
226 //offset: 1024
227
228 .float 0.0, 0.0, 0.0, [...], 0.0;
229 .float 0.0, 0.0, 0.0, [...], 0.0;
230 .float 0.0, 0.0, 0.0, [...], 0.0;
231 .float 0.0, 0.0, 0.0, [...], 0.0;
232 //P
233 //offset: 2048
234 .float 0.0, 0.0, 0.0, [...], 0.0;
235 .float 0.0, 0.0, 0.0, [...], 0.0;
236 .float 0.0, 0.0, 0.0, [...], 0.0;

```

```

237 .float 0.0, 0.0, 0.0, [...], 0.0;
238 //S
239 //offset: 3072
240 .float 0.0, 0.0, 0.0, [...], 0.0;
241 .float 0.0, 0.0, 0.0, [...], 0.0;
242 .float 0.0, 0.0, 0.0, [...], 0.0;
243 .float 0.0, 0.0, 0.0, [...], 0.0;
244
245
246
247 //1 column per row
248 fc_1_bias:
249 .float 0.45598888, 0.028622866, -0.49321836, [...], -0.18397611;
250 //Gradient
251 //offset: 256
252 .float 0.0, 0.0, 0.0, [...], 0.0;
253 //P
254 //offset: 512
255 .float 0.0, 0.0, 0.0, [...], 0.0;
256 //S
257 //offset: 768
258 .float 0.0, 0.0, [...], 0.0;
259
260
261 //second Fully Connected Layer weights and bias
262 fc_weight_and_bias:
263 //64 weights
264 .float -0.07416618, -0.099058956, -0.090731055, [...], -0.11582455;
265 //bias located at address+256 (4*64)
266 .float 0.025282487;
267
268 //Gradient 64 floats
269 //starts at offset 260
270 .float 0.0, 0.0, 0.0, [...], 0.0;
271 //P 64 floats
272 //starts at offset 516
273 .float 0.0, 0.0, 0.0, [...], 0.0;
274 //S 64 floats
275 //starts at offset 772
276 .float 0.0, 0.0, 0.0, [...], 0.0;
277
278 //Gradientbias
279 //offset 1028
280 .float 0.0;
281 //Pbias
282 //offset 1032
283 .float 0.0;
284 //Sbias
285 //offset 1036
286 .float 0.0;
287
288
289
290
291
292 //FC_1 layer values. 64 floats
293 fc_1_values:
294 .float 0.0, 0.0, 0.0, [...], 0.0;
295
296 fc_1_reluflags: //64 ints = 64 flags
297 .word 0,0,0,[...], 0;
298
299 floats_ht:
300 .float 0.0, 0.0, 0.0, 0.0;//t=1
301 .float 0.0, 0.0, 0.0, 0.0;//t=2
302 .float 0.0, 0.0, 0.0, 0.0;//t=3
303 .float 0.0, 0.0, 0.0, 0.0;//t=4
304 .float 0.0, 0.0, 0.0, 0.0;//t=5
305 .float 0.0, 0.0, 0.0, 0.0;//t=6
306 .float 0.0, 0.0, 0.0, 0.0;//t=7
307 .float 0.0, 0.0, 0.0, 0.0;//t=8

```

```

308 .float 0.0, 0.0, 0.0, 0.0;//t=9
309 .float 0.0, 0.0, 0.0, 0.0;//t=10
310
311 //160 bits offset, save ReLu flags here
312 .word 0,0,0,0 //
313
314 floats_ct:
315 .float 0.0, 0.0, 0.0, 0.0;//t=1
316 .float 0.0, 0.0, 0.0, 0.0;//t=2
317 .float 0.0, 0.0, 0.0, 0.0;//t=3
318 .float 0.0, 0.0, 0.0, 0.0;//t=4
319 .float 0.0, 0.0, 0.0, 0.0;//t=5
320 .float 0.0, 0.0, 0.0, 0.0;//t=6
321 .float 0.0, 0.0, 0.0, 0.0;//t=7
322 .float 0.0, 0.0, 0.0, 0.0;//t=8
323 .float 0.0, 0.0, 0.0, 0.0;//t=9
324 .float 0.0, 0.0, 0.0, 0.0;//t=10
325
326 floats_tanhct:
327 .float 0.0, 0.0, 0.0, 0.0;//t=1 off 0
328 .float 0.0, 0.0, 0.0, 0.0;//t=2 off 16
329 .float 0.0, 0.0, 0.0, 0.0;//t=3 off 32
330 .float 0.0, 0.0, 0.0, 0.0;//t=4 off 48
331 .float 0.0, 0.0, 0.0, 0.0;//t=5 off 64
332 .float 0.0, 0.0, 0.0, 0.0;//t=6 off 80
333 .float 0.0, 0.0, 0.0, 0.0;//t=7 off 96
334 .float 0.0, 0.0, 0.0, 0.0;//t=8 off 112
335 .float 0.0, 0.0, 0.0, 0.0;//t=9 off 128
336 .float 0.0, 0.0, 0.0, 0.0;//t=10 off 144
337
338 floats_ifgo:
339 //i
340 .float 0.0, 0.0, 0.0, 0.0;//t=1
341 .float 0.0, 0.0, 0.0, 0.0;//t=2
342 .float 0.0, 0.0, 0.0, 0.0;//t=3
343 .float 0.0, 0.0, 0.0, 0.0;//t=4
344 .float 0.0, 0.0, 0.0, 0.0;//t=5
345 .float 0.0, 0.0, 0.0, 0.0;//t=6
346 .float 0.0, 0.0, 0.0, 0.0;//t=7
347 .float 0.0, 0.0, 0.0, 0.0;//t=8
348 .float 0.0, 0.0, 0.0, 0.0;//t=9
349 .float 0.0, 0.0, 0.0, 0.0;//t=10
350 //f
351 .float 0.0, 0.0, 0.0, 0.0;//t=1
352 .float 0.0, 0.0, 0.0, 0.0;//t=2
353 .float 0.0, 0.0, 0.0, 0.0;//t=3
354 .float 0.0, 0.0, 0.0, 0.0;//t=4
355 .float 0.0, 0.0, 0.0, 0.0;//t=5
356 .float 0.0, 0.0, 0.0, 0.0;//t=6
357 .float 0.0, 0.0, 0.0, 0.0;//t=7
358 .float 0.0, 0.0, 0.0, 0.0;//t=8
359 .float 0.0, 0.0, 0.0, 0.0;//t=9
360 .float 0.0, 0.0, 0.0, 0.0;//t=10
361 //g
362 .float 0.0, 0.0, 0.0, 0.0;//t=1
363 .float 0.0, 0.0, 0.0, 0.0;//t=2
364 .float 0.0, 0.0, 0.0, 0.0;//t=3
365 .float 0.0, 0.0, 0.0, 0.0;//t=4
366 .float 0.0, 0.0, 0.0, 0.0;//t=5
367 .float 0.0, 0.0, 0.0, 0.0;//t=6
368 .float 0.0, 0.0, 0.0, 0.0;//t=7
369 .float 0.0, 0.0, 0.0, 0.0;//t=8
370 .float 0.0, 0.0, 0.0, 0.0;//t=9
371 .float 0.0, 0.0, 0.0, 0.0;//t=10
372 //o
373 .float 0.0, 0.0, 0.0, 0.0;//t=1
374 .float 0.0, 0.0, 0.0, 0.0;//t=2
375 .float 0.0, 0.0, 0.0, 0.0;//t=3
376 .float 0.0, 0.0, 0.0, 0.0;//t=4
377 .float 0.0, 0.0, 0.0, 0.0;//t=5
378 .float 0.0, 0.0, 0.0, 0.0;//t=6

```

```

379 .float 0.0, 0.0, 0.0, 0.0;//t=7
380 .float 0.0, 0.0, 0.0, 0.0;//t=8
381 .float 0.0, 0.0, 0.0, 0.0;//t=9
382 .float 0.0, 0.0, 0.0, 0.0;//t=10
383
384
385
386
387 float_final_output:
388 .float 0.0,0.0,0.0,0.0,0.0,0.0,0.0,0.0, [ ...];
389
390
391 //numer one, used in fs11
392 float_one:
393     .float 1.0;
394
395 //numbers used in tanh
396 tanh_floats:
397     .float 2.0, 0.25;
398
399 //numbers used in sigmoid
400 sig_floats:
401     .float 4.0, 0.5, 0.25, 0.03125;
402
403 betas_and_others:
404     //beta1 & beta2
405     .float 0.9, 0.999;
406
407     //cumulative beta^(t)
408     .float 1.0, 1.0;
409
410     //learning rate
411     .float 0.005;
412
413     //numbers to divide by
414     .float 3342.0, 10.0;
415
416     //epsilon
417     .word 0x00800000
418
419
420
421
422
423
424 .section .text
425
426 .global main
427
428 //register use:
429 /*
430 s0      -> Input data pointer
431 s1 - s4 -> Weights and biases pointers
432 s5      -> ht (4x10 floats) & ht_reluflags (4 ints) pointer
433 s6      -> ct pointer
434 s7      -> pointer for tanh(ct) results
435 s8      -> pointer to store i, f, g and o
436 s9      -> FC_1 ReLu flags
437 s10     -> Output data pointer
438 s11     -> FeedForward loop counter
439
440 a0      -> jal/ret adress
441 a1 - a2 -> FC_1 parameters address
442 a3      -> FC_1 results
443 a4      -> FC parameters adress
444 a5      -> Results/Outputs Pointer
445 a6      -> LSTM [i] offset counter
446 a7      -> LSTM time step counter
447
448 fs0 - fs8 -> used
449         -> FREE

```

```

450 | fs10      -> dJ/dy^
451 | fs11      -> = 1.0
452 |
453 | fa0 - fa4 -> used
454 | fs5       -> FREE
455 | fs6 - fa7 -> tanh/sig
456 |
457 */
458 #run_code:
459 main:
460     //epoch counter. Do everthing 220 times, then exit
461     li t6, 220
462     full_epoch_restart:
463     //pointer to the output of the network (a5)
464     la a5, float_final_output
465
466     //load float 1.0 into register fs11 for future use
467     la t0, float_one;
468     flw fs11, 0(t0); //fs11 = 1.0
469
470     // a0 function return adress
471
472     //input data pointer
473     la s0, InputXData
474
475     //output data pointer
476     la s10, OutputYData
477
478     /** CHANGE: Save ALL relu flags with the same offset as a3
479     la s9, fc_1_reluflags
480
481     //addresses for fc weights and bias
482     la a4, fc_weight_and_bias
483
484
485     //Feed Forward counter
486     //loop forward_pass_full_restart 3797 times
487     /** CHANGED TO 3342 FOR TRAINING ONLY
488     //exits on s11==0
489     //li s11, 3797
490     li s11, 3342
491
492 /*
493     //ht & ct
494     la s5, floats_ht
495     la s6, floats_ct
496
497     /** CHANGE: new adress: s7 -> stores values for tanh(ct)
498     la s7, floats_tanhct
499
500     /** CHANGE: new adress: s8 -> stores values for i, f, g and o
501     // all of them on the same address, with 160 bits appart (each is 4 values, 10 times)
502     la s8, floats_ifgo*/
503
504     //Set weights and biases pointers
505     la s1, weights_floats_input
506     la s2, weights_floats_hidden
507     la s3, biases_floats_input
508     la s4, biases_floats_hidden
509
510     forward_pass_full_restart:
511
512     //ht & ct
513     la s5, floats_ht
514     la s6, floats_ct
515
516     /** CHANGE: new adress: s7 -> stores values for tanh(ct)
517     la s7, floats_tanhct
518
519     /** CHANGE: new adress: s8 -> stores values for i, f, g and o
520     // all of them on the same address, with 160 bits appart (each is 4 values, 10 times)

```

```

521 la s8, floats_ifgo
522
523
524 //reset ct with zeros
525 /** CHANGE: dont
526 //fmv.s.x ft0, x0
527
528 //ct
529 //fsw ft0, 0(s6)
530 //fsw ft0, 4(s6)
531 //fsw ft0, 8(s6)
532 //fsw ft0, 12(s6)
533
534
535 //timestep counter
536 //a7==0 indicates t=0 (ht = 0 & ct=0)
537 li a7, 0
538
539
540
541 forward_pass_loop:
542 //forward pass for a single time step
543 //ht is not needed the first pass
544
545
546 //reset offset/counter
547 //a6 counts [i] loops (from 4 to 0)
548 li a6, 4
549 /*
550 //Reset weights and biases pointers
551 la s1, weights_floats_input
552 la s2, weights_floats_hidden
553 la s3, biases_floats_input
554 la s4, biases_floats_hidden
555 */
556
557 //Load x into float registers
558 //x = [fs4 ... fs8]
559 flw fs4, 0(s0)
560 flw fs5, 4(s0)
561 flw fs6, 8(s0)
562 flw fs7, 12(s0)
563 flw fs8, 16(s0)
564
565
566
567 forward_pass_matrix_mul:
568 //loops while a6 > 0
569
570 //---- fa1 -> i
571
572 //matrix multiplication for i, f, g & o
573 //ht vector stored as = [fs0 ... fs3]
574 //x vector stored in x = [fs4 ... fs8]
575 //Weights and biases must be the following (with proper offsets)
576 // s1, weights_floats_input
577 // s2, weights_floats_hidden
578 // s3, biases_floats_input
579 // s4, biases_floats_hidden
580 //if t=0 flag a7 is 0, else a7=1
581 //skips Wh*h multiplications as h=0 when t=0
582 //result is saved at fa6 to be used in tanh or sig functions
583
584 //Wxi * x
585 flw ft0, 0(s1)
586 fmul.s fa6, ft0, fs4
587
588 flw ft0, 4(s1)
589 fnadd.s fa6, ft0, fs5 ,fa6
590
591 flw ft0, 8(s1)

```

```

592     fmadd.s fa6, ft0, fs6 ,fa6
593
594     flw ft0, 12(s1)
595     fmadd.s fa6, ft0, fs7 ,fa6
596
597     flw ft0, 16(s1)
598     fmadd.s fa6, ft0, fs8 ,fa6
599
600 //ans + bx
601     flw ft0, 0(s3)
602     fadd.s fa6, ft0, fa6
603
604 //t=0? (a7=0?) if so, skip Wh*h (h is 0)
605     beqz a7, mat_mul_skip_h_i
606
607 //ans + (Wh * h)
608     flw ft0, 0(s2)
609     fmadd.s fa6, ft0, fs0, fa6
610
611     flw ft0, 4(s2)
612     fmadd.s fa6, ft0, fs1, fa6
613
614     flw ft0, 8(s2)
615     fmadd.s fa6, ft0, fs2, fa6
616
617     flw ft0, 12(s2)
618     fmadd.s fa6, ft0, fs3, fa6
619
620     mat_mul_skip_h_i:
621 //ans + bh
622     flw ft0, 0(s4)
623     fadd.s fa6, ft0, fa6
624
625     jal a0, sig_fa6 //apply sigmoid
626     fmvs.s fa1, fa7
627
628 //a7=0? if so, skip f
629 //** CHANGE: no longer skip f for t=0 (needed for gradient)
630 //beqz a7, skip_f
631
632
633
634 //---- fa2 -> f
635 //Wxi * x
636     flw ft0, 80(s1)
637     fmuls.s fa6, ft0, fs4
638
639     flw ft0, 84(s1)
640     fmadd.s fa6, ft0, fs5 ,fa6
641
642     flw ft0, 88(s1)
643     fmadd.s fa6, ft0, fs6 ,fa6
644
645     flw ft0, 92(s1)
646     fmadd.s fa6, ft0, fs7 ,fa6
647
648     flw ft0, 96(s1)
649     fmadd.s fa6, ft0, fs8 ,fa6
650
651 //ans + bx
652     flw ft0, 16(s3)
653     fadd.s fa6, ft0, fa6
654
655 //t=0? (a7=0?) if so, skip Wh*h (h is 0)
656     beqz a7, mat_mul_skip_h_f
657
658 //ans + (Wh * h)
659     flw ft0, 64(s2)
660     fmadd.s fa6, ft0, fs0, fa6
661
662     flw ft0, 68(s2)

```

```

663 fmadd.s fa6, ft0, fs1, fa6
664
665 flw ft0, 72(s2)
666 fmadd.s fa6, ft0, fs2, fa6
667
668 flw ft0, 76(s2)
669 fmadd.s fa6, ft0, fs3, fa6
670
671 mat_mul_skip_h_f:
672 //ans + bh
673 flw ft0, 16(s4)
674 fadd.s fa6, ft0, fa6
675
676
677 jal a0, sig_fa6 //apply sigmoid
678 fmv.s fa2, fa7
679
680 /*** CHANGE: f is no longer skipped at t=0
681 //skip_f:
682 //---- fa3 -> g
683 //Wxi * x
684 flw ft0, 160(s1)
685 fmul.s fa6, ft0, fs4
686
687 flw ft0, 164(s1)
688 fmadd.s fa6, ft0, fs5 ,fa6
689
690 flw ft0, 168(s1)
691 fmadd.s fa6, ft0, fs6 ,fa6
692
693 flw ft0, 172(s1)
694 fmadd.s fa6, ft0, fs7 ,fa6
695
696 flw ft0, 176(s1)
697 fmadd.s fa6, ft0, fs8 ,fa6
698
699 //ans + bx
700 flw ft0, 32(s3)
701 fadd.s fa6, ft0, fa6
702
703 //t=0? (a7=0?) if so, skip Wh*h (h is 0)
704 beqz a7, mat_mul_skip_h_g
705
706 //ans + (Wh * h)
707 flw ft0, 128(s2)
708 fmadd.s fa6, ft0, fs0, fa6
709
710 flw ft0, 132(s2)
711 fmadd.s fa6, ft0, fs1, fa6
712
713 flw ft0, 136(s2)
714 fmadd.s fa6, ft0, fs2, fa6
715
716 flw ft0, 140(s2)
717 fmadd.s fa6, ft0, fs3, fa6
718
719 mat_mul_skip_h_g:
720 //ans + bh
721 flw ft0, 32(s4)
722 fadd.s fa6, ft0, fa6
723
724 jal a0, tanh_fa6 //apply tanh
725 fmv.s fa3, fa7
726
727
728
729 //---- fa4 -> o
730 //Wxi * x
731 flw ft0, 240(s1)
732 fmul.s fa6, ft0, fs4
733

```

```

734     flw ft0, 244(s1)
735     fmadd.s fa6, ft0, fs5 ,fa6
736
737     flw ft0, 248(s1)
738     fmadd.s fa6, ft0, fs6 ,fa6
739
740     flw ft0, 252(s1)
741     fmadd.s fa6, ft0, fs7 ,fa6
742
743     flw ft0, 256(s1)
744     fmadd.s fa6, ft0, fs8 ,fa6
745
746 //ans + bx
747     flw ft0, 48(s3)
748     fadd.s fa6, ft0, fa6
749
750 //t=0? (a7=0?) if so, skip Wh*h (h is 0)
751     beqz a7, mat_mul_skip_h_o
752
753 //ans + (Wh * h)
754     flw ft0, 192(s2)
755     fmadd.s fa6, ft0, fs0, fa6
756
757     flw ft0, 196(s2)
758     fmadd.s fa6, ft0, fs1, fa6
759
760     flw ft0, 200(s2)
761     fmadd.s fa6, ft0, fs2, fa6
762
763     flw ft0, 204(s2)
764     fmadd.s fa6, ft0, fs3, fa6
765
766 mat_mul_skip_h_o:
767 //ans + bh
768     flw ft0, 48(s4)
769     fadd.s fa6, ft0, fa6
770
771
772     jal a0, sig_fa6 //apply sigmoid
773     fmv.s fa4, fa7
774
775 //fa1 -> i
776 //fa2 -> f
777 //fa3 -> g
778 //fa4 -> o
779 //** CHANGE: values are now stored in memory, at s8, each having an offset of 160
780 // index and time offsets are added separately
781     fsw fa1, 0(s8)
782     fsw fa2, 160(s8)
783     fsw fa3, 320(s8)
784     fsw fa4, 480(s8)
785
786 //calculate ct = f * ct-1 + i * g
787 // ct = fa2 * 0(s6) + fa1 * fa3
788
789 //i * g
790     fmul.s fa6, fa1, fa3
791
792 // if a7=0 -> ct-1 = 0 -> ct = fa1 * fa3
793     beqz a7, skip_ct1_mul
794
795 //else: ct-1 * f + ans
796 //** CHANGE: ct-1 is now s6-16
797     flw ft1, -16(s6)
798     fmadd.s fa6, ft1, fa2, fa6
799
800 skip_ct1_mul:
801 //store ct
802     fsw fa6, 0(s6)
803
804 //ht+t = o * tanh(ct)

```

```

805     jal a0, tanh_fa6
806     /** CHANGE: store tanh(ct) (fa7) into s7
807     fsw fa7, 0(s7)
808     //fa7 = tanh(ct) * o
809     fmul.s fa7, fa7, fa4
810     //store ht+1
811     fsw fa7, 0(s5)
812
813
814     //---- repeat for [i+1] ----
815     addi a6, a6, -1
816     beqz a6, end_index_loop
817
818     //reset and offset wieghts to the next row
819     addi s1, s1, 20
820     addi s2, s2, 16
821     //reset and offset biases to the next column
822     addi s3, s3, 4
823     addi s4, s4, 4
824
825     //offset ht+1 and ct to next number
826     addi s5, s5, 4
827     addi s6, s6, 4
828
829     /** CHANGE: offset s7 and s8 as well (tanht results and i,f,g,o)
830     addi s7, s7, 4
831     addi s8, s8, 4
832
833     j forward_pass_matrix_mul
834
835
836     end_index_loop:
837
838     //Reset weights and biases pointers
839     la s1, weights_floats_input
840     la s2, weights_floats_hidden
841     la s3, biases_floats_input
842     la s4, biases_floats_hidden
843
844     //time step finished, move to next time step
845     //unless already done with 10 time steps -> check a7
846     addi a7, a7, 1
847     slti t0, a7, 10 //if a7 < 10 -> t0 = 1 -> not done yet
848     beqz t0, end_forward_pass_loop //t0 = 0 -> done with time steps, move on to FC
849
850     //else: start over with XData offset of 5 numbers (+20)
851     addi s0, s0, 20
852
853
854     //remove ht & ct offset
855     /** CHANGE: dont remove ct offset
856     addi s5, s5, -12
857     //addi s6, s6, -12
858
859     /** CHANGE: add an extra 4 for next row to ct
860     addi s6, s6, 4
861
862     /** CHANGE: add 4 to s7 & s8 as well
863     addi s7, s7, 4
864     addi s8, s8, 4
865
866     //Load/Reload ht into float registers
867     //ht = [fs0 ... fs3]
868     flw fs0, 0(s5)
869     flw fs1, 4(s5)
870     flw fs2, 8(s5)
871     flw fs3, 12(s5)
872
873
874     //and offset ht+1 to the next timestep "set"
875     addi s5, s5, 16 //(4 floats)

```

```

876
877
878     j forward_pass_loop //repeat one time step
879
880     end_forward_pass_loop:
881     //done with data on the LSTM
882     //do Fully Connected next
883
884     //remove ht offset and load floats
885     addi s5, s5, -12
886     //ht10 = [fs0 ... fs3]
887     flw fs0, 0(s5)
888     flw fs1, 4(s5)
889     flw fs2, 8(s5)
890     flw fs3, 12(s5)
891
892
893     //----- apply ReLu flag -----
894     //relu flag is used to skip the multiplication, instead of setting the number to zero (
895     //      same result)
896     //flag is 1 if number is <= 0 -> should skip multiplication
897     fmv.s.x ft3, x0 //set zero
898
899     //flags:
900     //fs0 -> t0
901     //fs2 -> t1
902     //fs2 -> t2
903     //fs3 -> t3
904     fle.s t0, fs0, ft3
905     fle.s t1, fs1, ft3
906     fle.s t2, fs2, ft3
907     fle.s t3, fs3, ft3
908
909     /** CHANGE: save ReLu flags on s5+16 - s5+28
910     sw t0, 16(s5)
911     sw t1, 20(s5)
912     sw t2, 24(s5)
913     sw t3, 28(s5)
914
915     //addresses for fc_1 weights, biases and results
916     la a1, fc_1_weight
917     la a2, fc_1_bias
918     la a3, fc_1_values
919
920     /** CHANGE: Save ALL relu flags with the same offset as a3
921     //done at the start of the program
922     //la s9, fc_1_reluflags
923
924     /** CHANGE: address loaded at the start of the program
925     //addresses for fc weights and bias
926     //la a4, fc_weight_and_bias
927
928     //fa0 -> final output
929     flw fa0, 256(a4)
930
931     //Following code loop is unraveled to save 4*64 instructions
932     //it feeds ht into each fc_1 neuron, which then feeds into fc
933
934     //-----
935     //----- "LOOP" START -----
936     //-----
937
938     //0
939     flw ft0, 0(a2)
940
941     bnez t0, skip_0_0
942         flw ft1, 0(a1)
943         fmadd.s ft0, ft1, fs0, ft0
944     skip_0_0:
945

```

```

946     bnez t1, skip_1_0
947         flw ft1, 4(a1)
948         fmadd.s ft0, ft1, fs1, ft0
949 skip_1_0:
950
951     bnez t2, skip_2_0
952         flw ft1, 8(a1)
953         fmadd.s ft0, ft1, fs2, ft0
954 skip_2_0:
955
956     bnez t3, skip_3_0
957         flw ft1, 12(a1)
958         fmadd.s ft0, ft1, fs3, ft0
959 skip_3_0:
960
961     fsw ft0, 0(a3)
962
963 //relu, then feed to fc
964     fle.s t4, ft0, ft3//relu flag = (0 if ft0 > 0) -> do mul; else is 1 -> skip mul
965 //** CHANGE: save relu flag into s9 with same offset as previous a3
966     sw t4, 0(s9)
967     bnez t4, skip_fc_0//if ft0<=0 then skip fmadd.s
968         flw ft1, 0(a4)
969         fmadd.s fa0, ft0, ft1, fa0
970 skip_fc_0:
971
972 //1
973     flw ft0, 4(a2)
974     bnez t0, skip_0_1
975         flw ft1, 16(a1)
976         fmadd.s ft0, ft1, fs0, ft0
977 skip_0_1:
978     bnez t1, skip_1_1
979         flw ft1, 20(a1)
980         fmadd.s ft0, ft1, fs1, ft0
981 skip_1_1:
982     bnez t2, skip_2_1
983         flw ft1, 24(a1)
984         fmadd.s ft0, ft1, fs2, ft0
985 skip_2_1:
986     bnez t3, skip_3_1
987         flw ft1, 28(a1)
988         fmadd.s ft0, ft1, fs3, ft0
989 skip_3_1:
990     fsw ft0, 4(a3)
991     fle.s t4, ft0, ft3
992     sw t4, 4(s9)
993     bnez t4, skip_fc_1
994         flw ft1, 4(a4)
995         fmadd.s fa0, ft0, ft1, fa0
996 skip_fc_1:
997
998 -----
999 //THIS CODE REPEATS A TOTAL OF 64 TIMES
1000 //REMOVED DUPLICATES FOR READABILITY
1001 -----
1002
1003 //63
1004     flw ft0, 252(a2)
1005     bnez t0, skip_0_63
1006         flw ft1, 1008(a1)
1007         fmadd.s ft0, ft1, fs0, ft0
1008 skip_0_63:
1009     bnez t1, skip_1_63
1010         flw ft1, 1012(a1)
1011         fmadd.s ft0, ft1, fs1, ft0
1012 skip_1_63:
1013     bnez t2, skip_2_63
1014         flw ft1, 1016(a1)
1015         fmadd.s ft0, ft1, fs2, ft0
1016 skip_2_63:

```

```

1017    bnez t3, skip_3_63
1018        flw ft1, 1020(a1)
1019            fmadd.s ft0, ft1, fs3, ft0
1020    skip_3_63:
1021    fsw ft0, 252(a3)
1022    fle.s t4, ft0, ft3
1023    sw t4, 252(s9)
1024    bnez t4, skip_fc_63
1025        flw ft1, 252(a4)
1026        fmadd.s fa0, ft0, ft1, fa0
1027    skip_fc_63:
1028
1029
1030
1031 //-----
1032 //-----      "LOOP" END      -----
1033 //-----
1034
1035 fsw fa0, 0(a5)
1036 //j skip_to_adam_for_test
1037
1038 //-----
1039 //----- BACKPROPAGATION -----
1040 //-----
1041
1042 //Important Variables so far:
1043 //fs11 = 1.0
1044 //h10 = [fs0, ..., fs3]
1045 //h10 relu flags = [t0, ..., t3]
1046 //a1, fc_1_weight
1047 //a2, fc_1_bias
1048 //a3, fc_1_values
1049 //s9, fc_1_reluflags
1050 //a4, fc_weight_and_bias
1051 //ReLu flags are 1 if value was less than 0, and are 0 otherwise
1052
1053
1054
1055 //expected result -> ft0
1056 //predicted value -> fa0
1057 flw ft0, 0(s10)
1058
1059 //offset s10 for next one
1060 addi s10, s10, 4
1061 //dL/dFCout = 2*(predicted - expected)
1062 //saved in fs10
1063 fsub.s fs10, fa0, ft0
1064 fadd.s fs10, fs10, fs10
1065
1066 //dL/dbout = dL/dFCout
1067 flw ft0, 1028(a4)
1068 fadd.s ft0, ft0, fs10
1069 fsw ft0, 1028(a4)
1070
1071 //dL/dh10 = [fs4, ..., fs7]
1072 //set to x0 to start
1073 fmv.s.x fs4, x0
1074 fmv.s.x fs5, x0
1075 fmv.s.x fs6, x0
1076 fmv.s.x fs7, x0
1077
1078 //in order to avoid as many flw and fsw as possible, as well as skipping
1079 //multiplications by 0, the following is done:
1080
1081 //for every i flag in vector fc_1_reluflags (64 in total), check flag
1082 //if flag is 1, skip everything & move to the next [i]
1083 //if flag is 0, use fc_1_values in position [i]
1084 // do dL/dWout [i] += fc_1_values [i] * fs10
1085 // get dL/dfc1 [i] = fc_weight_and_bias[i] * fs10
1086 // dL/db1[i] += dL/dfc1 [i]
1087 // for every [k] in [t0, ..., t3] (h10 relu flags), check flag. if 1-> skip k

```

```

1088 //      do dL/dW1 [i][k] += dL/dfc1 [i] * h10[k]
1089 //      get dL/dh10 [k] += dL/dfc1 [i] * fc_1_weight[i][k] -> save into [fs4, ..., fs7]
1090
1091 //for vectors, each [i] is an extra offset of 4
1092 //for matrices, each column [k] is +4, each row[i] is +rowLength*4 (+4*4)=+16 in this
1093 //case)
1094 //this is once again loop unrolled to avoid addi instructions that would mess with the
1095 //addresses
1096
1097 //Loop unrolling:this is repeated 64 times in total, for i = [0, ..., 63]
1098
1099 //-----
1100 //----- "LOOP" START -----
1101 //-----
1102
1103 //i=0
1104 //fc1 relu flag
1105 lw t4, 0($9)
1106 //if 1-> skip all
1107 bnez t4, skip_backprop_i0
1108 //else use fc_1_values in position [i] -> ft0 = fc_1[i]
1109 flw ft0, 0(a3)
1110
1111 //dL/dWout [i] += fc_1_values [i] * fs10
1112 //gradient offset is 260 from fc_weight_and_bias
1113 flw ft1, 260(a4)
1114 fmadd.s ft1, ft0, fs10, ft1
1115 fsw ft1, 260(a4)
1116
1117 // get dL/dfc1 [i] = fc_weight_and_bias[i] * fs10 -> ft1 = dL/dfc1[i]
1118 flw ft1, 0(a4)
1119 fmul.s ft1, ft1, fs10
1120 // dL/db1[i] += dL/dfc1 [i]
1121 flw ft2, 256(a2)
1122 fadd.s ft2, ft2, ft1
1123 fsw ft2, 256(a2)
1124
1125 //h10 = [fs0, ..., fs3]
1126 //h10 relu flags = [t0, ..., t3]
1127 // for every [k] in [t0, ..., t3] (h10 relu flags), check flag. if 1-> skip k
1128
1129 //k=0
1130 bnez t0, skip_backprop_k00
1131 //dL/dW1 [i][k] += dL/dfc1 [i] * h10[k]
1132 //W1 = fc_1_weights; gradients have a base offset of 1024
1133 flw ft2, 1024(a1)//=dL/dW1[i][k]
1134 fmadd.s ft2, ft1, fs0, ft2
1135 fsw ft2, 1024(a1)
1136
1137 //dL/dh10 [k] += dL/dfc1[i] * fc_1_weight[i][k] -> dL/dh10[0] = fs4
1138 flw ft2, 0(a1)//=fc_1_weight[i][k]
1139 fmadd.s fs4, ft1, ft2, fs4
1140
1141 skip_backprop_k00:
1142
1143 //k=1
1144 bnez t1, skip_backprop_k01
1145 //dL/dW1 [i][k] += dL/dfc1 [i] * h10[k]
1146 flw ft2, 1028(a1)//=dL/dW1[i][k]
1147 fmadd.s ft2, ft1, fs1, ft2
1148 fsw ft2, 1028(a1)
1149
1150 //dL/dh10 [k] += dL/dfc1[i] * fc_1_weight[i][k] -> dL/dh10[1] = fs5
1151 flw ft2, 4(a1)//=fc_1_weight[i][k]
1152 fmadd.s fs5, ft1, ft2, fs5
1153
1154 skip_backprop_k01:
1155
1156 //k=2
1157 bnez t2, skip_backprop_k02

```

```

1158         flw ft2, 1032(a1)//=dL/dW1[i][k]
1159         fmadd.s ft2, ft1, fs2, ft2
1160         fsw ft2, 1032(a1)
1161
1162         //dL/dh10 [k] += dL/dfc1[i] * fc_1_weight[i][k] -> dL/dh10[1] = fs5
1163         flw ft2, 8(a1)//=fc_1_weight[i][k]
1164         fmadd.s fs6, ft1, ft2, fs6
1165         skip_backprop_k02:
1166
1167         //k=3
1168         bnez t3, skip_backprop_k03
1169             flw ft2, 1036(a1)//=dL/dW1[i][k]
1170             fmadd.s ft2, ft1, fs3, ft2
1171             fsw ft2, 1036(a1)
1172
1173             //dL/dh10 [k] += dL/dfc1[i] * fc_1_weight[i][k] -> dL/dh10[1] = fs5
1174             flw ft2, 12(a1)//=fc_1_weight[i][k]
1175             fmadd.s fs7, ft1, ft2, fs7
1176             skip_backprop_k03:
1177             skip_backprop_i0:
1178
1179         //-----
1180         //THIS CODE REPEATS A TOTAL OF 64 TIMES
1181         //REMOVED DUPLICATES FOR READABILITY
1182         //-----
1183
1184         //i=63
1185         lw t4, 252(s9)
1186         bnez t4, skip_backprop_i63
1187             flw ft0, 252(a3)
1188
1189             flw ft1, 512(a4)
1190             fmadd.s ft1, ft0, fs10, ft1
1191             fsw ft1, 512(a4)
1192
1193             flw ft1, 252(a4)
1194             fmul.s ft1, ft1, fs10
1195             flw ft2, 508(a2)
1196             fadd.s ft2, ft2, ft1
1197             fsw ft2, 508(a2)
1198
1199         //k=0
1200         bnez t0, skip_backprop_k630
1201             flw ft2, 2032(a1)
1202             fmadd.s ft2, ft1, fs0, ft2
1203             fsw ft2, 2032(a1)
1204
1205             flw ft2, 1008(a1)
1206             fmadd.s fs4, ft1, ft2, fs4
1207             skip_backprop_k630:
1208
1209         //k=1
1210         bnez t1, skip_backprop_k631
1211             flw ft2, 2036(a1)
1212             fmadd.s ft2, ft1, fs1, ft2
1213             fsw ft2, 2036(a1)
1214
1215             flw ft2, 1012(a1)
1216             fmadd.s fs5, ft1, ft2, fs5
1217             skip_backprop_k631:
1218
1219         //k=2
1220         bnez t2, skip_backprop_k632
1221             flw ft2, 2040(a1)
1222             fmadd.s ft2, ft1, fs2, ft2
1223             fsw ft2, 2040(a1)
1224
1225             flw ft2, 1016(a1)
1226             fmadd.s fs6, ft1, ft2, fs6
1227             skip_backprop_k632:
1228

```

```

1229      //k=3
1230      bnez t3, skip_backprop_k633
1231          flw ft2, 2044(a1)
1232          fmadd.s ft2, ft1, fs3, ft2
1233          fsw ft2, 2044(a1)
1234
1235          flw ft2, 1020(a1)
1236          fmadd.s fs7, ft1, ft2, fs7
1237      skip_backprop_k633:
1238      skip_backprop_i63:
1239
1240
1241 //-----
1242 //----- "LOOP" END
1243 //-----
1244
1245 //Reminder
1246 //fs11 = 1.0
1247 //h10 = [fs0, ..., fs3]
1248 //dL/dh10 = [fs4, ..., fs7]
1249 //s5 = floats_ht
1250 //s6 = floats_ct
1251 //s7 = floats_tanhct
1252 //0(s8) = it
1253 //160(s8) = ft
1254 //320(s8) = gt
1255 //480(s8) = ot
1256 //s1 = weights_floats_input
1257 //s2 = weights_floats_hidden
1258 //s3 = biases_floats_input
1259 //s4 = biases_floats_hidden
1260
1261 //ht & ct
1262 la s5, floats_ht
1263 la s6, floats_ct
1264
1265 //reset s7 (tanh(ct))
1266 la s7, floats_tanhct
1267
1268 // reset i, f, g and o adress
1269 // all of them on the same address, with 160 bits appart (each is 4 values, 10 times)
1270 la s8, floats_ifgo
1271
1272 //offset so all are at t=10 -> offset by 144
1273 addi s5, s5, 144 //ht
1274 addi s6, s6, 144 //ct
1275 addi s7, s7, 144 //tanhct
1276 addi s8, s8, 144 //ifgo
1277
1278 li a7, 10 //time step
1279
1280 begin_backprop_lstm:
1281 //Backprop at LSTM
1282 //for Vt={i,f,g,o}: Vt = f(a_vt) ;f() respective trig. function
1283 //---- first get dL/dCt and dL/daot
1284
1285 flw ft4, 0(s7)//tanh(C10) -> ft4 - ft7
1286 flw ft5, 4(s7)
1287 flw ft6, 8(s7)
1288 flw ft7, 12(s7)
1289
1290
1291 flw ft8, 480(s8)//ot -> ft8 - ft11
1292 flw ft9, 484(s8)
1293 flw ft10, 488(s8)
1294 flw ft11, 492(s8)
1295
1296
1297 //dL/dCt = dL/dht * (ot - ht*tanh(Ct)) -> [ft0, ..., ft3]
1298 fnmsub.s ft0, fs0, ft4, ft8 //-(ht*tanh(Ct)) + ot
1299 fmul.s ft0, ft0, fs4 //ans * dL/dht

```

```

1300
1301     fnmsub.s ft1, fs1, ft5, ft9
1302     fmul.s ft1, ft1, fs5
1303
1304     fnmsub.s ft2, fs2, ft6, ft10
1305     fmul.s ft2, ft2, fs6
1306
1307     fnmsub.s ft3, fs3, ft7, ft11
1308     fmul.s ft3, ft3, fs7
1309
1310 //dL/daot = dL/dht * (ht - ht*ot) -> [fa0, ..., fa3]
1311 fnmsub.s fa0, ft8, fs0, fs0 //-(ot*ht) + ht
1312 fmul.s fa0, fa0, fs4 //ans * dL/dht
1313
1314 fnmsub.s fa1, ft9, fs1, fs1
1315 fmul.s fa1, fa1, fs5
1316
1317 fnmsub.s fa2, ft10, fs2, fs2
1318 fmul.s fa2, fa2, fs6
1319
1320 fnmsub.s fa3, ft11, fs3, fs3
1321 fmul.s fa3, fa3, fs7
1322
1323 //---- now get dL/dait and dL/dagt
1324
1325 flw ft4, 0(s8)//it
1326 flw ft5, 4(s8)
1327 flw ft6, 8(s8)
1328 flw ft7, 12(s8)
1329
1330 flw ft8, 320(s8)//gt
1331 flw ft9, 324(s8)
1332 flw ft10, 328(s8)
1333 flw ft11, 332(s8)
1334
1335 //dL/dait = dL/dCt * gt * (it - it*it) -> [fa4, ..., fa7]
1336 fnmsub.s fa4, ft4, ft4, ft4//-(it * it) + it
1337 fmul.s fa4, fa4, ft8//ans * gt
1338 fmul.s fa4, fa4, ft0//ans * dL/dCt
1339
1340 fnmsub.s fa5, ft5, ft5, ft5
1341 fmul.s fa5, fa5, ft9
1342 fmul.s fa5, fa5, ft1
1343
1344 fnmsub.s fa6, ft6, ft6, ft6
1345 fmul.s fa6, fa6, ft10
1346 fmul.s fa6, fa6, ft2
1347
1348 fnmsub.s fa7, ft7, ft7, ft7
1349 fmul.s fa7, fa7, ft11
1350 fmul.s fa7, fa7, ft3
1351
1352 //dL/dagt = dL/dCt * it * (1.0 - gt*gt) -> [ft4, ..., fs7]
1353 fnmsub.s fs0, ft8, ft8, fs11//-(gt*gt)+1.0
1354 fmul.s ft4, fs0, ft4//ans * it
1355 fmul.s ft4, ft4, ft0//ans * dL/dCt
1356
1357 fnmsub.s fs1, ft9, ft9, fs11
1358 fmul.s ft5, fs1, ft5
1359 fmul.s ft5, ft5, ft1
1360
1361 fnmsub.s fs2, ft10, ft10, fs11
1362 fmul.s ft6, fs2, ft6
1363 fmul.s ft6, ft6, ft2
1364
1365 fnmsub.s fs3, ft11, ft11, fs11
1366 fmul.s ft7, fs3, ft7
1367 fmul.s ft7, ft7, ft3
1368
1369 //---- get dL/daft

```

```

1370 //subtract 1 to time counter now. If its 0, Ct-1 = C0 = 0 -> skip Ct-1 related
1371     instructions
1372 addi a7, a7, -1
1373 flw ft8, 160(s8) //ft
1374 flw ft9, 164(s8)
1375 flw ft10, 168(s8)
1376 flw ft11, 172(s8)
1377
1378 //dL/daft = dL/dCt * Ct-1 * (ft - ft*ft) -> [ft0, ..., ft3]
1379 fnmsub.s fs0, ft8, ft8, ft8 //-(ft*ft) + ft
1380 fnul.s ft0, fs0, ft0//ans*dL/dCt
1381 beqz a7, skip_daft_0//if a7!=0 -> ans=ans*Ct-1
1382     flw ft8, -16(s6)
1383     fmuls ft0, ft0, ft8
1384 skip_daft_0:
1385
1386 fnmsub.s fs1, ft9, ft9, ft9
1387 fmuls ft1, fs1, ft1
1388 beqz a7, skip_daft_1
1389     flw ft9, -12(s6)
1390     fmuls ft1, ft1, ft9
1391 skip_daft_1:
1392
1393 fnmsub.s fs2, ft10, ft10, ft10
1394 fnul.s ft2, fs2, ft2
1395 beqz a7, skip_daft_2
1396     flw ft10, -8(s6)
1397     fmuls ft2, ft2, ft10
1398 skip_daft_2:
1399
1400 fnmsub.s fs3, ft11, ft11, ft11
1401 fmuls ft3, fs3, ft3
1402 beqz a7, skip_daft_3
1403     flw ft11, -4(s6)
1404     fmuls ft3, ft3, ft11
1405 skip_daft_3:
1406
1407 //dL/daot -> [fa0, ..., fa3]
1408 //dL/dait -> [fa4, ..., fa7]
1409 //dL/dagt -> [ft4, ..., ft7]
1410 //dL/daft -> [ft0, ..., ft3]
1411 //ht      = [fs0, ..., fs3]
1412 //fs11 = 1.0
1413 //free
1414 //fs4, ..., fs7, fs8, fs9, fs10]
1415 //ft8, ..., ft11]
1416
1417
1418
1419 //BIASES
1420 //s3 = biases_floats_input for ifgo. gradient at offset 64
1421 //biases_floats_hidden has the same values of biases_floats_input
1422 //i
1423 flw ft8, 64(s3)
1424 fadd.s ft8, fa4, ft8
1425 fsw ft8, 64(s3)
1426
1427 flw ft8, 68(s3)
1428 fadd.s ft8, fa5, ft8
1429 fsw ft8, 68(s3)
1430
1431 flw ft8, 72(s3)
1432 fadd.s ft8, fa6, ft8
1433 fsw ft8, 72(s3)
1434
1435 flw ft8, 76(s3)
1436 fadd.s ft8, fa7, ft8
1437 fsw ft8, 76(s3)
1438
1439 //f

```

```

1440     flw ft8, 80(s3)
1441     fadd.s ft8, ft0, ft8
1442     fsw ft8, 80(s3)
1443
1444     flw ft8, 84(s3)
1445     fadd.s ft8, ft1, ft8
1446     fsw ft8, 84(s3)
1447
1448     flw ft8, 88(s3)
1449     fadd.s ft8, ft2, ft8
1450     fsw ft8, 88(s3)
1451
1452     flw ft8, 92(s3)
1453     fadd.s ft8, ft3, ft8
1454     fsw ft8, 92(s3)
1455
1456 //g
1457     flw ft8, 96(s3)
1458     fadd.s ft8, ft4, ft8
1459     fsw ft8, 96(s3)
1460
1461     flw ft8, 100(s3)
1462     fadd.s ft8, ft5, ft8
1463     fsw ft8, 100(s3)
1464
1465     flw ft8, 104(s3)
1466     fadd.s ft8, ft6, ft8
1467     fsw ft8, 104(s3)
1468
1469     flw ft8, 108(s3)
1470     fadd.s ft8, ft7, ft8
1471     fsw ft8, 108(s3)
1472
1473 //o
1474     flw ft8, 112(s3)
1475     fadd.s ft8, fa0, ft8
1476     fsw ft8, 112(s3)
1477
1478     flw ft8, 116(s3)
1479     fadd.s ft8, fa1, ft8
1480     fsw ft8, 116(s3)
1481
1482     flw ft8, 120(s3)
1483     fadd.s ft8, fa2, ft8
1484     fsw ft8, 120(s3)
1485
1486     flw ft8, 124(s3)
1487     fadd.s ft8, fa3, ft8
1488     fsw ft8, 124(s3)
1489
1490
1491 //WEIGHTS
1492 //s2 = weights_floats_hidden (gradients at offset +256)
1493 //add offset and load ht-1
1494 addi s5, s5, -16
1495     flw fs0, 0(s5)
1496     flw fs1, 4(s5)
1497     flw fs2, 8(s5)
1498     flw fs3, 12(s5)
1499 //ht-1 -> [fs0, ..., fs3]
1500 //dL/daot -> [fa0, ..., fa3]
1501 //dL/dait -> [fa4, ..., fa7]
1502 //dL/dagt -> [ft4, ..., ft7]
1503 //dL/daft -> [ft0, ..., ft3]
1504 //i
1505 // dL/dW = dL/da() * ht-1
1506     flw ft8, 256(s2)
1507     fmadd.s ft8, fa4, fs0, ft8
1508     fsw ft8, 256(s2)
1509
1510     flw ft8, 260(s2)

```

```

1511 fmadd.s ft8, fa4, fs1, ft8
1512 fsw ft8, 260(s2)
1513
1514 flw ft8, 264(s2)
1515 fmadd.s ft8, fa4, fs2, ft8
1516 fsw ft8, 264(s2)
1517
1518 flw ft8, 268(s2)
1519 fmadd.s ft8, fa4, fs3, ft8
1520 fsw ft8, 268(s2)
1521
1522
1523 flw ft8, 272(s2)
1524 fmadd.s ft8, fa5, fs0, ft8
1525 fsw ft8, 272(s2)
1526
1527 flw ft8, 276(s2)
1528 fmadd.s ft8, fa5, fs1, ft8
1529 fsw ft8, 276(s2)
1530
1531 flw ft8, 280(s2)
1532 fmadd.s ft8, fa5, fs2, ft8
1533 fsw ft8, 280(s2)
1534
1535 flw ft8, 284(s2)
1536 fmadd.s ft8, fa5, fs3, ft8
1537 fsw ft8, 284(s2)
1538
1539
1540 flw ft8, 288(s2)
1541 fmadd.s ft8, fa6, fs0, ft8
1542 fsw ft8, 288(s2)
1543
1544 flw ft8, 292(s2)
1545 fmadd.s ft8, fa6, fs1, ft8
1546 fsw ft8, 292(s2)
1547
1548 flw ft8, 296(s2)
1549 fmadd.s ft8, fa6, fs2, ft8
1550 fsw ft8, 296(s2)
1551
1552 flw ft8, 300(s2)
1553 fmadd.s ft8, fa6, fs3, ft8
1554 fsw ft8, 300(s2)
1555
1556
1557 flw ft8, 304(s2)
1558 fmadd.s ft8, fa7, fs0, ft8
1559 fsw ft8, 304(s2)
1560
1561 flw ft8, 308(s2)
1562 fmadd.s ft8, fa7, fs1, ft8
1563 fsw ft8, 308(s2)
1564
1565 flw ft8, 312(s2)
1566 fmadd.s ft8, fa7, fs2, ft8
1567 fsw ft8, 312(s2)
1568
1569 flw ft8, 316(s2)
1570 fmadd.s ft8, fa7, fs3, ft8
1571 fsw ft8, 316(s2)
1572
1573 //f
1574 //dL/daft -> [ft0, ..., ft3]
1575 flw ft8, 320(s2)
1576 fmadd.s ft8, ft0, fs0, ft8
1577 fsw ft8, 320(s2)
1578
1579 flw ft8, 324(s2)
1580 fmadd.s ft8, ft0, fs1, ft8
1581 fsw ft8, 324(s2)

```

```

1582
1583     flw ft8, 328(s2)
1584     fmadd.s ft8, ft0, fs2, ft8
1585     fsw ft8, 328(s2)
1586
1587     flw ft8, 332(s2)
1588     fmadd.s ft8, ft0, fs3, ft8
1589     fsw ft8, 332(s2)
1590
1591
1592     flw ft8, 336(s2)
1593     fmadd.s ft8, ft1, fs0, ft8
1594     fsw ft8, 336(s2)
1595
1596     flw ft8, 340(s2)
1597     fmadd.s ft8, ft1, fs1, ft8
1598     fsw ft8, 340(s2)
1599
1600     flw ft8, 344(s2)
1601     fmadd.s ft8, ft1, fs2, ft8
1602     fsw ft8, 344(s2)
1603
1604     flw ft8, 348(s2)
1605     fmadd.s ft8, ft1, fs3, ft8
1606     fsw ft8, 348(s2)
1607
1608
1609     flw ft8, 352(s2)
1610     fmadd.s ft8, ft2, fs0, ft8
1611     fsw ft8, 352(s2)
1612
1613     flw ft8, 356(s2)
1614     fmadd.s ft8, ft2, fs1, ft8
1615     fsw ft8, 356(s2)
1616
1617     flw ft8, 360(s2)
1618     fmadd.s ft8, ft2, fs2, ft8
1619     fsw ft8, 360(s2)
1620
1621     flw ft8, 364(s2)
1622     fmadd.s ft8, ft2, fs3, ft8
1623     fsw ft8, 364(s2)
1624
1625
1626     flw ft8, 368(s2)
1627     fmadd.s ft8, ft3, fs0, ft8
1628     fsw ft8, 368(s2)
1629
1630     flw ft8, 372(s2)
1631     fmadd.s ft8, ft3, fs1, ft8
1632     fsw ft8, 372(s2)
1633
1634     flw ft8, 376(s2)
1635     fmadd.s ft8, ft3, fs2, ft8
1636     fsw ft8, 376(s2)
1637
1638     flw ft8, 380(s2)
1639     fmadd.s ft8, ft3, fs3, ft8
1640     fsw ft8, 380(s2)
1641
1642 //g
1643 //dL/dagt -> [ft4, ..., ft7]
1644
1645     flw ft8, 384(s2)
1646     fmadd.s ft8, ft4, fs0, ft8
1647     fsw ft8, 384(s2)
1648
1649     flw ft8, 388(s2)
1650     fmadd.s ft8, ft4, fs1, ft8
1651     fsw ft8, 388(s2)
1652

```

```

1653 flw ft8, 392(s2)
1654 fmadd.s ft8, ft4, fs2, ft8
1655 fsw ft8, 392(s2)
1656
1657 flw ft8, 396(s2)
1658 fmadd.s ft8, ft4, fs3, ft8
1659 fsw ft8, 396(s2)
1660
1661
1662 flw ft8, 400(s2)
1663 fmadd.s ft8, ft5, fs0, ft8
1664 fsw ft8, 400(s2)
1665
1666 flw ft8, 404(s2)
1667 fmadd.s ft8, ft5, fs1, ft8
1668 fsw ft8, 404(s2)
1669
1670 flw ft8, 408(s2)
1671 fmadd.s ft8, ft5, fs2, ft8
1672 fsw ft8, 408(s2)
1673
1674 flw ft8, 412(s2)
1675 fmadd.s ft8, ft5, fs3, ft8
1676 fsw ft8, 412(s2)
1677
1678 flw ft8, 416(s2)
1679 fmadd.s ft8, ft6, fs0, ft8
1680 fsw ft8, 416(s2)
1681
1682 flw ft8, 420(s2)
1683 fmadd.s ft8, ft6, fs1, ft8
1684 fsw ft8, 420(s2)
1685
1686 flw ft8, 424(s2)
1687 fmadd.s ft8, ft6, fs2, ft8
1688 fsw ft8, 424(s2)
1689
1690 flw ft8, 428(s2)
1691 fmadd.s ft8, ft6, fs3, ft8
1692 fsw ft8, 428(s2)
1693
1694
1695
1696 flw ft8, 432(s2)
1697 fmadd.s ft8, ft7, fs0, ft8
1698 fsw ft8, 432(s2)
1699
1700 flw ft8, 436(s2)
1701 fmadd.s ft8, ft7, fs1, ft8
1702 fsw ft8, 436(s2)
1703
1704 flw ft8, 440(s2)
1705 fmadd.s ft8, ft7, fs2, ft8
1706 fsw ft8, 440(s2)
1707
1708 flw ft8, 444(s2)
1709 fmadd.s ft8, ft7, fs3, ft8
1710 fsw ft8, 444(s2)
1711
1712 //o
1713 //dL/daot -> [fa0, ..., fa3]
1714 flw ft8, 448(s2)
1715 fmadd.s ft8, fa0, fs0, ft8
1716 fsw ft8, 448(s2)
1717
1718 flw ft8, 452(s2)
1719 fmadd.s ft8, fa0, fs1, ft8
1720 fsw ft8, 452(s2)
1721
1722 flw ft8, 456(s2)
1723 fmadd.s ft8, fa0, fs2, ft8

```

```

1724     fsw ft8, 456(s2)
1725
1726     flw ft8, 460(s2)
1727     fmadd.s ft8, fa0, fs3, ft8
1728     fsw ft8, 460(s2)
1729
1730
1731     flw ft8, 464(s2)
1732     fmadd.s ft8, fa1, fs0, ft8
1733     fsw ft8, 464(s2)
1734
1735     flw ft8, 468(s2)
1736     fmadd.s ft8, fa1, fs1, ft8
1737     fsw ft8, 468(s2)
1738
1739     flw ft8, 472(s2)
1740     fmadd.s ft8, fa1, fs2, ft8
1741     fsw ft8, 472(s2)
1742
1743     flw ft8, 476(s2)
1744     fmadd.s ft8, fa1, fs3, ft8
1745     fsw ft8, 476(s2)
1746
1747
1748     flw ft8, 480(s2)
1749     fmadd.s ft8, fa2, fs0, ft8
1750     fsw ft8, 480(s2)
1751
1752     flw ft8, 484(s2)
1753     fmadd.s ft8, fa2, fs1, ft8
1754     fsw ft8, 484(s2)
1755
1756     flw ft8, 488(s2)
1757     fmadd.s ft8, fa2, fs2, ft8
1758     fsw ft8, 488(s2)
1759
1760     flw ft8, 492(s2)
1761     fmadd.s ft8, fa2, fs3, ft8
1762     fsw ft8, 492(s2)
1763
1764
1765     flw ft8, 496(s2)
1766     fmadd.s ft8, fa3, fs0, ft8
1767     fsw ft8, 496(s2)
1768
1769     flw ft8, 500(s2)
1770     fmadd.s ft8, fa3, fs1, ft8
1771     fsw ft8, 500(s2)
1772
1773     flw ft8, 504(s2)
1774     fmadd.s ft8, fa3, fs2, ft8
1775     fsw ft8, 504(s2)
1776
1777     flw ft8, 508(s2)
1778     fmadd.s ft8, fa3, fs3, ft8
1779     fsw ft8, 508(s2)
1780
1781
1782 //s1 = weights_floats_input
1783 //load xt (s0) -> [fs4, fs5, fs6, fs7, fs8]
1784     flw fs4, 0(s0)
1785     flw fs5, 4(s0)
1786     flw fs6, 8(s0)
1787     flw fs7, 12(s0)
1788     flw fs8, 16(s0)
1789
1790 //i
1791 //dL/dait -> [fa4, ..., fa7]
1792     flw ft8, 320(s1)
1793     fmadd.s ft8, fa4, fs4, ft8
1794     fsw ft8, 320(s1)

```

```

1795
1796 flw ft8, 324(s1)
1797 fmadd.s ft8, fa4, fs5, ft8
1798 fsw ft8, 324(s1)
1799
1800 flw ft8, 328(s1)
1801 fmadd.s ft8, fa4, fs6, ft8
1802 fsw ft8, 328(s1)
1803
1804 flw ft8, 332(s1)
1805 fmadd.s ft8, fa4, fs7, ft8
1806 fsw ft8, 332(s1)
1807
1808 flw ft8, 336(s1)
1809 fmadd.s ft8, fa4, fs8, ft8
1810 fsw ft8, 336(s1)
1811
1812 flw ft8, 340(s1)
1813 fmadd.s ft8, fa5, fs4, ft8
1814 fsw ft8, 340(s1)
1815
1816 flw ft8, 344(s1)
1817 fmadd.s ft8, fa5, fs5, ft8
1818 fsw ft8, 344(s1)
1819
1820 flw ft8, 348(s1)
1821 fmadd.s ft8, fa5, fs6, ft8
1822 fsw ft8, 348(s1)
1823
1824 flw ft8, 352(s1)
1825 fmadd.s ft8, fa5, fs7, ft8
1826 fsw ft8, 352(s1)
1827
1828 flw ft8, 356(s1)
1829 fmadd.s ft8, fa5, fs8, ft8
1830 fsw ft8, 356(s1)
1831
1832 flw ft8, 360(s1)
1833 fmadd.s ft8, fa6, fs4, ft8
1834 fsw ft8, 360(s1)
1835
1836 flw ft8, 364(s1)
1837 fmadd.s ft8, fa6, fs5, ft8
1838 fsw ft8, 364(s1)
1839
1840 flw ft8, 368(s1)
1841 fmadd.s ft8, fa6, fs6, ft8
1842 fsw ft8, 368(s1)
1843
1844 flw ft8, 372(s1)
1845 fmadd.s ft8, fa6, fs7, ft8
1846 fsw ft8, 372(s1)
1847
1848 flw ft8, 376(s1)
1849 fmadd.s ft8, fa6, fs8, ft8
1850 fsw ft8, 376(s1)
1851
1852 flw ft8, 380(s1)
1853 fmadd.s ft8, fa7, fs4, ft8
1854 fsw ft8, 380(s1)
1855
1856 flw ft8, 384(s1)
1857 fmadd.s ft8, fa7, fs5, ft8
1858 fsw ft8, 384(s1)
1859
1860 flw ft8, 388(s1)
1861 fmadd.s ft8, fa7, fs6, ft8
1862 fsw ft8, 388(s1)
1863
1864 flw ft8, 388(s1)
1865 fmadd.s ft8, fa7, fs6, ft8
1866 fsw ft8, 388(s1)

```

```

1866
1867     flw ft8, 392(s1)
1868     fmadd.s ft8, fa7, fs7, ft8
1869     fsw ft8, 392(s1)
1870
1871     flw ft8, 396(s1)
1872     fmadd.s ft8, fa7, fs8, ft8
1873     fsw ft8, 396(s1)
1874
1875 //f
1876 //dL/daft -> [ft0, ..., ft3] 400
1877     flw ft8, 400(s1)
1878     fmadd.s ft8, ft0, fs4, ft8
1879     fsw ft8, 400(s1)
1880
1881     flw ft8, 404(s1)
1882     fmadd.s ft8, ft0, fs5, ft8
1883     fsw ft8, 404(s1)
1884
1885     flw ft8, 408(s1)
1886     fmadd.s ft8, ft0, fs6, ft8
1887     fsw ft8, 408(s1)
1888
1889     flw ft8, 412(s1)
1890     fmadd.s ft8, ft0, fs7, ft8
1891     fsw ft8, 412(s1)
1892
1893     flw ft8, 416(s1)
1894     fmadd.s ft8, ft0, fs8, ft8
1895     fsw ft8, 416(s1)
1896
1897
1898     flw ft8, 420(s1)
1899     fmadd.s ft8, ft1, fs4, ft8
1900     fsw ft8, 420(s1)
1901
1902     flw ft8, 424(s1)
1903     fmadd.s ft8, ft1, fs5, ft8
1904     fsw ft8, 424(s1)
1905
1906     flw ft8, 428(s1)
1907     fmadd.s ft8, ft1, fs6, ft8
1908     fsw ft8, 428(s1)
1909
1910     flw ft8, 432(s1)
1911     fmadd.s ft8, ft1, fs7, ft8
1912     fsw ft8, 432(s1)
1913
1914     flw ft8, 436(s1)
1915     fmadd.s ft8, ft1, fs8, ft8
1916     fsw ft8, 436(s1)
1917
1918
1919     flw ft8, 440(s1)
1920     fmadd.s ft8, ft2, fs4, ft8
1921     fsw ft8, 440(s1)
1922
1923     flw ft8, 444(s1)
1924     fmadd.s ft8, ft2, fs5, ft8
1925     fsw ft8, 444(s1)
1926
1927     flw ft8, 448(s1)
1928     fmadd.s ft8, ft2, fs6, ft8
1929     fsw ft8, 448(s1)
1930
1931     flw ft8, 452(s1)
1932     fmadd.s ft8, ft2, fs7, ft8
1933     fsw ft8, 452(s1)
1934
1935     flw ft8, 456(s1)
1936     fmadd.s ft8, ft2, fs8, ft8

```

```

1937 fsw ft8, 456(s1)
1938
1939
1940 flw ft8, 460(s1)
1941 fmadd.s ft8, ft3, fs4, ft8
1942 fsw ft8, 460(s1)
1943
1944 flw ft8, 464(s1)
1945 fmadd.s ft8, ft3, fs5, ft8
1946 fsw ft8, 464(s1)
1947
1948 flw ft8, 468(s1)
1949 fmadd.s ft8, ft3, fs6, ft8
1950 fsw ft8, 468(s1)
1951
1952 flw ft8, 472(s1)
1953 fmadd.s ft8, ft3, fs7, ft8
1954 fsw ft8, 472(s1)
1955
1956 flw ft8, 476(s1)
1957 fmadd.s ft8, ft3, fs8, ft8
1958 fsw ft8, 476(s1)
1959
1960 //g
1961 //dL/dagt -> [ft4, ..., ft7]
1962 flw ft8, 480(s1)
1963 fmadd.s ft8, ft4, fs4, ft8
1964 fsw ft8, 480(s1)
1965
1966 flw ft8, 484(s1)
1967 fmadd.s ft8, ft4, fs5, ft8
1968 fsw ft8, 484(s1)
1969
1970 flw ft8, 488(s1)
1971 fmadd.s ft8, ft4, fs6, ft8
1972 fsw ft8, 488(s1)
1973
1974 flw ft8, 492(s1)
1975 fmadd.s ft8, ft4, fs7, ft8
1976 fsw ft8, 492(s1)
1977
1978 flw ft8, 496(s1)
1979 fmadd.s ft8, ft4, fs8, ft8
1980 fsw ft8, 496(s1)
1981
1982
1983 flw ft8, 500(s1)
1984 fmadd.s ft8, ft5, fs4, ft8
1985 fsw ft8, 500(s1)
1986
1987 flw ft8, 504(s1)
1988 fmadd.s ft8, ft5, fs5, ft8
1989 fsw ft8, 504(s1)
1990
1991 flw ft8, 508(s1)
1992 fmadd.s ft8, ft5, fs6, ft8
1993 fsw ft8, 508(s1)
1994
1995 flw ft8, 512(s1)
1996 fmadd.s ft8, ft5, fs7, ft8
1997 fsw ft8, 512(s1)
1998
1999 flw ft8, 516(s1)
2000 fmadd.s ft8, ft5, fs8, ft8
2001 fsw ft8, 516(s1)
2002
2003
2004 flw ft8, 520(s1)
2005 fmadd.s ft8, ft6, fs4, ft8
2006 fsw ft8, 520(s1)
2007

```

```

2008    flw ft8, 524(s1)
2009    fmadd.s ft8, ft6, fs5, ft8
2010    fsw ft8, 524(s1)
2011
2012    flw ft8, 528(s1)
2013    fmadd.s ft8, ft6, fs6, ft8
2014    fsw ft8, 528(s1)
2015
2016    flw ft8, 532(s1)
2017    fmadd.s ft8, ft6, fs7, ft8
2018    fsw ft8, 532(s1)
2019
2020    flw ft8, 536(s1)
2021    fmadd.s ft8, ft6, fs8, ft8
2022    fsw ft8, 536(s1)
2023
2024
2025    flw ft8, 540(s1)
2026    fmadd.s ft8, ft7, fs4, ft8
2027    fsw ft8, 540(s1)
2028
2029    flw ft8, 544(s1)
2030    fmadd.s ft8, ft7, fs5, ft8
2031    fsw ft8, 544(s1)
2032
2033    flw ft8, 548(s1)
2034    fmadd.s ft8, ft7, fs6, ft8
2035    fsw ft8, 548(s1)
2036
2037    flw ft8, 552(s1)
2038    fmadd.s ft8, ft7, fs7, ft8
2039    fsw ft8, 552(s1)
2040
2041    flw ft8, 556(s1)
2042    fmadd.s ft8, ft7, fs8, ft8
2043    fsw ft8, 556(s1)
2044
2045    //o
2046    //dL/daot -> [fa0, ..., fa3]
2047    flw ft8, 560(s1)
2048    fmadd.s ft8, fa0, fs4, ft8
2049    fsw ft8, 560(s1)
2050
2051    flw ft8, 564(s1)
2052    fmadd.s ft8, fa0, fs5, ft8
2053    fsw ft8, 564(s1)
2054
2055    flw ft8, 568(s1)
2056    fmadd.s ft8, fa0, fs6, ft8
2057    fsw ft8, 568(s1)
2058
2059    flw ft8, 572(s1)
2060    fmadd.s ft8, fa0, fs7, ft8
2061    fsw ft8, 572(s1)
2062
2063    flw ft8, 576(s1)
2064    fmadd.s ft8, fa0, fs8, ft8
2065    fsw ft8, 576(s1)
2066
2067
2068    flw ft8, 580(s1)
2069    fmadd.s ft8, fa1, fs4, ft8
2070    fsw ft8, 580(s1)
2071
2072    flw ft8, 584(s1)
2073    fmadd.s ft8, fa1, fs5, ft8
2074    fsw ft8, 584(s1)
2075
2076    flw ft8, 588(s1)
2077    fmadd.s ft8, fa1, fs6, ft8
2078    fsw ft8, 588(s1)

```

```

2079
2080 flw ft8, 592(s1)
2081 fmadd.s ft8, fa1, fs7, ft8
2082 fsw ft8, 592(s1)
2083
2084 flw ft8, 596(s1)
2085 fmadd.s ft8, fa1, fs8, ft8
2086 fsw ft8, 596(s1)
2087
2088
2089 flw ft8, 600(s1)
2090 fmadd.s ft8, fa2, fs4, ft8
2091 fsw ft8, 600(s1)
2092
2093 flw ft8, 604(s1)
2094 fmadd.s ft8, fa2, fs5, ft8
2095 fsw ft8, 604(s1)
2096
2097 flw ft8, 608(s1)
2098 fmadd.s ft8, fa2, fs6, ft8
2099 fsw ft8, 608(s1)
2100
2101 flw ft8, 612(s1)
2102 fmadd.s ft8, fa2, fs7, ft8
2103 fsw ft8, 612(s1)
2104
2105 flw ft8, 616(s1)
2106 fmadd.s ft8, fa2, fs8, ft8
2107 fsw ft8, 616(s1)
2108
2109
2110 flw ft8, 620(s1)
2111 fmadd.s ft8, fa3, fs4, ft8
2112 fsw ft8, 620(s1)
2113
2114 flw ft8, 624(s1)
2115 fmadd.s ft8, fa3, fs5, ft8
2116 fsw ft8, 624(s1)
2117
2118 flw ft8, 628(s1)
2119 fmadd.s ft8, fa3, fs6, ft8
2120 fsw ft8, 628(s1)
2121
2122 flw ft8, 632(s1)
2123 fmadd.s ft8, fa3, fs7, ft8
2124 fsw ft8, 632(s1)
2125
2126 flw ft8, 636(s1)
2127 fmadd.s ft8, fa3, fs8, ft8
2128 fsw ft8, 636(s1)
2129
2130
2131 //get dL/dht-1 -> [fs4, ..., fs7]
2132
2133 //dL/dait -> [fa4, ..., fa7]
2134 //dL/daft -> [ft0, ..., ft3]
2135 //dL/dagt -> [ft4, ..., ft7]
2136 //dL/daot -> [fa0, ..., fa3]
2137 //s2 = weights_floats_hidden
2138
2139 //i
2140 flw ft8, 0(s2)
2141 fmuls fs4, fa4, ft8
2142 flw ft8, 4(s2)
2143 fmuls fs5, fa4, ft8
2144 flw ft8, 8(s2)
2145 fmuls fs6, fa4, ft8
2146 flw ft8, 12(s2)
2147 fmuls fs7, fa4, ft8
2148
2149 flw ft8, 16(s2)

```

```

2150   fmadd.s fs4, fa5, ft8, fs4
2151   flw ft8, 20(s2)
2152   fmadd.s fs5, fa5, ft8, fs5
2153   flw ft8, 24(s2)
2154   fmadd.s fs6, fa5, ft8, fs6
2155   flw ft8, 28(s2)
2156   fmadd.s fs7, fa5, ft8, fs7
2157
2158   flw ft8, 32(s2)
2159   fmadd.s fs4, fa6, ft8, fs4
2160   flw ft8, 36(s2)
2161   fmadd.s fs5, fa6, ft8, fs5
2162   flw ft8, 40(s2)
2163   fmadd.s fs6, fa6, ft8, fs6
2164   flw ft8, 44(s2)
2165   fmadd.s fs7, fa6, ft8, fs7
2166
2167   flw ft8, 48(s2)
2168   fmadd.s fs4, fa7, ft8, fs4
2169   flw ft8, 52(s2)
2170   fmadd.s fs5, fa7, ft8, fs5
2171   flw ft8, 56(s2)
2172   fmadd.s fs6, fa7, ft8, fs6
2173   flw ft8, 60(s2)
2174   fmadd.s fs7, fa7, ft8, fs7
2175
2176 //f
2177   flw ft8, 64(s2)
2178   fmadd.s fs4, ft0, ft8, fs4
2179   flw ft8, 68(s2)
2180   fmadd.s fs5, ft0, ft8, fs5
2181   flw ft8, 72(s2)
2182   fmadd.s fs6, ft0, ft8, fs6
2183   flw ft8, 76(s2)
2184   fmadd.s fs7, ft0, ft8, fs7
2185
2186   flw ft8, 80(s2)
2187   fmadd.s fs4, ft1, ft8, fs4
2188   flw ft8, 84(s2)
2189   fmadd.s fs5, ft1, ft8, fs5
2190   flw ft8, 88(s2)
2191   fmadd.s fs6, ft1, ft8, fs6
2192   flw ft8, 92(s2)
2193   fmadd.s fs7, ft1, ft8, fs7
2194
2195   flw ft8, 96(s2)
2196   fmadd.s fs4, ft2, ft8, fs4
2197   flw ft8, 100(s2)
2198   fmadd.s fs5, ft2, ft8, fs5
2199   flw ft8, 104(s2)
2200   fmadd.s fs6, ft2, ft8, fs6
2201   flw ft8, 108(s2)
2202   fmadd.s fs7, ft2, ft8, fs7
2203
2204   flw ft8, 112(s2)
2205   fmadd.s fs4, ft3, ft8, fs4
2206   flw ft8, 116(s2)
2207   fmadd.s fs5, ft3, ft8, fs5
2208   flw ft8, 120(s2)
2209   fmadd.s fs6, ft3, ft8, fs6
2210   flw ft8, 124(s2)
2211   fmadd.s fs7, ft3, ft8, fs7
2212
2213 //g
2214   flw ft8, 128(s2)
2215   fmadd.s fs4, ft4, ft8, fs4
2216   flw ft8, 132(s2)
2217   fmadd.s fs5, ft4, ft8, fs5
2218   flw ft8, 136(s2)
2219   fmadd.s fs6, ft4, ft8, fs6
2220   flw ft8, 140(s2)

```

```

2221 fmadd.s fs7, ft4, ft8, fs7
2222
2223 flw ft8, 144(s2)
2224 fmadd.s fs4, ft5, ft8, fs4
2225 flw ft8, 148(s2)
2226 fmadd.s fs5, ft5, ft8, fs5
2227 flw ft8, 152(s2)
2228 fmadd.s fs6, ft5, ft8, fs6
2229 flw ft8, 156(s2)
2230 fmadd.s fs7, ft5, ft8, fs7
2231
2232 flw ft8, 160(s2)
2233 fmadd.s fs4, ft6, ft8, fs4
2234 flw ft8, 164(s2)
2235 fmadd.s fs5, ft6, ft8, fs5
2236 flw ft8, 168(s2)
2237 fmadd.s fs6, ft6, ft8, fs6
2238 flw ft8, 172(s2)
2239 fmadd.s fs7, ft6, ft8, fs7
2240
2241 flw ft8, 176(s2)
2242 fmadd.s fs4, ft7, ft8, fs4
2243 flw ft8, 180(s2)
2244 fmadd.s fs5, ft7, ft8, fs5
2245 flw ft8, 184(s2)
2246 fmadd.s fs6, ft7, ft8, fs6
2247 flw ft8, 188(s2)
2248 fmadd.s fs7, ft7, ft8, fs7
2249
2250 //o
2251 flw ft8, 192(s2)
2252 fmadd.s fs4, fa0, ft8, fs4
2253 flw ft8, 196(s2)
2254 fmadd.s fs5, fa0, ft8, fs5
2255 flw ft8, 200(s2)
2256 fmadd.s fs6, fa0, ft8, fs6
2257 flw ft8, 204(s2)
2258 fmadd.s fs7, fa0, ft8, fs7
2259
2260 flw ft8, 208(s2)
2261 fmadd.s fs4, fa1, ft8, fs4
2262 flw ft8, 212(s2)
2263 fmadd.s fs5, fa1, ft8, fs5
2264 flw ft8, 216(s2)
2265 fmadd.s fs6, fa1, ft8, fs6
2266 flw ft8, 220(s2)
2267 fmadd.s fs7, fa1, ft8, fs7
2268
2269 flw ft8, 224(s2)
2270 fmadd.s fs4, fa2, ft8, fs4
2271 flw ft8, 228(s2)
2272 fmadd.s fs5, fa2, ft8, fs5
2273 flw ft8, 232(s2)
2274 fmadd.s fs6, fa2, ft8, fs6
2275 flw ft8, 236(s2)
2276 fmadd.s fs7, fa2, ft8, fs7
2277
2278 flw ft8, 240(s2)
2279 fmadd.s fs4, fa3, ft8, fs4
2280 flw ft8, 244(s2)
2281 fmadd.s fs5, fa3, ft8, fs5
2282 flw ft8, 248(s2)
2283 fmadd.s fs6, fa3, ft8, fs6
2284 flw ft8, 252(s2)
2285 fmadd.s fs7, fa3, ft8, fs7
2286
2287
2288 //get dL/dht-1 -> [fs4, ..., fs7]
2289 //ht-1 -> [fs0, ..., fs3]
2290
2291 //offset pointers to t-1

```

```

2292 //addi s5, s5, -16 //ht already at t-1
2293 addi s6, s6, -16 //ct
2294 addi s7, s7, -16 //tanhct
2295 addi s8, s8, -16 //ifgo
2296
2297
2298
2299 //TODO: LOOP LSTM BACKPROP WITH BNEZ A7
2300 //TODO: OFFSET SO BY -1 ROW EACH TIME, THEN 1 ROW BEFORE RESTARTING AND REMOVE -160
2301 //      OFFSET INSTRUCTION AT THE END
2302 //offset inputs by 1 timestep (1 row = -20)
2303 addi s0, s0, -20
2304 bnez a7, begin_backprop_lstm
2305
2306 //---- FORWARD PASS END ----
2307 //restart, with input and output offset
2308 //input(s0): go back 8 rows = -160
2309 //** CHANGE: s0 is at -20 from its initial offset -> move 2 rows forward
2310 //addi s0, s0, -160
2311 addi s0, s0, 40
2312
2313 //output(a5) offset -> 1 float = +4
2314 addi a5, a5, 4
2315
2316 //"add" -1 to the FeedForward counter (s11)
2317 //loop feed forward 3797 times
2318 //repeat until counter reaches 0
2319 addi s11, s11, -1
2320
2321 //if s11 != 0 -> repeat
2322 bnez s11, forward_pass_full_restart
2323
2324
2325 //divide parameters by train size. Divide lstm params by an extra 10
2326 //ADAM
2327 //set all gradients to 0 at the end (S & P stay)
2328 //skip_to_adam_for_test:
2329 //-----
2330 //----- ADAM -----
2331 //-----
2332 // 0 = parameter
2333 //P = P * beta1 + (1-beta1)* dL/d0
2334 //S = S * beta2 + (1-beta2)* dL/d0*dL/d0
2335 //PP = P/(1- beta1^(t))
2336 //SS = S/(1- beta2^(t))
2337 //0 = 0 - lr*PP/sqrt(SS)
2338
2339 //load betas and learning rate
2340 la t0, betas_and_others
2341 //learning rate
2342 flw fs0, 16(t0)
2343 //betas
2344 flw fs1, 0(t0)//beta1
2345 flw fs2, 4(t0)//beta2
2346
2347 flw fs3, 8(t0)//beta1^(t)
2348 fmuls fs3, fs3, fs1
2349 fsw fs3, 8(t0)//store for t+1
2350 fsub.s fs3, fs11, fs3 //1-beta1^t
2351
2352 flw fs4, 12(t0)//beta2^(t)
2353 fmuls fs4, fs4, fs2
2354 fsw fs4, 12(t0)//store for t+1
2355 fsub.s fs4, fs11, fs4 //1-beta2^t
2356
2357 //other floats used for division
2358 flw fs5, 20(t0)//3342.0
2359 //flw fs6, 20(t0)//10.0
2360
2361 //load an epsilon to avoid division by zero

```

```

2362 flw fs6, 28(t0)
2363
2364 //ft0 = zero, to set gradients after adam
2365 fmv.s.x ft0, x0
2366
2367
2368 //-----fc
2369 //a4 -> fc_weight_and_bias
2370 //bias
2371 flw fa0, 256(a4)
2372 flw fa1, 1028(a4)
2373 flw fa2, 1032(a4)
2374 flw fa3, 1036(a4)
2375 jal a0, adam_crit
2376 fsw fa0, 256(a4)
2377 fsw ft0, 1028(a4)//set gradient to x0
2378 fsw fa2, 1032(a4)
2379 fsw fa3, 1036(a4)
2380
2381 //weights
2382 //0
2383 flw fa0, 0(a4)
2384 flw fa1, 260(a4)
2385 flw fa2, 516(a4)
2386 flw fa3, 772(a4)
2387 jal a0, adam_crit
2388 fsw fa0, 0(a4)
2389 fsw ft0, 260(a4)
2390 fsw fa2, 516(a4)
2391 fsw fa3, 772(a4)
2392
2393 //1
2394 flw fa0, 4(a4)
2395 flw fa1, 264(a4)
2396 flw fa2, 520(a4)
2397 flw fa3, 776(a4)
2398 jal a0, adam_crit
2399 fsw fa0, 4(a4)
2400 fsw ft0, 264(a4)
2401 fsw fa2, 520(a4)
2402 fsw fa3, 776(a4)
2403
2404 //-----
2405 //THIS CODE REPEATS A TOTAL OF 64 TIMES
2406 //REMOVED DUPLICATES FOR READABILITY
2407 //-----
2408
2409 //63
2410 flw fa0, 252(a4)
2411 flw fa1, 512(a4)
2412 flw fa2, 768(a4)
2413 flw fa3, 1024(a4)
2414 jal a0, adam_crit
2415 fsw fa0, 252(a4)
2416 fsw ft0, 512(a4)
2417 fsw fa2, 768(a4)
2418 fsw fa3, 1024(a4)
2419
2420 //-----fc1
2421 //-----bias
2422 //a2 -> fc_1_bias
2423
2424 //0
2425 flw fa0, 0(a2)
2426 flw fa1, 256(a2)
2427 flw fa2, 512(a2)
2428 flw fa3, 768(a2)
2429 jal a0, adam_crit
2430 fsw fa0, 0(a2)
2431 fsw ft0, 256(a2)
2432 fsw fa2, 512(a2)

```

```

2433     fsw fa3, 768(a2)
2434
2435     //1
2436     flw fa0, 4(a2)
2437     flw fa1, 260(a2)
2438     flw fa2, 516(a2)
2439     flw fa3, 772(a2)
2440     jal a0, adam_crit
2441     fsw fa0, 4(a2)
2442     fsw ft0, 260(a2)
2443     fsw fa2, 516(a2)
2444     fsw fa3, 772(a2)
2445
2446     //-----
2447     //THIS CODE REPEATS A TOTAL OF 64 TIMES
2448     //REMOVED DUPLICATES FOR READABILITY
2449     //-----
2450
2451     //63
2452     flw fa0, 252(a2)
2453     flw fa1, 508(a2)
2454     flw fa2, 764(a2)
2455     flw fa3, 1020(a2)
2456     jal a0, adam_crit
2457     fsw fa0, 252(a2)
2458     fsw ft0, 508(a2)
2459     fsw fa2, 764(a2)
2460     fsw fa3, 1020(a2)
2461
2462
2463     //-----weights
2464     //a1 -> fc_1_weight
2465     //0
2466     //cannot use offsets bigger than 2047
2467     addi t5, a1, 1024
2468     addi t5, t5, 1024
2469     flw fa0, 0(a1)
2470     flw fa1, 1024(a1)
2471     flw fa2, 0(t5)
2472     flw fa3, 1024(t5)
2473     jal a0, adam_crit
2474     fsw fa0, 0(a1)
2475     fsw ft0, 1024(a1)
2476     fsw fa2, 0(t5)
2477     fsw fa3, 1024(t5)
2478
2479     //1
2480     flw fa0, 4(a1)
2481     flw fa1, 1028(a1)
2482     flw fa2, 4(t5)
2483     flw fa3, 1028(t5)
2484     jal a0, adam_crit
2485     fsw fa0, 4(a1)
2486     fsw ft0, 1028(a1)
2487     fsw fa2, 4(t5)
2488     fsw fa3, 1028(t5)
2489
2490     //-----
2491     //THIS CODE REPEATS A TOTAL OF 256 TIMES
2492     //REMOVED DUPLICATES FOR READABILITY
2493     //-----
2494
2495     //255
2496     flw fa0, 1020(a1)
2497     flw fa1, 2044(a1)
2498     flw fa2, 1020(t5)
2499     flw fa3, 2044(t5)
2500     jal a0, adam_crit
2501     fsw fa0, 1020(a1)
2502     fsw ft0, 2044(a1)
2503     fsw fa2, 1020(t5)

```

```

2504 fsw fa3, 2044(t5)
2505
2506
2507 //-----LSTM
2508 //multiply fs5 by 10 (because of gradient averaging)
2509 flw ft1, 24(t0)//10.0
2510 fnmul.s fs5, fs5, ft1
2511 //WEIGHTS
2512 //INPUT
2513 //s1 = weights_floats_input
2514 //0
2515 flw fa0, 0(s1)
2516 flw fa1, 320(s1)
2517 flw fa2, 640(s1)
2518 flw fa3, 960(s1)
2519 jal a0, adam_crit
2520 fsw fa0, 0(s1)
2521 fsw ft0, 320(s1)
2522 fsw fa2, 640(s1)
2523 fsw fa3, 960(s1)
2524
2525 //1
2526 flw fa0, 4(s1)
2527 flw fa1, 324(s1)
2528 flw fa2, 644(s1)
2529 flw fa3, 964(s1)
2530 jal a0, adam_crit
2531 fsw fa0, 4(s1)
2532 fsw ft0, 324(s1)
2533 fsw fa2, 644(s1)
2534 fsw fa3, 964(s1)
2535
2536 //-----THIS CODE REPEATS A TOTAL OF 80 TIMES
2537 //REMOVED DUPLICATES FOR READABILITY
2538 //-----HIDDEN
2539
2540
2541 //79
2542 flw fa0, 316(s1)
2543 flw fa1, 636(s1)
2544 flw fa2, 956(s1)
2545 flw fa3, 1276(s1)
2546 jal a0, adam_crit
2547 fsw fa0, 316(s1)
2548 fsw ft0, 636(s1)
2549 fsw fa2, 956(s1)
2550 fsw fa3, 1276(s1)
2551
2552
2553 //-----HIDDEN
2554 //s2 = weights_floats_hidden
2555 //0
2556 flw fa0, 0(s2)
2557 flw fa1, 256(s2)
2558 flw fa2, 512(s2)
2559 flw fa3, 768(s2)
2560 jal a0, adam_crit
2561 fsw fa0, 0(s2)
2562 fsw ft0, 256(s2)
2563 fsw fa2, 512(s2)
2564 fsw fa3, 768(s2)
2565
2566 //1
2567 flw fa0, 4(s2)
2568 flw fa1, 260(s2)
2569 flw fa2, 516(s2)
2570 flw fa3, 772(s2)
2571 jal a0, adam_crit
2572 fsw fa0, 4(s2)
2573 fsw ft0, 260(s2)
2574 fsw fa2, 516(s2)

```

```

2575     fsw fa3, 772(s2)
2576
2577 //-----
2578 //THIS CODE REPEATS A TOTAL OF 64 TIMES
2579 //REMOVED DUPLICATES FOR READABILITY
2580 //-----
2581
2582 //63
2583     flw fa0, 252(s2)
2584     flw fa1, 508(s2)
2585     flw fa2, 764(s2)
2586     flw fa3, 1020(s2)
2587     jal a0, adam_crit
2588     fsw fa0, 252(s2)
2589     fsw ft0, 508(s2)
2590     fsw fa2, 764(s2)
2591     fsw fa3, 1020(s2)
2592
2593
2594 //----- BIASES
2595 //s3 = biases_floats_input
2596 //s4 = biases_floats_hidden
2597 //this one is different because s3 and s4 share the same gradients, P and S
2598 //0
2599     flw fa0, 0(s3)
2600     flw fa1, 64(s3)
2601     flw fa2, 128(s3)
2602     flw fa3, 192(s3)
2603     flw fa4, 0(s4)
2604     jal a0, adam_crit
2605     fnmsub.s fa4, fs0, ft2, fa4
2606     fsw fa0, 0(s3)
2607     fsw ft0, 64(s3)
2608     fsw fa2, 128(s3)
2609     fsw fa3, 192(s3)
2610     fsw fa4, 0(s4)
2611
2612 //-----
2613 //THIS CODE REPEATS A TOTAL OF 16 TIMES
2614 //REMOVED DUPLICATES FOR READABILITY
2615 //-----
2616
2617 //15
2618     flw fa0, 60(s3)
2619     flw fa1, 124(s3)
2620     flw fa2, 188(s3)
2621     flw fa3, 252(s3)
2622     flw fa4, 60(s4)
2623     jal a0, adam_crit
2624     fnmsub.s fa4, fs0, ft2, fa4
2625     fsw fa0, 60(s3)
2626     fsw ft0, 124(s3)
2627     fsw fa2, 188(s3)
2628     fsw fa3, 252(s3)
2629     fsw fa4, 60(s4)
2630
2631
2632 //-----
2633 //-----
2634 //-----
2635 //END
2636
2637 //epoch check
2638 addi t6, t6, -1
2639 bnez t6, full_epoch_restart
2640
2641 call exit
2642
2643 adam_crit:
2644 //apply adam, where fa0=PARAM (0) , fa1=GRADIENT (dL/d0) , fa2=P , fa3=S
2645 //betas_and_others values must be preloaded

```

```

2646 //fs0=learning_rate , fs1=beta1 , fs2=beta2 , fs3=1-beta1^t , fs4=1-beta2^t , fs5=
2647     gradient_divisor
2648 //fs6=epsilon
2649 //returns adjusted param in fa0, new P in fa2 and new S in fa3
2649 //must be called with jal a0, adam_crit
2650
2651     ----- divides gradient fa1 by fs5
2652 fdiv.s fa1, fa1, fs5
2653
2654     ---- P = P * beta1 + (1-beta1)* dL/d0
2655     //      = P * beta1 + (dL/d0 - beta1*dL/d0)
2656     //-(beta1*dL/d0) + dL/d0
2657 fnmsub.s ft1, fs1, fa1, fa1
2658 //P = P * beta1 + ans
2659 fmadd.s fa2, fa2, fs1, ft1
2660
2661     ---- S = S * beta2 + (1-beta2)* dL/d0*dL/d0
2662     //      = S * beta2 + ((dL/d0*dL/d0)-beta2 * (dL/d0*dL/d0))
2663     //dL/d0*dL/d0
2664 fnmul.s fa1, fa1, fa1
2665 //-(ans * beta2) + ans
2666 fnmsub.s ft1, fa1, fs2, fa1
2667 //S = S * beta2 + ans
2668 fmadd.s fa3, fa3, fs2, ft1
2669
2670     ---- PP = P/(1- beta1^(t))
2671 fdiv.s ft2, fa2, fs3
2672
2673     ---- SS = S/(1- beta2^(t))
2674 fdiv.s ft3, fa3, fs4
2675
2676     ---- O = 0 - lr*PP/(sqrt(SS)+epsilon)
2677 //sqrt(SS)
2678 fsqrt.s ft3, ft3
2679 //ans + epsilon
2680 fadd.s ft3, ft3, fs6
2681 //PP / ans
2682 fdiv.s ft2, ft2, ft3
2683 //O -= (lr*ans) + 0
2684 fnmsub.s fa0, fs0, ft2, fa0
2685
2686     ----- finish
2687 jr a0
2688
2689
2690 tanh_fa6:
2691 //apply tanh(x) where x = fa6
2692 //if -2 < x < 2 -> tanh = x - 0.25*x *sign(x)
2693 //else tanh=sign(x)
2694 //tanh result stored in fa7
2695 //must be called with jal a0, tanh_fa6
2696
2697
2698     ---- load address of floats to be used
2699 la t1, tanh_floats
2700
2701     ---- load 2 in ft10 and check if abs(x)<2
2702 flw ft10, 0(t1) //ft10 = 2
2703 fabs.s ft11, fa6 //ft11 = abs(x)
2704 flt.s t2, ft11, ft10 //t2 == 1 if |x|<2
2705 beqz t2, tanh_is_not_in_curve // t2 ==0 -> skip to return sign(x)
2706
2707     ---- else: do x - 0.25*x *sign(x)
2708 //x
2709 fnmul.s fa7, fa6, fa6
2710 //ans*sign(x)
2711 fsgnj.s fa7, fa7, fa6 //sign inject fa7(ans) with fa6(x) sign
2712 //-(ans*0.25)+x
2713 flw ft10, 4(t1); // ft10 = 0.25
2714 fnmsub.s fa7, fa7, ft10, fa6
2715

```

```

2716 //---- finish
2717 jr a0
2718
2719 //---- x < -2 or 2 < x
2720 tanh_is_not_in_curve: //return sign
2721 fsgnj.s fa7, fs11, fa6
2722
2723 jr a0
2724 //---- end of tanh
2725
2726 sig_fa6:
2727 //apply sigmoid(x) where x = fa6
2728 //if x <= -4 -> sig = 0
2729 // -4 < x < 4 -> sig = 0.5 + 0.25*x - 0.03125*x *sign(x)
2730 // 4 <= x -> sig = 1
2731 //sig result stored in fa7
2732 //must be called with jal a0, sig_fa6
2733
2734
2735 //---- load address of floats to be used
2736 la t1, sig_floats
2737
2738 //---- load 4 and check if abs(x)<4
2739 flw ft10, 0(t1) //ft10 = 4
2740 fabs.s ft11, fa6 //ft11 = abs(x)
2741 flt.s t2, ft11, ft10 //t2 == 1 if |x|<4
2742 beqz t2, sig_is_not_in_curve // t2 ==0 -> skip to return 0 or 1
2743
2744 //---- sig = 0.5 + 0.25*x - 0.03125*x *sign(x)
2745 //x
2746 fmuls.s fa7, fa6, fa6
2747 //ans*sign(x)
2748 fsgnj.s fa7, fa7, fa6 //sign inject fa7(ans) with fa6(x) sign
2749 //-(ans*0.03125)+0.5
2750 flw ft10, 4(t1) // ft10 = 0.5
2751 flw ft11, 12(t1) // ft11 = 0.03125
2752 fnmsub.s fa7, fa7, ft11, ft10 //fa7 = -(fa7 * ft11) + ft10
2753
2754 // (0.25*x)+ans
2755 flw ft10, 8(t1) // ft10 = 0.25
2756 fmadd.s fa7, ft10, fa6, fa7 //fa7 = (fa7 * ft10) + fa7
2757
2758 //---- finish
2759 jr a0
2760
2761 //---- x < -4 or 4 < x
2762 sig_is_not_in_curve:
2763 // 4 <= x?
2764 fle.s t2, ft10, fa6 //t2==1 if 4<=x , else (x < -4) t2==0
2765 fcvt.s.w fa7, t2 //fa7 = float(t2)
2766
2767 jr a0
2768 //---- end of sigmoid

```

RISC-V ISA

A continuación se muestran las instrucciones de la *ISA RISC-V*. Obtenido en [23].

Free & Open RISC-V Reference Card ①

Base Integer Instructions: RV32I, RV64I, and RV128I						RV Privileged Instructions						
Category	Name	Fmt	RV32I Base			+RV{64,128}			Category	Name	RV mnemonic	
Loads	Load Byte	I	LB	rd,rs1,imm					CSR Access	Atomic R/W	CSRRW rd,csr,rs1	
	Load Halfword	I	LH	rd,rs1,imm						Atomic Read & Set Bit	CSRRS rd,csr,rs1	
	Load Word	I	LW	rd,rs1,imm	L{D Q}	rd,rs1,imm				Atomic Read & Clear Bit	CSRRC rd,csr,rs1	
	Load Byte Unsigned	I	LBU	rd,rs1,imm	L{W D}U	rd,rs1,imm				Atomic R/W Imm	CSRRWI rd,csr,imm	
	Load Half Unsigned	I	LHU	rd,rs1,imm						Atomic Read & Set Bit Imm	CSRRSI rd,csr,imm	
Stores	Store Byte	S	SB	rs1,rs2,imm						Atomic Read & Clear Bit Imm	CSRRCI rd,csr,imm	
	Store Halfword	S	SH	rs1,rs2,imm								
	Store Word	S	SW	rs1,rs2,imm	S{D Q}	rs1,rs2,imm			Change Level	Env. Call	ECALL	
Shifts	Shift Left	R	SLL	rd,rs1,rs2	SLL{W D}	rd,rs1,rs2				Environment Breakpoint	EBREAK	
	Shift Left Immediate	I	SLLI	rd,rs1,shamt	SLLI{W D}	rd,rs1,shamt					Environment Return	ERET
	Shift Right	R	SRL	rd,rs1,rs2	SRL{W D}	rd,rs1,rs2			Trap Redirect	to Supervisor	MRTS	
	Shift Right Immediate	I	SRLI	rd,rs1,shamt	SRLI{W D}	rd,rs1,shamt				Redirect Trap to Hypervisor	MRTTH	
	Shift Right Arithmetic	R	SRA	rd,rs1,rs2	SRA{W D}	rd,rs1,rs2				Hypervisor Trap to Supervisor	HRTS	
	Shift Right Arith Imm	I	SRAI	rd,rs1,shamt	SRAI{W D}	rd,rs1,shamt			Interrupt	Wait for Interrupt	WFI	
Arithmetic	ADD	R	ADD	rd,rs1,rs2	ADD{W D}	rd,rs1,rs2			MMU	Supervisor FENCE	SFENCE.VM rs1	
	ADD Immediate	I	ADDI	rd,rs1,imm	ADDI{W D}	rd,rs1,imm						
	SUBtract	R	SUB	rd,rs1,rs2	SUB{W D}	rd,rs1,rs2						
	Load Upper Imm	U	LUI	rd,imm								
	Add Upper Imm to PC	U	AUIPC	rd,imm								
Logical	XOR	R	XOR	rd,rs1,rs2								
	XOR Immediate	I	XORI	rd,rs1,imm								
	OR	R	OR	rd,rs1,rs2								
	OR Immediate	I	ORI	rd,rs1,imm								
	AND	R	AND	rd,rs1,rs2								
	AND Immediate	I	ANDI	rd,rs1,imm								
Compare	Set <	R	SLT	rd,rs1,rs2								
	Set < Immediate	I	SLTI	rd,rs1,imm								
	Set < Unsigned	R	SLTU	rd,rs1,rs2								
	Set < Imm Unsigned	I	SLTIU	rd,rs1,imm								
Branches	Branch =	SB	BEQ	rs1,rs2,imm								
	Branch ≠	SB	BNE	rs1,rs2,imm								
	Branch <	SB	BLT	rs1,rs2,imm								
	Branch ≥	SB	BGE	rs1,rs2,imm								
	Branch < Unsigned	SB	BLTU	rs1,rs2,imm								
	Branch ≥ Unsigned	SB	BGEU	rs1,rs2,imm								
Jump & Link	J&L	UJ	JAL	rd,imm								
	Jump & Link Register	UJ	JALR	rd,rs1,imm								
Synch	Synch thread	I	FENCE									
	Synch Instr & Data	I	FENCE.I									
System	System CALL	I	SCALL									
	System BREAK	I	SBREAK									
Counters	Read CYCLE	I	RDCYCLE	rd								
	Read CYCLE upper Half	I	RDCYCLEH	rd								
	Read TIME	I	RDTIME	rd								
	Read TIME upper Half	I	RDTIMEH	rd								
	Read INSTR RETired	I	RDINSTRET	rd								
	Read INSTR upper Half	I	RDINSTRETH	rd								

32-bit Instruction Formats

R	funct7	rs2	rs1	funct3	rd	opcode
I	imm[11:0]		rs1	funct3	rd	opcode
S	imm[11:5]	rs2	rs1	funct3	imm[4:0]	opcode
SB	imm[12]	imm[10:5]	rs2	rs1	funct3	imm[4:1] imm[11]
U		imm[31:12]			rd	opcode
UJ	imm[20]	imm[10:1]	imm[11]	imm[19:12]	rd	opcode

CR	funct4	rd/rs1	rs2	op
CI	funct3	imm	rd/rs1	imm
CSS	funct3	imm	rs2	op
CIW	funct3	imm	rd'	op
CL	funct3	imm	rs1'	imm
CS	funct3	imm	rs1'	imm
CB	funct3	offset	rs1'	offset
CJ	funct3		jump target	op

16-bit (RVC) Instruction Formats

15 14 13 12	11 10 9 8	7 6 5 4 3 2 1 0					
funct4							
CI							
CSS							
CIW							
CL							
CS							
CB							
CJ							

RISC-V Integer Base (RV32I/64I/128I), privileged, and optional compressed extension (RVC). Registers x1-x31 and the pc are 32 bits wide in RV32I, 64 in RV64I, and 128 in RV128I (x0=0). RV64I/128I add 10 instructions for the wider formats. The RVI base of <50 classic integer RISC instructions is required. Every 16-bit RVC instruction matches an existing 32-bit RVI instruction. See risc.org.

Optional Multiply-Divide Instruction Extension: RVM				
Category	Name	Fmt	RV32M (Multiply-Divide)	+RV{64,128}
Multiply	MULtify	R	MUL rd,rs1,rs2	MUL{W D} rd,rs1,rs2
	MULtify upper Half	R	MULH rd,rs1,rs2	
	MULtify Half Sign/Uns	R	MULHSU rd,rs1,rs2	
	MULtify upper Half Uns	R	MULHU rd,rs1,rs2	
Divide	DIVide	R	DIV rd,rs1,rs2	DIV{W D} rd,rs1,rs2
	DIVide Unsigned	R	DIVU rd,rs1,rs2	
Remainder	REMAinder	R	REM rd,rs1,rs2	REM{W D} rd,rs1,rs2
	REMAinder Unsigned	R	REMU rd,rs1,rs2	REMU{W D} rd,rs1,rs2
Optional Atomic Instruction Extension: RVA				
Category	Name	Fmt	RV32A (Atomic)	+RV{64,128}
Load	Load Reserved	R	LR.W rd,rs1	LR.{D Q} rd,rs1
Store	Store Conditional	R	SC.W rd,rs1,rs2	SC.{D Q} rd,rs1,rs2
Swap	SWAP	R	AMOSWAP.W rd,rs1,rs2	AMOSWAP.{D Q} rd,rs1,rs2
Add	ADD	R	AMOADD.W rd,rs1,rs2	AMOADD.{D Q} rd,rs1,rs2
Logical	XOR	R	AMOXOR.W rd,rs1,rs2	AMOXOR.{D Q} rd,rs1,rs2
	AND	R	AMOAND.W rd,rs1,rs2	AMOAND.{D Q} rd,rs1,rs2
	OR	R	AMOOR.W rd,rs1,rs2	AMOOR.{D Q} rd,rs1,rs2
Min/Max	MINimum	R	AMOMIN.W rd,rs1,rs2	AMOMIN.{D Q} rd,rs1,rs2
	MAXimum	R	AMOMAX.W rd,rs1,rs2	AMOMAX.{D Q} rd,rs1,rs2
	MINimum Unsigned	R	AMOMINU.W rd,rs1,rs2	AMOMINU.{D Q} rd,rs1,rs2
	MAXimum Unsigned	R	AMOMAXU.W rd,rs1,rs2	AMOMAXU.{D Q} rd,rs1,rs2
Three Optional Floating-Point Instruction Extensions: RVF, RVD, & RVQ				
Category	Name	Fmt	RV32{F D Q} (HP/SP,DP,QP F/Pt)	+RV{64,128}
Move	Move from Integer	R	FMV.{H S}.X rd,rs1	FMV.{D Q}.X rd,rs1
	Move to Integer	R	FMV.X.{H S} rd,rs1	FMV.X.{D Q} rd,rs1
Convert	Convert from Int	R	FCVT.{H S D Q}.W rd,rs1	FCVT.{H S D Q}.{L T} rd,rs1
	Convert from Int Unsigned	R	FCVT.{H S D Q}.WU rd,rs1	FCVT.{H S D Q}.{L T}U rd,rs1
	Convert to Int	R	FCVT.W.{H S D Q} rd,rs1	FCVT.{L T}.{H S D Q} rd,rs1
	Convert to Int Unsigned	R	FCVT.WU.{H S D Q} rd,rs1	FCVT.{L T}U.{H S D Q} rd,rs1
Load	Load	I	FL{W,D,Q} rd,rs1,imm	
Store	Store	S	FS{W,D,Q} rs1,rs2,imm	
Arithmetic	ADD	R	FADD.{S D Q} rd,rs1,rs2	
	SUBtract	R	FSUB.{S D Q} rd,rs1,rs2	
	MULTiply	R	FMUL.{S D Q} rd,rs1,rs2	
	DIVide	R	FDIV.{S D Q} rd,rs1,rs2	
	Square Root	R	FSQRT.{S D Q} rd,rs1	
Mul-Add	Multiply-ADD	R	FMADD.{S D Q} rd,rs1,rs2,rs3	
	Multiply-SUBtract	R	FMSUB.{S D Q} rd,rs1,rs2,rs3	
	Negative Multiply-SUBtract	R	FNMSUB.{S D Q} rd,rs1,rs2,rs3	
	Negative Multiply-ADD	R	FNMADD.{S D Q} rd,rs1,rs2,rs3	
Sign Inject	SIGN source	R	FSGNJ.{S D Q} rd,rs1,rs2	
	Negative SiGN source	R	FSGNQN.{S D Q} rd,rs1,rs2	
	Xor SiGN source	R	FSGNQX.{S D Q} rd,rs1,rs2	
Min/Max	MINimum	R	FMIN.{S D Q} rd,rs1,rs2	
	MAXimum	R	FMAX.{S D Q} rd,rs1,rs2	
Compare	Compare Float =	R	FEQ.{S D Q} rd,rs1,rs2	
	Compare Float <	R	FLT.{S D Q} rd,rs1,rs2	
	Compare Float ≤	R	FLE.{S D Q} rd,rs1,rs2	
Categorization	Classify Type	R	FCLASS.{S D Q} rd,rs1	
Configuration	Read Status	R	FRCSR rd	
	Read Rounding Mode	R	FRRM rd	
	Read Flags	R	FRFLAGS rd	
	Swap Status Reg	R	FCSR rd,rs1	
	Swap Rounding Mode	R	FSRM rd,rs1	
	Swap Flags	R	FSFLAGS rd,rs1	
	Swap Rounding Mode Imm	I	FSRMI rd,imm	
	Swap Flags Imm	I	FSFLAGSI rd,imm	

RISC-V calling convention and five optional extensions: 10 multiply-divide instructions (RV32M); 11 optional atomic instructions (RV32A); and 25 floating-point instructions each for single-, double-, and quadruple-precision (RV32F, RV32D, RV32Q). The latter add registers f0-f31, whose width matches the widest precision, and a floating-point control and status register fcsr. Each larger address adds some instructions: 4 for RVM, 11 for RVA, and 6 each for RVF/D/Q. Using regex notation, {} means set, so L{D|Q} is both LD and LQ. See riscv.org. (8/21/15 revision)